

10



ISSN 0002-3078

АЗӘРБАЙЧАН ССР ЕЛМЛӘР АКАДЕМИЯСЫ
АКАДЕМИЯНАУК АЗЕРБАЙДЖАНСКОЙ ССР

МӘРҮЗӘЛӘР ДОКЛАДЫ

ТОМ XL ЧИЛД

1984 • 10

10/85

ДАН Азерб. ССР публикует краткие сообщения об оригинальных, нигде не публикованных ранее, результатах научных исследований, представленные академиками АН Азерб. ССР, которые тем самым берут на себя ответственность за научные достоинства представляемой статьи.

В «Докладах» не публикуются крупные статьи, механически разделенные на ряд отдельных сообщений, статьи полемического характера, без новых фактических сообщений, статьи полемического характера, без новых фактических данных, статьи с описанием промежуточных ощущений, без определенных выводов и обобщений, чисто методические статьи, если предлагаемый метод не является принципиально новым, а также статьи по систематике растений и животных (за исключением описания особо интересных для науки находок).

Будучи органом срочного информирования, журнал «ДАН Азерб. ССР» принимает и отбирает к печати статьи, направленные Президиумом АН

В связи со всеми переписками АН Азерб. ССР и возможностями этого журнала

Редакция журнала ваться приведенными правилами пришлют статью в редакцию.

Статьи, присланныеются.

1. Статьи, направляемые ССР или академика АН

Статьи с просьбой на-

2. Статья публикуется в редакционной публикации являясь приоритетом. Для этого и

3. Как правило, реда-

4. «Доклады» помещаются распространяется на

5. Авторы должны также дать индекс статьи прилагается отпечатанный для передачи в один из

6. В конце статьи нужно указать фамилию, телефон (служебный и домашний).

Кроме того, авторы должны вести переговоры и пе-

7. Возвращение рукописи к печати. После получения коллегий. Доработанный земляком статьи, а также день получения редакцией

8. В «Докладах» не

(6 страниц машинописью, больше 15 источников, включая и обозначенные вкладки даются только сунки (карты, схемы и графический материал тех же данных в тексте выполнены четко, в графии представляются печатаны в 2-х экземплярах, рисунки мягким карандашом).

П-168

н 10

1984

Доклады

АН Азерб. ССР

дакцией
занимая
ниях.

здство-
прежде,

принима-
на АН

тся.

внеоче-
ражения

правило
ССР.

статью, а
(ДК). К
редназна-

м выпол-
ни номер

акция бу-

принята
ается ред-
альным эк-
считается

того листа
рафия (не
четырех,
бумаге.
ховые ри-
тьке. Текст
е одних и
жны быть
алей фото-
и быть на-
На обороте
чи и номер

АЗӘРБАЙЧАН ССР ЕЛМЛӘР АКАДЕМИЯСЫ
АКАДЕМИЯ НАУК АЗЕРБАЙДЖАНСКОЙ ССР

МӘРҮЗӘЛӘР ДОКЛАДЫ

ТОМ XL ЧИЛД

№ 10

РЁДАКЦИОННАЯ КОЛЛЁГИЯ:

Э. Ю. Салаев (главный редактор), Г. Б. Абдуллаев, М. Т. Абасов,
 Ад. А. Ализаде (зам. главного редактора), В. С. Алиев, Г. А. Алиев,
 Дж. А. Алиев, И. Г. Алиев, Дж. Б. Гулиев, И. А. Гулиев,
 М. З. Джабаров, Ф. Г. Максудов, А. А. Надиров,
 Ю. М. Сейдов (зам. главного редактора),
 М. А. Усейнов, Г. Г. Зейналов (ответств. секретарь).

УДК 517. 9. 42

МАТЕМАТИКА

М. Б. РАГИМОВ

О СПЕКТРЕ ТЕЙЛОРА БЕСКОНЕЧНОГО ЧИСЛА
КОММУТИРУЮЩИХ НАБОРОВ ОПЕРАТОРОВ

(Представлено академиком АН Азербайджанской ССР Ф. Г. Максудовым)

1. Очень важным для построения общей спектральной теории являются определение и свойства спектра Тейлора конечного набора коммутирующих между собой линейных ограниченных операторов в банаховом пространстве.

Выписываем основные используемые нами положения спектральной теории Тейлора [1, 2]. Пусть $T = (T_1, \dots, T_n)$ — конечный набор ограниченных линейных операторов из алгебры $\text{End } X$ -эндоморфизмов банахова пространства X . Обозначим через $\Lambda^\sigma(\sigma, X)$ пространства внешних форм с конечным базисом $\sigma = (s_1, \dots, s_n)$ и с коэффициентами из банахова пространства X . По определению считается $\Lambda^\sigma(\sigma, X) = \Lambda^n(\sigma, X) = X$, C^n — n -мерное комплексное линейное пространство.

Для каждого вектора $z_0 = (z_1^0, \dots, z_n^0) \in C^n$ рассмотрим точную последовательность

$$\begin{aligned} F(X; T) : 0 \rightarrow X = \Lambda^\sigma(\sigma, X) &\xrightarrow{\alpha - z_0} \Lambda^1(\sigma, X) \xrightarrow{\alpha_i - z_0} \\ &\rightarrow \Lambda^2(\sigma, X) \xrightarrow{\alpha_{n-1} - z_0} \dots \xrightarrow{\alpha_1 - z_0} \Lambda^n(\sigma, X), \end{aligned}$$

где кограницы оператор $\alpha - z_0 : \Lambda^i(\sigma, X) \rightarrow \Lambda^{i+1}(\sigma, X)$ ($0 \leq i < n$) определяется на каждом элементе $\varphi \in \Lambda^i(\sigma, X)$ формулой

$$(\alpha - z_0)\varphi = \left(\sum_{i=1}^n (z_i^0 - T_i) s_i \right) \Lambda\varphi.$$

Определение [1]. Вектор $z_0 \in C^n$ относится к резольвентному множеству $\rho(T)$ набора операторов T , если комплекс $F(X; T)$ точен, т. е. группы когомологий $H^p(T; T) = \text{кег } (\alpha_p - z_0) / \text{им } (\alpha_{p-1} - z_0) = \{0\}$ нулевые. Множество $\sigma(T) = C^n \setminus \rho(T)$ называется спектром Тейлора коммутирующего набора $T = (T_1, \dots, T_n)$.

Перечислим без доказательства основные свойства спектра Тейлора:

- 1) $\sigma(T)$ — непустое компактное подмножество из C^n ;
- 2) если $T' = (T_1, \dots, T_n, T_{n+1}) = T \cup T_{n+1}$, то $\sigma(T) = \pi(\sigma(T'))$, где $\pi : C^{n+1} \rightarrow C^n$ — проекция на первые n координат;
- 3) если $F(\sigma(T))$ — алгебра аналитических функций в окрестности $\sigma(T)$, то существует гомоморфизм

$$D(f) = f(T) : F(\sigma(T)) \rightarrow \text{End } X,$$

такой, что $1 \rightarrow I$ и $z_i \rightarrow T_i$ для любых $i = 1, 2, \dots, n$, и, более того, $D(f(T)) = f(\sigma(T))$, где I — тождественный оператор. Если же $\sigma(T)$ является объединением двух непересекающихся спектральных частей

© Издательство Элм 1984 г.

если σ_1 и σ_2 , то существуют проекторы $P_i \in \text{End } X$, коммутирующие с T_i ($i = 1, 2, \dots, n$), такие что $\sigma(TP_i) = \sigma_i$, где $TP_i = (TP_1, \dots, TP_n)$.

2. Пусть X —комплексное банахово пространство и $L(X)$ —банахово пространство всех непрерывных линейных операторов, действующих в X . Пусть K —подмножество из $L(X)$ операторов, коммутирующих между собой.

В данной статье определен спектр Тейлора [1] этого набора операторов и исследуются его свойства.

Через K^* обозначим множество всех комплексных функционалов, определенных на множестве K с топологией поточечной сходимости на K (т. е. сеть $\{\varphi_a\} \subset K^*$ сходится к $\varphi \in K^*$, если $\varphi_a(A) \rightarrow \varphi(A)$ для $A \in K$). Символ \mathbb{C} обозначает комплексную плоскость, где $\mathbb{C}^n = \mathbb{C} \times \dots \times \mathbb{C}$.

Определение 1. Резольвентным множеством $\rho(K)$ набора K назовем совокупность тех $\varphi \in K^*$, для которых существует такой конечный набор $(A_1, \dots, A_n) \subset K$, что набор $(\varphi(A_1), \dots, \varphi(A_n))$ не принадлежит совместному спектру Тейлора конечного набора (A_1, \dots, A_n) .

Определение 2. Множество $\sigma(K) = K^* \setminus \rho(K)$ назовем совместным спектром Тейлора набора K .

Следующее утверждение можно получить из определений и соответствующих свойств спектра Тейлора конечного набора коммутирующих операторов.

Теорема 1. Имеют место следующие утверждения:

- 1) $\sigma(K)$ есть непустое подмножество из K^* ;
- 2) если K —ограниченное замкнутое подмножество из банахова пространства $L(X)$, то $\sigma(K)$ —компактное подмножество из K^* ;
- 3) $\sigma(A) = \{\lambda(A)\}_{\lambda \in \sigma(K)}$.

Следующая теорема использует те или иные специфические свойства набора K .

Теорема 2. 1) если K —ограниченное замкнутое подмножество из $L(X)$ и $\sigma(K) = \sigma_1(K) \cup \sigma_2(K)$, где $\sigma_1(K)$, $\sigma_2(K)$ —замкнутые непересекающиеся подмножества из $\sigma(K)$, то банахово пространство X разлагается в прямую сумму инвариантных относительно всех операторов из K подпространств X_1 и X_2 , причем $\sigma(K|X_1) = \sigma_1$; $\sigma(K|X_2) = \sigma_2$, где $K|X_1$ и $K|X_2$ обозначают соответственно совокупность сужений операторов из K на X_1 и X_2 ;

2) если K —полугруппа (группа) операторов, то $\sigma(K)$ образует полугруппу (группу) функционалов;

3) если $\sigma(A)$ веществен для любого $A \in K$, то $\sigma(K)$ состоит из вещественнозначных функционалов.

Для операторов набора K можно рассматривать функции от операторов. Однако в связи с тем, что набор K , вообще говоря, не является ограниченным подмножеством из $L(X)$, приходится рассматривать целые функции от операторов этого набора.

Наш подход к определению функций от операторов тесно связан с приложениями к дифференциальным и функциональным уравнениям с многомерным временем [3, 4], и поэтому он и сколько отличается от общепринятого.

Определение 3. Пусть $f: \mathbb{C} \rightarrow \mathbb{C}$ —целая функция. Функцией f от набора K называется отображение

$$A \mapsto f(A) = \sum_{n=0}^{\infty} f_n A^n: K \rightarrow L(X), \text{ если } f(z) = \sum_{n=0}^{\infty} f_n z^n.$$

Теорема 3. Имеет место следующее равенство

$$\sigma(f(K)) = f(\sigma(K)),$$

где $f(\sigma(K)) = \{\mu(A) = f(\lambda(A)), \lambda \in \sigma(K)\}$.

Отметим, что если K —счетное множество, то K^* можно естественным образом отождествить с \mathbb{C}^∞ и, поэтому $\sigma(K) \subset \mathbb{C}^\infty$. Отождествление K^* с \mathbb{C}^∞ можно осуществить по правилу: $\varphi \in K^*$ ставится в соответствие последовательность $(\varphi(A_1), \varphi(A_2), \dots) \subset \mathbb{C}^\infty$, если [предположить, что $K = (A_1, A_2, \dots)$]—упорядоченный набор операторов.

Соответствующие результаты могли бы быть получены и для бесконечного числа коммутирующих неограниченных операторов, если бы были получены соответствующие результаты для конечного набора неограниченных операторов. Один из подходов к определению спектра специальных классов неограниченных операторов был предпринят автором в работе [5].

В заключение автор выражает искреннюю благодарность проф. Дж. Э. Аллахвердиеву за ценные советы.

Литература

1. Taylor J. L.—J. Funct. Anal., 1970, 6, 172–191.
2. Taylor J. L.—J. Acta Math., 1970, 125, 1–2, 1–38.
3. Рагимов М. Б.—Докл. АН АзССР, 1979, т. XXXV, № 3, с. 9–12.
4. Рагимов М. Б.—Науч. тр. МВ и ССО АзССР. Сер. физ.-матем. наук, 1979 № 5, с. 110–116.
5. Рагимов М. Б.—Докл. АзССР, 1980, т. XXXVI, № 2, с. 13–17.

Поступило 19. V 1982

АГУ им. С. М. Кирова

М. Б. Рагимов

СОНСУЗ САЙДА КОММУТАТИВЛИ ОПЕРАТОРЛАР ДЭСТЭСИНИН ТЕЙЛОР СПЕКТРИ НАГЫНЫДА

Мэггалэдэ сонсуз сайды коммутативлик хассасына малик операторлар дэстэсинин Тейлор спектринин умуми тэрифи верилир вэ онун хассалэри нагында теоремлэр исбат олунур.

M. B. Ragimov

ON THE TAYLOR'S SPECTRUM OF THE INFINITE NUMBERS OF COMMUTATING FAMILY OPERATORS

In this paper the spectrum of Taylor for the infinite family of the commuting family operators on the Banach space and its structure are investigated.

Г. К. НАМАЗОВ

СТАБИЛИЗАЦИЯ РЕШЕНИЯ СМЕШАННОЙ ЗАДАЧИ ДЛЯ ПАРАБОЛИЧЕСКОГО УРАВНЕНИЯ С РАЗРЫВНЫМИ КОЭФФИЦИЕНТАМИ

(Представлено академиком АН Азербайджанской ССР Ф. Г. Максудовым)

В области $Q = Q_1 \cup Q_2$, где $Q_i = \{l_{i-1} < x < l_i, 0 < t < \infty\}$ ($i = 1, 2$), рассмотрим уравнение вида

$$\frac{\partial u}{\partial t} = a(x) \frac{\partial^2 u}{\partial x^2} + \beta(u) u \quad (1)$$

при начальном условии

$$u(x, 0) = \varphi(x), \quad (2)$$

границых условиях

$$u_x(l_0, t) = f(u(l_0, t)), \quad u_x(l_2, t) = g(u(l_2, t)) \quad (3)$$

и условиях сопряжения

$$u(l_1 - 0, t) = u(l_1 + 0, t).$$

$$\kappa_2 u_x(l_1 + 0, t) - \kappa_1 u(l_1 - 0, t) = h(u(l_1, t)), \quad (4)$$

где a , φ , f , g , h —известные функции, $\beta(u)$ —известный оператор, а κ_1 и κ_2 —положительные постоянные.

Предположим, что выполнены следующие условия:

1) $\varphi(x) \in C^3[l_0, l_2]$;

2) $f(s)$, $g(s)$ и $h(s)$ —непрерывно дифференцируемые функции на $(-\infty, \infty)$ и $sf(s) \geq 0$, $sg(s) \geq 0$, $sh(s) \geq 0$; их производные неотрицательны всюду на $(-\infty, \infty)$;

3) $\beta(u)$ действует из $C(\bar{\Omega})$ в $C(\bar{\Omega})$ и

$$\beta(u) \leq -\gamma, \quad \gamma = \text{const} > 0;$$

$$4) \quad a(x) = \begin{cases} a_1(x) & \text{при } x \in [l_0, l_1], \\ a_2(x) & \text{при } x \in [l_1, l_2], \end{cases}$$

где $a_1(x)$ и $a_2(x)$ —положительные непрерывные функции соответственно в $[l_0, l_1]$ и в $[l_1, l_2]$;

5) $u(x, t) \in C^{(2,2)}(\bar{\Omega}_1)$, $u_{xx}(x, t) \in C(\bar{\Omega}_1)$.

В данной статье приведены результаты изучения поведения решения задачи (1)–(4) при $t \rightarrow \infty$. Сформулируем лемму, которую будем применять при доказательстве основного результата.

Лемма. Пусть $b(x) \in C^{(2)}[a, b]$, тогда существует $A = \text{const} > 0$, такая, что имеет место неравенство

$$\int_a^b |f'(x)| dx \leq A \left(\int_a^b |f(x)|^2 dx + \int_a^b |f''(x)|^2 dx \right).$$

Справедлива следующая

Теорема. Если выполнены условия 1)–5), то существуют такие положительные числа C и γ_0 , что

$$|u(x, t)| \leq Ce^{-\gamma_0 t} \quad (4)$$

для любой точки $(x, t) \in Q$.

Доказательство. Рассмотрим функционал

$$E(t) = \frac{1}{2} \int_{l_0}^{l_2} K(x) (u_t^2 + u^2) dx, \quad (5)$$

где

$$K(x) = \begin{cases} \frac{\kappa_1}{a_1'(x)}, & x \in [l_0, l_1], \\ \frac{\kappa_2}{a_2'(x)}, & x \in [l_1, l_2]. \end{cases}$$

Из (5), после дифференцирования по переменной t , получим

$$E'(t) = \int_{l_0}^{l_2} \kappa(x) (u_t u_{tt} + u u_{tt}) dx. \quad (6)$$

Из (6) найдем из уравнения (1) и подставим в (6), тогда

$$E'(t) = \int_{l_0}^{l_2} a_k u_t u_{txx} dx + \int_{l_0}^{l_2} \kappa \beta u_t^2 dx + \int_{l_0}^{l_2} \kappa u u_{tt} dx. \quad (7)$$

Интегрируя по частям, преобразуем первый и третий интегралы в правой части (7). Имеем

$$\begin{aligned} J_1 &= \int_{l_0}^{l_2} a_k u_t u_{txx} dx = \int_{l_0}^{l_2} \kappa_1 u_t u_{txx} dx + \int_{l_1}^{l_2} \kappa_2 u_t u_{txx} dx = \\ &= \kappa_1 u_t u_{xt} \Big|_{x=l_0}^{x=l_1} - \int_{l_0}^{l_1} \kappa_1 u_{xt}^2 dx + \kappa_2 u_t u_{xt} \Big|_{x=l_1}^{x=l_2} - \int_{l_1}^{l_2} \kappa_2 u_{xt}^2 dx = \\ &= -\kappa_1 u_t^2(l_0, t) f'(u(l_0, t)) - \kappa_2 u_t^2(l_2, t) g'(u(l_2, t)) - \\ &\quad - u_t^2(l_1, t) h'(u(l_1, t)) - \int_{l_0}^{l_2} \kappa u_{xt}^2 dx. \end{aligned}$$

отсюда

$$Y_1 = -R - \int_{l_0}^{l_2} a_k u_{xt}^2 dx,$$

где

$$R = \kappa_1 u_t^2(l_0, t) f'(u(l_0, t)) + \kappa_2 u_t^2(l_2, t) g'(u(l_2, t)) + \\ + u_t^2(l_1, t) h'(u(l_1, t)).$$

Далее,

$$\begin{aligned} Y_2 &= \int_{l_0}^{l_2} \kappa u u_{tt} dx = \int_{l_0}^{l_2} \kappa u (au_{xx} + \beta u) dx = \int_{l_0}^{l_2} \kappa \beta u^2 dx + \\ &+ \int_{l_0}^{l_1} \kappa_1 u u_{xx} dx + \int_{l_1}^{l_2} \kappa_2 u u_{xx} dx = \kappa_1 u u_x \Big|_{l_0}^{l_1} - \int_{l_0}^{l_1} \kappa_1 u_x^2 dx + \kappa_2 u u_x \Big|_{l_1}^{l_2} - \\ &- \int_{l_1}^{l_2} \kappa_2 u_x^2 dx + \int_{l_0}^{l_2} \kappa \beta u^2 dx. \end{aligned}$$

Обозначив
 $H = \kappa_1 u(l_0, t) f(u(l_0, t)) + \kappa_2 u(l_2, t) g(u(l_2, t)) + u(l_1, t) h(u(l_1, t)),$
легко увидим, что

$$Y_1 = -H - \int_{l_0}^{l_1} \kappa_1 u_x^2 dx + \int_{l_0}^{l_1} \kappa_2 u_t^2 dx.$$

Учитывая значения J_1 и J_2 в (7), получим

$$\begin{aligned} E'(t) = & -H - R - \int_{l_0}^{l_1} \kappa_1 u_x^2 dx - \int_{l_0}^{l_1} \kappa_2 u_{xt}^2 dx + \\ & + \int_{l_0}^{l_1} \kappa_2 u_t^2 dx + \int_{l_0}^{l_1} \kappa_3 u_t^2 dx. \end{aligned}$$

Отсюда следует, что

$$E'(t) \leq \int_{l_0}^{l_1} \beta \kappa (u^2 + u_t^2) dx.$$

Так как $\beta < -\gamma < 0$,

$$E'(t) \leq 2\gamma E(t).$$

Интегрируя последнее соотношение, будем иметь

$$E(t) \leq E(0) e^{-2\gamma t}. \quad (8)$$

Пользуясь уравнением (1) и неравенством (8), можно показать, что

$$\int_{l_0}^{l_1} u_{xx}^2 dx \leq C_1 e^{-2\gamma t}. \quad (9)$$

Здесь и в дальнейшем через C_i обозначим положительные постоянные, не зависящие от x и t .

Применив лемму и учитывая (8) и (9), получим

$$\int_{l_0}^{l_1} u_x^2 dx \leq C_2 e^{-2\gamma t}. \quad (10)$$

Далее, для всех $x \in [l_0, l_1]$

$$|u(x, t) - u(l_0, t)| \leq \int_{l_0}^x \left| \frac{\partial u(\xi, t)}{\partial x} \right| d\xi \leq \sqrt{l_1 - l_0} \sqrt{\int_{l_0}^{l_1} \left(\frac{\partial u}{\partial x} \right)^2 dx}. \quad (11)$$

Аналогично при $x \in [l_1, l_2]$ находим

$$|u(x, t) - u(l_1, t)| \leq \sqrt{l_2 - l_1} \sqrt{\int_{l_1}^{l_2} \left(\frac{\partial u}{\partial x} \right)^2 dx}. \quad (12)$$

Из (11) и (12) следует, что

$$\begin{aligned} |u(x, t) - u(l_1, t)| &\leq |u(x, t) - u(l_0, t)| + |u(l_0, t) - \\ &- u(l_1, t)| \leq C_3 e^{-2\gamma t} \end{aligned}$$

при всех $(x, t) \in \bar{Q}$. Тогда

$$\begin{aligned} |u(x, t)| &\leq |u(x, t) - u(l_1, t)| + |u(l_1, t)| \leq \\ &\leq C_3 e^{-2\gamma t} + \frac{1}{l_1 - l_0} \int_{l_0}^{l_1} |u(x, t) - u(l_1, t)| dx + \end{aligned}$$

$$+ \frac{1}{l_1 - l_0} \int_{l_0}^{l_1} |u(x, t)| dx \leq C_3 e^{-2\gamma t} + C_4 e^{-2\gamma t} + C_5 e^{-\gamma t}.$$

Отсюда следует, что утверждение теоремы верно.

Литература

1. Muszyński J. Badania jakościowe rozwiązań niektórych równań typu hi-perbolicznego.—Zeszyty Nauk. Politech. Warszaw. Matematyka, 1967, 13, 1–68.
2. Sadowski Wawrzyniec. Properties of solutions of some mixed boundary value problems.—Demonstratio Mathematica, 1977, vol. X, № 3–4.

ЛГУ им. С. М. Кирова

Поступило 16. XI 1983

Г. К. Намазов

КЭСИЛЭН ЭМСАЛЛЫ ПАРАБОЛИК ТЭНЛИК ҮЧҮН ГАРЫШЫГ МЭСЭЛЭ
НЭЛЛИНИН ГЭРАРЛАШМАСЫ

Мэглэдэг гејри-хэтти сэргэд шэрти дахилиндэ кэсилэн эмсаллы параболик тэнлик үчүн гарышыг мэсэлэ нэллинин хассоси тэдгиг олунур.

G. K. Namazov

THE STABILIZATION OF SOLUTION OF MIXED PROBLEM FOR PARABOLIC EQUATION WITH DISCONTINUOUS COEFFICIENTS

In this article the properties of the solution of mixed problem for some parabolic equation with discontinuous coefficients upon nonlinear boundary problem conditions are investigated.

Ф.Ш. МУХТАРОВ

ВОССТАНОВЛЕНИЕ БЕСКОНЕЧНОЙ НЕСАМОСОПРЯЖЕННОЙ МАТРИЦЫ ЯКОБИ ПО ДАННЫМ РАССЕЯНИЯ

(Представлено академиком АН Азербайджанской ССР Ф. Г. Максудовым)

В настоящей статье рассматривается обратная задача теории рассеяния для бесконечной несамосопряженной матрицы Якоби. В самосопряженном случае эта задача изучалась в [1].

Для уравнения Штурма-Лиувилля подобная задача исследована в [2]. Прямая задача для бесконечной несамосопряженной матрицы Якоби изучена в [3].

Рассмотрим бесконечную систему уравнений

$$b_1 y_1 + a_1 y_2 = \lambda y_1, \quad (1)$$

$$a_{n-1} y_{n-1} + b_n y_n + a_n y_{n+1} = \lambda y_n, \quad n = 2, 3, \dots,$$

где $\{y_n\}_1^\infty$ — искомое решение, λ — комплексный параметр и

$$a_n, b_n \in \mathbb{C}, \quad a_n \neq 0, \quad n = 1, 2, \dots \quad \sum_{n=1}^{\infty} e^{in} (|1 - a_n| + |b_n|) < \infty, \quad (2)$$

C — поле комплексных чисел, а ϵ — некоторое фиксированное положительное число. Задача (1) эквивалентна нахождению вектора $\{y_n\}_0^\infty$, удовлетворяющего уравнению

$$a_{n-1} y_{n-1} + b_n y_n + a_n y_{n+1} = \lambda y_n, \quad n = 1, 2, \dots, \quad a_0 = 1, \quad (3)$$

и начальному условию

$$y_0 = 0. \quad (4)$$

В уравнении (3) положим $\lambda = z \cos \xi$, где $z = \xi + i\tau$. Через ξ всюду в дальнейшем будем обозначать только вещественный параметр. В работе [3] показано, что если выполнено условие (2), то уравнение (3) + (4) имеет единственное решение $\{f_n z\}_0^\infty$, голоморфное по z в полуплоскости $\operatorname{Im} z > -\frac{\epsilon}{2}$ ($\xi - \tau$) же число, что и в условии (2)), непрерывное вплоть до прямой $\operatorname{Im} z = -\frac{\epsilon}{2}$ и представимое в виде

$$f_n(z) = a_n e^{inz} \left(1 + \sum_{m=1}^{\infty} A_{nm} e^{imz} \right), \quad n = 0, 1, 2, \dots$$

При этом числа a_n и A_{nm} связаны с коэффициентами уравнения (3) формулами

$$a_{n-1} = \frac{a_n}{a_{n-1}}, \quad n = 1, 2, 3, \dots,$$

$a_n^2 = 1 + A_{n2} - A_{n-1,2} - (A_{n1} - A_{n-1,1}) A_{n1}$, $b_n = A_{n1} - A_{n-1,1}$ и A_{nm} удовлетворяет уравнению (основному уравнению обратной задачи)

$$F_{1n+m} + A_{nm} + \sum_{k=1}^{\infty} A_{nk} F_{k+m+2n} = 0, \quad n = 0, 1, 2, \dots, \quad (5)$$

где F_m определяется через данные рассеяния

$$\{s(z); z_1, \dots, z_a; M_n^1, \dots, M_n^a\} \quad \text{по формуле}$$

$$F_n = \sum_{j=1}^a M_n^j e^{inz_j} + \frac{1}{2\pi} \int_{-\pi+i}^{\pi+i} [1 - S(z)] e^{inz} dz.$$

Обратная задача теории рассеяния состоит в восстановлении уравнения (1) по данным рассеяния. При этом следует отвечить на следующие вопросы:

1) Однозначно ли определяется уравнение (1) по данным рассеяния?

2) Указать эффективный алгоритм для вычисления коэффициентов уравнения (1) по данным рассеяния.

3) Найти необходимые и достаточные условия для того, чтобы заданная совокупность величин $\{S(z); z_1, \dots, z_a; M_n^1, \dots, M_n^a\}$ была данным рассеяния для некоторого уравнения вида (1) с коэффициентами из класса (2).

Результатом работы является следующая

Теорема. Для того чтобы совокупность величин $\{S(z), z_1, \dots, z_a; M_n^1, \dots, M_n^a\}$ была данным рассеяния некоторого уравнения вида (1) с коэффициентами из класса (2), необходимо и достаточно, чтобы выполнялись следующие условия:

I) функция $S(z)$ мероморфна в полосе $|\operatorname{Im} z| \leq \frac{\epsilon}{2}$ и в ней

$$S(z + 2\pi) = S(z), \quad S(z) \cdot S(-z) = 1;$$

II) справедливо равенство

$$\operatorname{Ind} S + 2(m_1 + \dots + m_a) + \frac{2 - S(0) - S(\pi)}{2} = 0;$$

III) имеет место оценка

$$\sum_{m=1}^{\infty} e^{-\frac{m}{2}} |F_{m+2} - F_m| < \infty;$$

IV) уравнение

$$h_m + \sum_{k=1}^{\infty} h_k F_{k+m+2n} = 0, \quad m = 1, 2, 3, \dots$$

при каждом n ($n = 0, 1, 2, \dots$) имеет только нулевое решение $\{h_m\}_1^\infty$, удовлетворяющее оценке

$$\sum_{m=1}^{\infty} e^{-\frac{m}{2}} |h_m| < \infty,$$

где ϵ — число из условия (2).

Необходимость условий сформулированной теоремы установлена в работе [3].

Автор выражает глубокую благодарность своим научным руководителям акад. АзССР Ф. Г. Максудову и Г. Ш. Гусейнову за постоянное внимание и руководство работой.

Литература

1. Гусейнов Г. Ш. — Докл. АН СССР, 1976, т. 227, № 6, с. 1289—1293.
2. Ляине В. Э. — Матем. сб., 1967, т. 72 (114), № 4, с. 537—557.
3. Гусейнов Г. Ш., Мухтаров Ф. Ш. — Изв. АН АзССР, Сер. физ. техн. и матем. наук, 1982, № 1, с. 13—22.
4. Гусейнов Г. Ш. — Докл. АН СССР, 1976, т. 231, № 5, с. 1045—1048.

Институт математики
и механики АН АзССР

Поступило 25. VI 1982

Ф. Ш. Мухтаров

ӨЗ-ӨЗҮ ИЛЭ ГОШМА ОЛМАЈАН СОНСУЗ ІАКОБИ МАТРИСИННИН ВЕРИЛЭН ПАЙЛАНМАЈА КӨРӨ ГУРУЛМАСЫ

Мэгэлэдээ өз-өзү илэ гошма олмајан сонсуз Іакоби матрисинни верилэн пайланмаја көрө гурулмасы үчүн зэрүүри вэ кафи шарт алхымышдыр.

F. Sh. Mukhtarov

THE RESTITUTION OF JACOB'S INFINITE NON-SELF-CONJUGATE MATRIX BY GIVEN SCATTERING

In this paper necessary and sufficient conditions of the solvability of the reverse problem of the scattering for Jacob's infinite non-self-conjugate matrix are obtained.

АЗЭРБАЙЧАН ССР ЕЛМЛӨР АКАДЕМИЯСЫНЫН МЭРҮЗЭЛЭРИ

ДОКЛАДЫ АКАДЕМИИ НАУК АЗЕРБАЙДЖАНСКОЙ ССР

ТОМ XL ЧИЛД

№ 10

1984

МАТЕМАТИКА

УДК 517

А. Д. ДЖАБРАНЛОВ, Р. Ш. МАМЕДОВ

К ВОПРОСУ О НЕРАВЕНСТВАХ МЕЖДУ ВЕСОВЫМИ НОРМАМИ ЧАСТНЫХ ПРОИЗВОДНЫХ ФУНКЦИЙ МНОГИХ ПЕРЕМЕННЫХ, ОПРЕДЕЛЕННЫХ В ОБЛАСТИ

(Представлено академиком АН Азербайджанской ССР И. И. Ибрагимовым)

В статье исследуются дифференциальные свойства и весовые L_q -оценки частных производных функций, определенных в n -мерной области, принадлежащей весовому пространству, и нормированных с помощью набора смешанных производных. Исследование ведется методом интегральных представлений [1—3], причем аппаратом исследования является новое весовое интегральное представление функций многих переменных, доказанное в [4]. Полученные весовые оценки дополняют исследования [5] авторов. Близким вопросам для весовых пространств С. Л. Соболева посвящены работы [6—10].

Пусть область $G \subset E_n$. Функции $I_k(x)$ ($k = 0, 1, \dots, n$) измеримы и положительны в области G , т. е. весовые. Говорят, что

$$f \in L_q(G; b_0) \prod_{k=1}^n L_p^{<m^k>} (G; I_k), \quad (1)$$

если существуют в области G обобщенные в смысле С. Л. Соболева производные

$$\begin{aligned} D^{m^k} f = & D_1^{m^k} \cdots D_n^{m^k} f \in L_{p_k}(G; b_k) \quad (k = 1, 2, \dots, n), \\ & f \in L_{p_0}(G; b_0), \end{aligned}$$

и конечна норма

$$\|f\|_n = \|f \cdot b_0\|_{L_{p_0}(G)} + \sum_{k=1}^n \|I_k \cdot D^{m^k} f\|_{L_{p_k}(G)}. \quad (2)$$

Замыкание множества достаточно гладких финитных в E_n функций в норме (2) обозначим через

$$\widehat{L}_{p_0}(G; b_0) \prod_{k=1}^n L_p^{<m^k>} (G; I_k). \quad (3)$$

Через $\varphi = \varphi(x; v) = (\varphi_1(x; v), \dots, \varphi_n(x; v))$ обозначим вектор-функцию, положительную в области G при $0 < v \leq H$ и дифференцируемую по параметру, такую, что

$$\lim_{v \rightarrow 0} \varphi_k(x; v) = 0 \quad (k = 1, 2, \dots, n). \quad (4)$$

Пусть $\delta = (\delta_1, \dots, \delta_n)$, где $\delta_k = +1$ или $\delta_k = -1$. Количество различных векторов δ равно 2^n . Эти различные вектора обозначаются через δ^i ($i = 1, 2, 3, \dots, 2^n$). Через $R_i(\varphi; H) = R_i$ обозначим множество

ство точек $y = (y_1, \dots, y_n)$, координаты которых удовлетворяют неравенствам

$$C_k < \frac{y_k \delta_k}{\varphi_k(x; v)} < C_k^*, \quad 0 < v < H, \quad C_k, C_k^* = \text{const} > 0, \quad k=1, 2, \dots, n.$$

Множество $x + R_{\delta}(x; \varphi; H)$ называется весовым φ -рогом с вершиной в точке x . В каждой точке x при фиксированной φ и H имеется 2^n весового φ -рога. Если фиксировать и вектор δ δ^i , то в каждой точке x имеется единственный весовой φ -рог, зависящий от точки.

Область $U \subset G$ называем частью области G , удовлетворяющей условию φ -рога, если существует вектор δ^i , такой, что $x + R_{\delta^i} \subset G$ при всех $x \in U$. Сама область G называется областью, удовлетворяющей условию весового φ -рога, если существует конечное количество частей ее, удовлетворяющих условию весового φ -рога, покрывающих эту область. Класс таких областей обозначается через $A(\varphi; H)$. Пусть функции g, ψ весовые и в области G удовлетворяют неравенства $C_1 g \leq \psi \leq C_2 g$, где $C_1, C_2 = \text{const}$. Этот факт коротко обозначим так: $g \sim \psi$ в области G .

Пусть $G \in A(\varphi)$ и $g = g(x)$ — некоторая весовая функция в области G . Говорят, что функция g удовлетворяет в области G условию \mathbf{B} , если существуют покрывающие область G ее части U_k ($k = 1, 2, \dots, N$), удовлетворяющие условию весового φ -рога, такие, что

$$\alpha_i \leq \frac{g(x)}{g(y)} \leq \beta_i; \quad \alpha_i, \beta_i = \text{const}$$

для всех $y \in x + R_{\delta^i}$ при $x \in U$, где δ^i именно тот из δ^k ($k = 1, 2, \dots, 2^n$), для которого $x + R_{\delta^i} \subset G$ при всех $x \in U_i$.

Пусть векторы $m^k = (m_1^k, \dots, m_n^k) \geq 0$, $v = (v_1, \dots, v_n) \geq 0$ целочисленные ($k = 1, 2, \dots, n$), т. е. $v_i > 0$, $m_i^k > 0$ — целые. Пусть, далее, $1 < p_k < q < \infty$ ($k = 0, 1, \dots, n$). Обозначим через Δ определитель с элементами

$$\alpha_{ik} = m_k^i + \frac{1}{p_k} - \frac{1}{p_0} \quad (ik = 1, 2, \dots, n),$$

через Δ_i — определитель, который отличается от Δ тем, что в нем вместо элементов i -й строки стоят координаты вектора $\left(v_i + \frac{1}{p_0} - \frac{1}{q}, \dots, v_n + \frac{1}{p_0} - \frac{1}{q}\right)$, а через Δ_{ci} — определитель, который отличается от Δ тем, что вместо элементов i -го столбца стоят единицы. Через A_{ki} обозначено алгебраическое дополнение элемента α_{ki} определителя Δ .

Теорема. 1) Пусть $1 < p_k < q < \infty$ ($k = 0, 1, \dots, n$), $m^k = (m_1^k, \dots, m_n^k) \geq 0$ ($k = 1, 2, \dots, n$) $v = (v_1, \dots, v_n)$ целочисленные, т. е. $m_i^k > 0$, $v_i > 0$ — целые, допускаем, что $m_i^k > 0$, $v_i \geq m_i^k$ ($i \neq k$) ($k = 1, 2, \dots, n$).

2) Пусть $G \in A(\varphi; H)$; $\varphi = (a_1 \omega_1, \dots, a_n \omega_n)$, где $\omega_i = \omega_i(v)$ ($0 < v < H$) — монотонно возрастающие дифференцируемые функции, причем $\lim_{v \rightarrow 0} \omega_i(v) = 0$;

$$a_i = \sigma_i^{\frac{1}{\Delta}} \prod_{k=1}^n \sigma_k^{\frac{A_{ki}}{\Delta}} \quad (i = 1, 2, \dots, n),$$

причем σ_k дифференцируемы и удовлетворяют условию \mathbf{B} в области G .

3) Пусть

$$f \in L_{p_0}(G; b_0) \cap L_{p_k}^{<n, \infty}(G; b_k),$$

где $b_k \sim \sigma_k$ ($k = 0, 1, \dots, n$) в области G .

4) Пусть

$$W_k(H) = \int_0^H \frac{\omega_k^1(v)}{\omega_k(v)} \prod_{i=1}^n [\omega_i(v)]^{m_i^k - v_i - \frac{1}{p_k} + \frac{1}{q}} dv < \infty, \quad k = 1, 2, \dots, n.$$

Тогда существует $H_0' > 0$ такое, что при $0 < H < H_0'$ справедливо неравенство

$$\left\| b_0 \left(1 - \frac{1}{\Delta} \sum_{i=1}^n \Delta_i \right) \cdot \prod_{k=1}^n b_k^{\frac{A_k}{\Delta}} D^k f \right\|_{L_q(G)} < C \left(W_0(H) \| b_0 f \|_{L_{p_0}(G)} + \sum_{i=1}^n W_i(H) \| b_i D^{m^i} f \|_{L_{p_i}(G)} \right), \quad (5)$$

где

$$W_0(H) = \prod_{i=1}^n \{\omega_i(H)\}^{-v_i - \frac{1}{p_0} + \frac{1}{q}},$$

C — константа, не зависящая от f и H .

Замечание 1. При $\omega_k = H^{s_k}$, $s_k > 0$, $H > 0$ ($k = 1, 2, \dots, n$), условия 4) теоремы имеют место, если

$$\epsilon_k = \sum_{i=1}^n \left(m_i^k - v_i - \frac{1}{p_k} + \frac{1}{q} \right) S_i > 0 \quad (k = 1, 2, \dots, n).$$

В этом случае результаты теоремы справедливы, если при некоторых k имеют место также равенства $v = 0$, при соответствующих k $1 < p_k < q < \infty$.

Замечание 2. В случае $m^k = (0, \dots, l_k, 0, \dots, 0)$, $l_k > 0$, $\omega_k = H^{l_k}$, $H > 0$, $p_k = p_0 = p$ ($k = 1, 2, \dots, n$) в предположении

$$\epsilon = 1 - \sum_1^n \frac{v_i}{l_i} - \left(\frac{1}{p} - \frac{1}{q} \right) \sum_1^n \frac{1}{l_i} \geq 0,$$

где равенство $\epsilon = 0$ допускается при $1 < p < q < \infty$, неравенство (5) теоремы имеет вид

$$\left\| b_0^* \prod_{i=1}^n b_i^{l_i(v_i + \frac{1}{p} - \frac{1}{q})} D^k f \right\|_{L_q(G)} < C \left(H^{l-1} \| b_0 f \|_{L_p(G)} + \right.$$

$$+ H^s \sum_{k=1}^n \| b_k D_k^{1/k} f \|_{L_p(G)} \Big),$$

из которого следует оценка промежуточных производных функций из весовых пространств типа пространства С. Л. Соболева.

Литература

1. Соболев С. Л. Некоторые применения функционального анализа в математической физике. — Л.: Изд-во ЛГУ, 1950. 2. Бесов О. В., Ильин В. П., Никольский С. М. Интегральные представления функций и теоремы вложения. — М.: Наука, 1975. 3. Джабраилов А. Д. — Тр/МИАН, 1972, т. 117. 4. Джабраилов А. Д., Мамедов Р. Ш. — Докл. АН АзССР, 1981, т. XXXVII, № 10. 5. Джабраилов А. Д., Мамедов Р. Ш. — Докл. АН СССР, 1982, т. 262, № 5. 6. Успенский С. В. — Дифф. уравнения, 1967, т. 3, № 1. 7. Перепелкин В. Г. — Сиб. матем. журн., 1976, т. 17, № 1. 8. Бесов О. В. — Тр/МИАН, 1980, т. 156. 9. Лизоркин П. И. Тр/МИАН, 1980, т. 156. 10. Столбаев М. Тр/МИАН, 1979, т. 150.

АзИСИ

Поступило 20. V 1982

А. Ч. Чэбраильов, Р. Ш. Мамедов

ОБЛАСТДА ТӘ'ЖИН ОЛУММУШ ЧОХДӘЛИШӘНЛИ ФУНКSIЈАЛАРЫН ГАРЫШЫГ ТӨРӘМӘЛӘРИНИН ЧӘКИЛИ НОРМАЛАРЫ АРАСЫНДАКЫ БӘРАБӘРСИЗЛИКІ ӘР ҺАГГЫНДА

Мәгәләдә n -өлчүлү областда тә'жин олуммуш функцияларын гарышыг төрәмәләринин чәкили L_p нормалары арасындакы бәрабәрсизликтер өткөннилір.

$$\| D^\vec{v} f \cdot b \|_{L_q(G)} \leq C \left(\| b_0 f \|_{L_{p_0}(G)} + \sum_{k=1}^n W_k(H) \| b_k D_k^{\frac{m}{k}} f \|_{L_{p_k}(G)} \right)$$

Бәрабәрсизликтерин доказулуғу үчүн шарттар көстөрилір.

A. D. Jabrailov, R. Sh. Mamedov

THE QUESTION OF THE INEQUALITIES BETWEEN WEIGHT STANDARDS OF PARTIAL DERIVATIVES OF MANY VARIABLES FUNCTIONS DEFINED IN THE DOMAIN

In this work the question about the inequality between weight standards of partial derivative of many variable's functions defined in the domain was considered.

АЗЭРБАЙЧАН ССР ЕЛМЛӘР АКАДЕМИЈАСЫНЫН МӘРҮЗӘЛӘРИ

ДОКЛАДЫ АКАДЕМИИ НАУК АЗЕРБАЙДЖАНСКОЙ ССР

ТОМ XL ЧИЛД

№ 10

1984

УДК 622. 276. 031 : 5'

МЕХАНИКА

З. Б. ХЕЙИРОВ

РАЗРАБОТКА ЭФФЕКТИВНЫХ МЕТОДОВ РЕШЕНИЯ ГИДРОДИНАМИЧЕСКИХ ЗАДАЧ О ДВИЖЕНИИ ЖИДКОСТИ ПО ЭКСЦЕНТРИЧЕСКОМУ КОЛЬЦУ

(Представлено академиком АН Азербайджанской ССР Ф. Г. Максудовым)

Задача о ламинарном прямолинейном движении вязкой жидкости между двумя цилиндрами представляет как теоретический, так и прикладной интерес. Однако эта задача подробно не исследована в случае несоосных цилиндров. Данная статья посвящена подробному исследованию этой задачи и нахождению эффективного приближенного решения задачи о движении вязкой жидкости как между соосными так и между несоосными цилиндрами.

Предположим, что несжимаемая однородная жидкость совершает прямолинейное движение между двумя несоосными круглыми цилиндрами или под действием постоянного перепада давления или же вследствие поступательного движения внутреннего цилиндра с постоянной скоростью вдоль своей оси. Очевидно, что попечное сечение пространства между двумя круглыми цилиндрами — эксцентрическое кольцо. При помощи безразмерных координат радиус внешнего цилиндра сведем к единице и введем обозначения: Γ_1 и Γ_2 — внутренняя и внешняя границы эксцентрического кольца, O_1 и O_2 — их центры, причем точка O_1 лежит правее точки O_2 , A — правая точка пересечения прямой, проходящей через точки O_1 и O_2 , с контуром Γ_2 , ρ и φ — полярные координаты с полюсом в точке O_1 , с полярной осью $O_1 A$, a — радиус внутреннего цилиндра, ϵ — расстояние между осями цилиндров (эксцентриситет). Математически определение поля скоростей частиц жидкости в безразмерных переменных заключается в нахождении решения задачи

$$\frac{\partial v}{\partial \tau} = \Delta v - a, \quad \tau(\rho, \varphi, 0) = v(\xi, \varphi, \tau) = 0, \quad (1)$$

$$v(\alpha, \varphi, \tau) = u, \quad v(\rho, \varphi, \tau) = v(\rho, \varphi + 2\pi, \tau) = \\ = v(\rho, -\varphi, \tau), \quad \xi = \sqrt{1 - \xi^2 \sin^2 \varphi - \epsilon \cos \varphi}.$$

где v и τ — скорость и время, Δ — оператор Лапласа в полярных координатах, a — перепад давления, а последнее равенство выражает собой уравнение контура Γ_2 .

1. Для установления необходимости учета отклонения цилиндров друг от друга рассмотрим стационарный случай задачи (1), когда

$$a = 0, \quad u = 1. \quad (2)$$

при помощи теории функций комплексного переменного найдено точное решение задачи и проведен расчет при числовых данных:

$$\alpha = 0,6, \epsilon = 0; 0,002; 0,002; 0,02, \quad (3)$$

вычислены значения скорости в точках, лежащих на концентрических окружностях с центром в точке O_1 и со значениями полярных координат

$$r = 0,65; 0,70; 0,75; 0,80; 0,85; 0,90; 0,95, \quad (4)$$

$$\varphi = 0, 90, 180^\circ.$$

Как и следовало ожидать, при одном и том же значении полярного радиуса с увеличением полярного угла скорость растет и достигает максимального значения при $\varphi = 180^\circ$. Результаты расчета приводят к выводу о том, что при значениях эксцентриситета ϵ , удовлетворяющих условию

$$\epsilon \geq 0,02, \quad (5)$$

необходимо учесть отклонение осей цилиндров друг от друга.

2. Следует отметить, что провести расчет по точному решению задачи (1) для стационарного случая при условиях (2) не очень легко. Поэтому приведем следующее приближенное решение этой задачи:

$$v_1(r, \varphi) = \ln \frac{r}{\xi} \cdot \left(\ln \frac{\alpha}{\xi} \right)^{-1}, \quad (6)$$

построенное при помощи точного решения соответствующей задачи для случая концентрического кольца. Для установления погрешности, допускаемой приближенным решением (6), проведен расчет при числовых данных

$$\alpha = 0,6; \epsilon = 0,02. \quad (7)$$

Сравнение результатов расчета с соответствующими значениями точного решения показывает, что относительная погрешность отклонения приближенного решения (6) от соответствующего точного решения по абсолютной величине меньше 0,3%. Поэтому приближенное решение (6) можно считать эффективным решением задачи (1) для случая стационарного движения, когда выполняются условия (2).

3. В случае стационарного движения приближенное решение задачи (1), когда

$$\alpha \neq 0, u = 0, \quad (8)$$

построенное при помощи точного решения соответствующей задачи для случая концентрического кольца, имеет вид

$$v_2(r, \varphi) = \frac{a}{4} \cdot [r^2 - \xi^2 - (\alpha^2 - \xi^2) v_1(r, \varphi)], \quad (9)$$

Для установления приемлемости решения (9) при помощи метода малого параметра найдено приближенное решение этой задачи в виде

$$v_3(r, \varphi) = \frac{a}{4} \cdot [a_1(r) + \epsilon \cdot a_2(r) \cos \varphi + \epsilon^2 [a_3(r) + \\ + a_4(r) \cos 2\varphi] + \epsilon^3 [a_5(r) \cos \varphi + a_6(r) \cos 3\varphi]], \quad (10)$$

где введены обозначения

$$a_1(r) = r^2 - 1 + (1 - \alpha^2) \cdot \frac{\ln r}{\ln \alpha}, \quad a_2(r) = \left(\frac{2}{1 - \alpha^2} + \frac{1}{\ln \alpha} \right) \cdot \left(r - \frac{\epsilon^2}{r} \right); \\ a_3(r) = \left(\frac{1 + \alpha^2}{1 - \alpha^2} + \frac{1}{\ln \alpha} \right) \cdot \left(1 - \frac{\ln r}{\ln \alpha} \right), \quad a_4(r) = \frac{1}{1 - \alpha^4} \cdot \left(\frac{2\alpha^2}{1 - \alpha^2} + \right. \quad (11)$$

$$+ \frac{1 + \alpha^2}{2 \ln \alpha} \left(r^2 - \frac{\epsilon^4}{r^2} \right), \quad a_5(r) = \frac{1}{1 - \alpha^2} \left[\frac{1 + 31\alpha^2 - \alpha^4 + \alpha^6}{8(1 - \alpha^2)(1 - \alpha^4)} - \right. \\ \left. - \frac{\alpha^2}{(1 - \alpha^2) \ln \alpha} - \frac{1}{\ln^2 \alpha} \right] \cdot \left(r - \frac{\epsilon^2}{r} \right), \quad a_6(r) = \frac{1}{(1 - \alpha^2)(1 - \alpha^6)} \times \\ \times \left[\frac{1 + \alpha^2 + \alpha^4}{3 \ln \alpha} + \frac{2\alpha^2(1 + \alpha^4)}{1 - \alpha^4} \right] \cdot \left(r^3 - \frac{\epsilon^6}{r^3} \right),$$

причем следует отметить, что функция (10) представляет собой решение задачи (1) для случая стационарного движения, когда выполняются условия (8) с точностью до ϵ^3 , т. е. когда приближенное уравнение контура Γ_2 выражается в виде

$$\xi = 1 - \epsilon \cdot \cos \varphi - \frac{\epsilon^2}{2} \cdot \sin^2 \varphi. \quad (12)$$

По формулам (9) и (10) проведен расчет при числовых данных

$$\alpha = 0,6, \quad a = -1, \quad \epsilon = 0,02. \quad (13)$$

Сравнение результатов расчета показывает, что относительное отклонение значений скоростей, вычисленных по формулам (9) и (10), по абсолютной величине меньше 0,48%. А такая погрешность считается вполне приемлемой. С другой стороны, следует отметить, что проведение расчета по формуле (9) намного легче, чем по формуле (10). Поэтому решение (9) можно принять в качестве эффективного решения задачи (1) для случая стационарного движения, когда выполняются условия (8).

4. Далее, для установления приемлемости приближенных решений гидродинамических задач, найденных применением способа Слезкина—Тарга, рассмотрена задача о нестационарном движении жидкости между двумя соосными круглыми цилиндрами, а именно задача (1), с той лишь разницей, что в данном случае

$$\epsilon = 0, \quad v(r, 0) = u \cdot \frac{\ln r}{\ln \alpha}. \quad (14)$$

Проведен расчет при числовых данных

$$\alpha = 0,6, \quad a = -1, \quad u = 1. \quad (15)$$

Сравнение полученных результатов приводит к заключению, что приближенным решением, полученным при помощи способа Слезкина—Тарга, можно пользоваться с большим успехом, так как наибольшая относительная погрешность его отклонения не превышает 0,007%. Поэтому решение, найденное способом Слезкина—Тарга, можно считать эффективным решением задачи.

5. Исходя из того, что в случае соосных цилиндров применение способа Слезкина—Тарга дает очень хорошие результаты, рассмотрена задача (1), когда выполняются условия (8) и (12). Последовательным применением способа Слезкина—Тарга и метода малого параметра решение этой задачи найдено в виде

$$v(r, \varphi, t) = [1 - \exp(-\beta^2 t)] \cdot v_3(r, \varphi), \quad (16)$$

где

$$\beta^2 = \left(4 - \frac{\epsilon^2}{1 - \alpha^2} \right) \cdot \left\{ \frac{2}{3} (1 + \alpha + \alpha^2) + \frac{1 - \alpha^2}{\ln \alpha} + \frac{\epsilon^2}{2} \left[\frac{1}{1 - \alpha^2} + \right. \right.$$

$$+ \frac{1+\alpha}{\ln \alpha} - 2 \cdot \left(\frac{1+\alpha^2}{1-\alpha^2} + \frac{1}{\ln \alpha} \right) \cdot \left(\frac{1}{1-\alpha} + \frac{1-\alpha}{\ln \alpha} \right) \}^{-1}. \quad (17)$$

а функция v_3 выражается в виде (10). Впереди на основании результатов проведенного расчета было установлено, что функции (9) и (10) очень мало отличаются друг от друга. Поэтому в формулу (16) вместе функции v_3 можем подставить функцию v_2 . Тогда будем иметь

$$\tau(p, \varphi, \tau) = [1 - \exp(-\beta^2 \tau)] \cdot v_2(p, \varphi). \quad (18)$$

Сравнение видов функций v_2 и τ_3 показывает, что по формуле (16) провести расчет намного легче, чем по формуле (16). Поэтому функцию (18) можно назвать эффективным решением задачи (1), когда выполняется условие (8), так как формула (9) справедлива при всех значениях параметра ϵ . По формуле (18) произведен расчет при числовых данных (13); установлено, что стационарное движение наступает при $\tau = 1$.

6. Наконец, отметим, что функция вида

$$v(p, \varphi, \tau) = [1 - \exp(-\beta^2 \tau)] \cdot \left\{ \frac{a}{4} (p^2 - \xi^2) + \right. \\ \left. + \left[u - \frac{a}{4} (\alpha^2 - \xi^2) \right] \cdot \tau_2(p, \varphi) \right\} \quad (19)$$

представляет собой эффективное решение задачи (1), где функция выражается в виде (6).

В заключение, можно сделать следующие выводы:

1. При исследовании движения жидкости между двумя несоосными цилиндрами несоосность цилиндров необходимо учитывать при значениях эксцентрикитета, удовлетворяющих условию (5).

2. В случае безнапорного стационарного движения жидкости между двумя несоосными цилиндрами за эффективное решение задачи можно взять функцию (6).

3. В случае напорного стационарного движения жидкости между двумя соосными цилиндрами за эффективное решение задачи можно взять функцию (9).

4. В случае нестационарного движения жидкости между двумя соосными цилиндрами за эффективное решение задачи можно взять функцию, полученную при помощи способа Слезкина — Тарга.

5. В случае нестационарного движения жидкости между двумя несоосными цилиндрами за эффективное решение задачи можно взять функцию (16), найденную при помощи способа Слезкина — Тарга.

6. За эффективное решение задачи (1) можно взять функцию (19).

Глуховский педагогический институт

Поступило 2. IV 1983

З. Б. Хеиров

МАДЕННИН ЕКССЕНТРИК ҮАЛГА УЗРЭ ҮАРЭКЭТИНЭ АИД ҮИДРОДИНАМИК МЭСЭЛЭЛЭРИН ҮЭЛЛИНИН ЭФФЕКТИВ ҮСҮЛЛАРЫНЫН ИШЛЭНМЭСИ

Мэгэлэдээ маадни ексцентрик үалга узэр үарэкэтинийн бэ'зи үидродинамик мэсэлээрини эффектив үэллэринийн тапылма үсүлларындан бэхс едлийр.

Z. B. Heyirov

THE ELABORATION OF EFFECTIVE METHODS FOR THE HYDRODYNAMICS TASKS SOLUTIONS ON THE LIQUID MOVEMENT OVER THE ECCENTRIC RING

The criterion of cylinders axes deflexion calculation is set up, the methods for finding of some hydrodynamics tasks effective solutions are worked out, and these effective solutions are given.

А. И. МАМЕДОВ, Э. А. ГАШИМОВ

ЧИСЛЕННЫЙ МЕТОД РАСЧЕТА ПЕРЕХОДНЫХ ПРОЦЕССОВ В ПРОМЫСЛОВОМ ГАЗОПРОВОДЕ ПРИ РАЗЛИЧНЫХ РЕЖИМАХ

(Представлено академиком АН Азербайджанской ССР А. А. Эфендизаде)

При эксплуатации газосборной сети для обеспечения высоких технико-экономических показателей внутрипромысловой транспортировки газа на первый план выдвигается решение задачи, связанной с предварительным расчетом и строгим обоснованием возникающих в процессе эксплуатации всевозможных возмущающих воздействий (изменение режима работы УКПГ — установка комплексной подготовки газа, головной компрессорной станции, переход с режима на режим и т. д.).

В связи с этим разработка инженерных методов расчета переходных процессов в газосборных сетях представляет важный научный и практический интерес.

Данная проблема в научной литературе освещена еще недостаточно. Изучение динамики в газосборных сетях с учетом разветвленности участков и распределенности их параметров, а также произвольности граничных условий связано с большими математическими трудностями. Использование для этой цели аналитических методов [1-3], широко используемых при расчете и исследовании переходных процессов в простых газопроводах становится невозможным.

С внедрением электронных вычислительных машин (ЭВМ) в практику инженерных расчетов весьма эффективно использование численных методов решения поставленной задачи.

В настоящее время одним из специализированных численных методов расчета переходных процессов в магистральных трубопроводах является метод [4, 5], основанный на теории импульсных систем. В качестве математического аппарата при этом используется дискретное преобразование Лапласа [6]. В данной статье дается дальнейшее развитие указанного метода для расчета переходных процессов в промышленном одноточечном газопроводе при различных режимах работы.

Исходными уравнениями, описывающими процесс газопередачи по линейному горизонтальному газопроводу при малых скоростях потока, будут следующие дифференциальные уравнения в частных производных [1, 2]:

$$\left. \begin{aligned} -\frac{\partial P}{\partial x} &= K_1 \frac{\partial \Omega}{\partial t} + K_3 \Omega, \\ -\frac{\partial \Omega}{\partial x} &= K_2 \frac{\partial P}{\partial t}, \end{aligned} \right\} \quad (1)$$

где $K_1 = Q_0/FP_0$, $K_2 = FP_0/C^2Q_0$, $K_3 = 2aC_0/FP_0$, $2a = \left(\frac{\eta\vartheta}{2D}\right)_{cp}$ — коэффициент, линеаризованный по Чарному, x — линейная координата потока газа, t — координата времени; C_0 , P_0 — базовые значения расхода и давления в установившемся режиме; F — площадь поперечного сечения трубопровода; C — скорость звука в газовой среде, η — коэффициент гидравлического сопротивления, ϑ — скорость газового истока, D — диаметр трубопровода, P , C — избыточные значения давления и расхода над стационарными в относительных единицах. Начальные условия принимаются нулевыми.

Рассмотрим 2 случая: 1 — когда установившееся течение газа нарушено скачкообразным изменением расхода в начале газопровода при неизменном расходе в конце его, т. е. случай граничных условий:

$$Q(0, t) = A_1, \quad Q(l, t) = 0; \quad (2)$$

II — когда нарушение установившегося течения газа происходит при скачкообразном изменении расхода в конце газопровода при неизменном давлении в начале его:

$$P(0, t) = 0, \quad Q(l, t) = A_2, \quad (3)$$

Решением системы уравнений (1) при указанных начальных и граничных условиях (2) в операторной форме будут

$$P(x, s) = \frac{A_1}{S} \rho(s) \frac{\operatorname{ch} \gamma(l-x)}{\operatorname{sh} \gamma l}, \quad (4)$$

$$Q(x, s) = \frac{A_1}{s} \frac{\operatorname{sh} \gamma(l-x)}{\operatorname{sh} \gamma l}, \quad (5)$$

где $\gamma = \frac{1}{c} \sqrt{s(s+2a)}$ — операторный коэффициент распространения волн, $\rho(s) = \sqrt{\frac{s+2a}{s}}$ — операторное волновое сопротивление; s — параметр преобразования Лапласа, $2a = a$. Связь между непрерывным временем t и дискретным n для данной системы будет

$$t = \frac{nT}{\lambda}, \quad (6)$$

где $T = 2\tau$ — абсолютный период повторения решетчатой функции, τ — время распространения волны в один конец промыслового газопровода, λ — любое целое число (шаг дискретизации $\lambda = 1, 2, \dots$). Погрешность расчета связана с выбором λ [4, 5].

Выражения (4) и (5), согласно методике [4, 5], в дискретной форме в области оригиналлов можно представить в виде

$$\begin{aligned} P[n, \delta] &= A_1 \rho \left(\sum_{m=\theta_2}^n K_3[m] + \sum_{m=\theta_4}^n K_4[m] \right) - \\ &- \sum_{m=\theta_6}^n K_2[m] P[n-m, \delta] - \sum_{m=0}^{n-1} K_1[n-m] P[m, \delta], \end{aligned} \quad (7)$$

$$Q[n, \delta] = A_1 \left(\sum_{m=\theta_2}^n K_3[m] - \sum_{m=\theta_4}^n K_4[m] \right) + \sum_{m=\theta_6}^n K_5[m] Q[n-m, \delta] -$$

$$- \sum_{m=0}^{n-1} Q[m, \delta], \quad (8)$$

где ρ — волновое сопротивление без потерь, $\delta = \frac{x}{2l}$, $K_1[n] = e^{-\frac{\alpha T}{\lambda} n} \times$

$$\times I_0 \left(\frac{\alpha T}{\lambda} \cdot n \right), \quad K_2[n] = e^{-\frac{\alpha T}{\lambda} \cdot n} \cdot I_0 \left(\frac{\alpha T}{\lambda} \sqrt{n^2 - \lambda^2} \right) \text{ при } n < \lambda, \quad K_2[n] = 0;$$

$$K_3[n] = \begin{cases} 0 & \text{при } n < \theta_1, \\ e^{-\theta_1} + \theta_1 \sum_{m=\theta_1+1}^n e^{-0.5\theta_1 m} \frac{I_1(\theta_1 \sqrt{m^2 - \theta_1^2})}{\sqrt{m^2 - \theta_1^2}} & \text{при } n > \theta_1, \end{cases}$$

$$\theta_1 = \alpha T, \quad \theta_2 = \lambda(1-\delta), \quad \theta_3 = \lambda, \quad \theta_4 = \alpha T \delta, \quad \theta_5 = \alpha T(1-\delta),$$

$$\theta_6 = \alpha T, \quad \theta = \frac{\alpha T}{\lambda}, \quad I_0, I_1 \text{ — соответственно бесселевы функции нулевого и первого порядков.}$$

Решением системы уравнений (1) для второго случая в операторной форме будут

$$P(x, s) = -A_2 \frac{\rho(s)}{s} \frac{\operatorname{sh} \gamma x}{\operatorname{ch} \gamma l}, \quad (9)$$

$$Q(x, s) = \frac{A_2}{s} \frac{\operatorname{ch} \gamma x}{\operatorname{sh} \gamma l}. \quad (10)$$

Выражения (9), (10), согласно вышезложенному в дискретной форме в области оригиналлов можно представить в виде

$$\begin{aligned} P[n, \delta] &= -A_2 \rho \left(\sum_{m=\theta_6}^n K_6[m] - \sum_{m=\theta_7}^n K_7[m] \right) - \\ &- \sum_{m=\theta_5}^n K_2[m] P[n-m, \delta] - \sum_{m=0}^{n-1} K_1[n-m] P[m, \delta], \end{aligned} \quad (11)$$

$$\begin{aligned} Q[n, \delta] &= A_2 \left(\sum_{m=\theta_6}^n K_6[m] + \sum_{m=\theta_7}^n K_7[m] \right) - \\ &- \sum_{m=\theta_5}^n K_5[m] Q[n-m, \delta] - \sum_{m=0}^{n-1} Q[m, \delta], \end{aligned} \quad (12)$$

где

$$K_1[n] = \begin{cases} 0 & \text{при } n < \theta_1, \\ e^{-\theta_1} + \theta_1 \sum_{m=\theta_1+1}^n e^{-0.5\theta_1 m} \frac{I_1(\theta_1 \sqrt{m^2 - \theta_1^2})}{\sqrt{m^2 - \theta_1^2}} & \text{при } n > \theta_1, \end{cases}$$

$$\theta_6 = 0.5 \lambda (1-2\delta), \quad \theta_7 = 0.5 \lambda (1+2\delta), \quad \theta_5 = \alpha T (1-2\delta), \quad \theta_4 = \alpha T (1+2\delta).$$

Полученные рекуррентные соотношения (7), (8), (11), (12) легко реализуются на ЭВМ. Причем шаг дискретизации λ в них надо выбрать так, чтобы, во-первых, достигалась достаточная точность, а во-вторых, m принимал целочисленное значение.

Литература

1. Марбии З. С., Герман В. Т. Исследование влияния инерционности газового потока на переходные процессы в промысловом газопроводе. — Тр./ВНИКА-нефтегаз. М., 1972, вып. 4, с. 73—83. 2. Тарабрии Е. И., Пугачев В. И., Тараненко Б. Ф. — Нефть и газ, 1976, № 2, с. 75—80. 3. Жидкова М. А. Трубопроводный транспорт газа. — Киев: Наукова думка, 1973. 4. Мамедов А. И., Аскер-заде Б. А. — За техн. прогресс, 1980, № 8, с. 21—25. 5. Кадымов Я. Б., Мамедов А. И., Аскер-заде Б. А., Алиев Р. М. — Докл. АН АзССР, 1981, т. XXXVI, № 8, с. 45—48. 6. Цыпкин Я. З. Теория линейных импульсных систем. — М.: Физматгиз, 1963.

НИИПИнефтехимавтомат

Поступило 27. IV 1984

А. И. Мамедов, Е. А. Гашимов

МУХТАЛИФ РЕЖИМЛЭРДЭ МЭДЭН-ГАЗ КЭМЭРИНДЭ КЕЧИД ПРОСЕСЛЭРИНИН ЭДЭДИ НЕСАБЛАМА ҮСУЛУ

Мэглэдэ мухтэлиф режимлэрдэ мэдэн-газ кэмэрнндэ кечид просесслэриин эдэди несаблама үсулуудан бөхс олуунр.

А. И. Mamedov, E. A. Gashimov

NUMERICAL CALCULATION METHOD OF TRANSIENT PROCESSES IN A FIELD GAS PIPELINE UNDER DIFFERENT CONDITIONS

The numerical calculation method is given in this paper for transient processes in a field gas pipeline under different conditions.

АЗЭРБАЙЧАН ССР ЕЛМЛЭР АКАДЕМИЈАСЫНЫН МЭРҮЗЭЛЭРИ

ДОКЛАДЫ АКАДЕМИИ НАУК АЗЕРБАЙДЖАНСКОЙ ССР

ТОМ XL ЧИЛД

№ 10

1984

УДК 548.73

ФИЗИКА ПОЛУПРОВОДНИКОВ

М. И. АБДУЛЛАЕВ, Р. М. ИМАМОВ, А. В. МАСЛОВ,
И. Р. НУРИЕВ, Э. М. ПАШАЕВ, акад. АН АзССР Э. Ю. САЛАЕВ

ФОТОЭФФЕКТ ПРИ ДИФРАКЦИИ РЕНТГЕНОВСКИХ ЛУЧЕЙ В БРЭГГ — ЛАУЭ-ГЕОМЕТРИИ

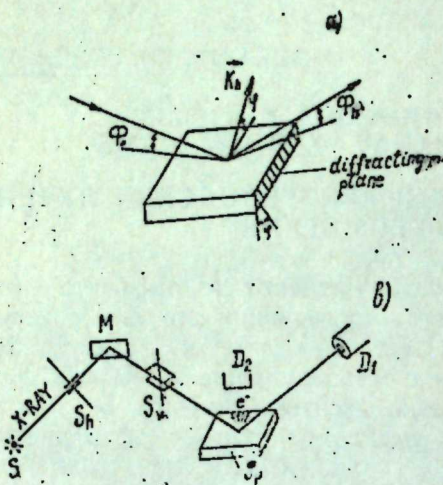
Исследования угловой зависимости внешнего фотоэффекта (см., напр. [1, 2]) показали перспективность применения его для изучения структурного совершенства твердых тел, и в основном структуры тонких нарушенных слоев, что связано с малой глубиной выхода фотозелектронов L_{ex} , составляющей несколько десятых микрона. В толстых кристаллах высокой степени совершенства при динамическом дифракционном рассеянии образуется стоячее волновое поле, представляющее собой когерентную суперпозицию падающей и дифрагированной волн. Распределение узлов и пучностей этого поля относительно атомных плоскостей сильно зависит от угла падения рентгеновских лучей на кристалл, что ведет к резкой угловой зависимости интенсивности неупругих процессов, которая уменьшается в случае, когда узлы поля приходятся на атомные плоскости, и, наоборот, увеличивается при совпадении пучностей поля с узлами кристаллической решетки. В тех случаях, когда фотозелектроны выходят с малых по сравнению с глубиной проникновения рентгеновских лучей расстояний, зависимость интенсивности выхода фотозелектронов от угла падения рентгеновских лучей оказывается весьма чувствительной к слабым искажениям кристаллической решетки в тонких приповерхностных слоях [3].

До недавнего времени исследования угловой зависимости фотозелектронов при дифракции рентгеновских лучей проводились в геометрии Брэгга, когда стоячая волна образуется за счет отражения в объеме кристалла, а нарушения в тонком приповерхностном слое практически не искажают установленного волнового поля. В этом случае измерения $\Delta d/d$, где d — межплоскостное расстояние, выявляются в направлениях, перпендикулярных к поверхностным плоскостям.

Недавно была предложена и экспериментально реализована дифракция рентгеновских лучей в геометрии Лауэ при скользящих углах падения излучения на кристалл. При вращении кристалла вокруг вектора обратной решетки удалось многократно уменьшить длину экстинкции L_{ex} и получить угловые зависимости фотоэффекта, имеющие ярко выраженную дисперсионную форму. Эта схема позволяет обнаружить структурные нарушения в тонких приповерхностных слоях в кристаллографических направлениях, параллельных поверхности образца, при этом структурное совершенство матрицы, лежащей на глубине больше L_{el} не играет никакой роли [4].

Наличие малой (порядка нескольких градусов) разворота на поверхности кристалла относительно плоскостей дифракции, по кото-

рым этот кристалл был вырезан, позволяет переходить от дифракции в геометрии Лауэ к дифракции Брэгга при скользящих (порядка 0,5–3°) углах падения. На рис. 1 представлена геометрическая схема эксперимента при наличии малого угла φ между поверхностью кри-



Rис. 1 Схема дифракции при скользящих углах падения:
K_h—вектор обратной решетки;
S—источник рентгеновского излучения;
S_h и *S_v*—горизонтальная и вертикальная щели;
M—кристалл-монохроматор
Si(220)—отражения;
S_p—исследуемый образец;
D₁ и *D₂*—детекторы рентгеновского излучения и фотоэлектронов соответственно.

сталла и соответствующим вектором обратной решетки. Углы падения Φ_0 и выхода рентгеновского излучения Φ_h связаны простым соотношением

$$\Phi_h = \Phi_0 - 2 \sin \theta_B \cdot \varphi, \quad (1)$$

где θ_B —угол Брэгга.

При $\Phi_0 > 2 \sin \theta_B \cdot \varphi$ реализуется дифракция в геометрии Лауэ, а при $\Phi_0 < 2 \sin \theta_B \cdot \varphi$ —в геометрии Брэгга. Вместе с тем предполагаемая схема позволяет в широких пределах варьировать величину фактора асимметрии дифракции $\beta = \frac{\gamma_0}{|\gamma_{\perp}|} = \frac{\Phi_0}{|\Phi_h|}$ (γ_0 и γ_{\perp} —направляющие косинусы падающей и дифрагированной волн) и, следовательно, глубину проникновения излучения в кристалл.

В стандартной геометрии брэгговской дифракции угловая зависимость выхода фотоэлектронов в явном виде отражает структуру волнового поля в тонком приповерхностном слое [3]:

$$\epsilon(\alpha) = |\vec{E}_0 + \vec{E}_h|^2. \quad (2)$$

Угловые зависимости такого типа впервые были получены в [5]. В работе [6] исследовались угловые зависимости фотоэффекта в условиях асимметричной брэгговской дифракции, когда исследуемый образец был определенным образом вырезан относительно плоскостей дифракции. При этом, однако, глубина проникновения рентгеновских лучей в кристалл заметно превосходила глубину выхода электронов L_{el} . В результате при $\beta \ll 1$ была получена угловая зависимость фотоэлектронов со слабо выраженным максимумом и минимумом и с заметно увеличенной угловой областью брэгговского отражения. И, наоборот, при $\beta \gg 1$ угловая зависимость была сильно ската в угловом пространстве и имела ярко выраженные экстремумы.

В рассматриваемом нами случае ситуация меняется коренным образом. Как известно, в промышленности для удобства дальнейших

технологических воздействий кристаллы вырезаются под углом 4–5° относительно плоскостей дифракции, лежащих на поверхности. Наличие этой разъориентации позволяет легко реализовать соотношение $L_{el} \gg L_{ex}$.

Для выхода фотоэлектронов в условиях брэгговского отражения запишем выражение [3]:

$$\epsilon(\alpha) = \mu_0 / \gamma_0 \{1 + \beta P_R(\alpha) + 2 \sqrt{\beta} \operatorname{Re}(e_{\bar{h}} R(\alpha))\} \langle \exp(-\mu(\alpha) z) \rangle \quad (3)$$

$$= \mu(\alpha) [1 - F_R(\alpha)] \langle \exp(-\mu(\alpha) z) \rangle \quad (4)$$

Здесь $R(\alpha)$ —амплитуда брэгговского отражения:

$$R(\alpha) = (2\epsilon(\alpha) - \chi_0) / \sqrt{\chi_h \chi_{\bar{h}}}, \quad (5)$$

$$\epsilon(\alpha) = \frac{1}{2} [\chi_0 + V\beta \sqrt{\chi_h \chi_{\bar{h}}} (Y \pm \sqrt{Y-1})], \quad (6)$$

$$Y = [\alpha\beta - \chi_0(1 + \beta)] / 2V\beta \sqrt{\chi_h \chi_{\bar{h}}}; \quad (7)$$

параметр α —величина отклонения от точного выполнения условия Брэгга:

$$\alpha = -2 \sin 2 \theta_B \Delta \theta, \quad \Delta \theta = \theta - \theta_B, \quad (8)$$

$$\mu(\alpha) = 2(K/\gamma_0) \operatorname{Im} \epsilon(\alpha), \quad F_R(\alpha) = |R(\alpha)|^2. \quad (9)$$

Угловые скобки означают усреднение по функциям вероятности выхода фотоэлектронов из кристалла $P(z)$:

$$\langle \dots \rangle = \int dz P(z) \dots \quad (10)$$

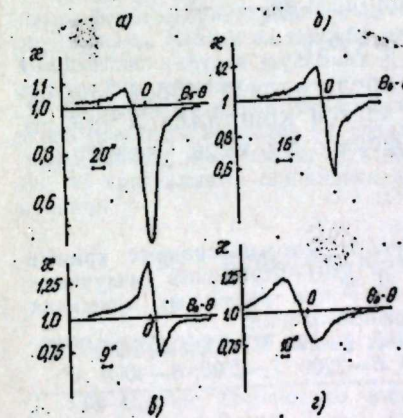


Рис. 2. Фотоэмиссионные кривые для *Si(220)*—отражения (излучение *Cu K_α*) при скользящих углах падения;

а— $\Phi_0 = 0.5$ —геометрия Брэгга; б— $\Phi_0 = 1.5$ —геометрия Брэгга; в— $\Phi_0 = 3.0$ —геометрия Брэгга; г— $\Phi_0 = 3.0$ —геометрия Лауэ

Все остальные обозначения соответствуют обозначениям, принятым в [3]. Коэффициент $\mu(\alpha)$ определяет глубину проникновения рентгеновских лучей в кристалл. При $\operatorname{Re} Y = 0$

$$\mu(y=0) = 2/L_{ex}, \quad (11)$$

$$L_{ex} = 2 \sqrt{\gamma_0 / |\gamma_{\perp}| / K | \chi_h |}. \quad (12)$$

При углах, далеких от угла Брэгга,

$$\mu = \mu_0 / \gamma_0,$$

где μ_0 —обычный линейный коэффициент поглощения рентгеновских лучей.

В нашем случае при $L_{el} \gg L_{ex}$ и при заданном значении угла φ малая величина L_{ex} соответствует как малым углам входа излучения в кристалл, так и скользящим углам выхода дифрагированной волны

из образца. Форма же угловых зависимостей выхода фотоэлектронов будет значительно трансформироваться при изменении величины фактора асимметрии β (рис. 2а, б, в). Кривые на рис. 2², б, в представляют собой экспериментальные результаты при различных значениях Φ_0 .

Экспериментальная установка описана в [7]. В качестве исследуемого образца были взяты совершенные кристаллы Si, вырезанные по плоскостям (111) с разъориентацией относительно поверхности 4°. Отражающими плоскостями являлись плоскости (220). Излучение Си K_{α} . Измерения велись по двухкристальной бездисперсионной схеме. Вакуум в объеме поддерживался 10^{-5} торр. В качестве детекторов электронов были использованы стандартные ВЭУ-6. С целью увеличения счета электронов применен блок из трех ВЭУ-6. На кристалл подавался отрицательный потенциал — 3 В.

В случае $\beta \ll 1$ при $\Phi_0 = 0.5^\circ$ (кр. 2в) из выражения (13) видно, что независимо от величины отклонения от брэгговского положения глубина проникновения $1/\mu$ (a) $< L_{el}$. В этом случае

$$\chi(\alpha) = 1 - P_R(\alpha). \quad (14)$$

Очевидно, что наличие на поверхности образца аморфной пленки приводит к изменению формы фотоэмиссионной кривой. Так, если в идеальной части кристалла интенсивность образования фотоэлектронов в соответствии с (2) пропорциональна квадрату величины суммарного поля, то в аморфной части за счет хаотического расположения атомов интенсивность появления фотоэлектронов пропорциональна.

$$|\vec{E}_0|^2 + |\vec{E}_h|^2 = |\vec{E}_0|^2 (1 + \beta P_R). \quad (15)$$

В результате выход фотоэлектронов представляет собой сумму фотоэлектронов от идеальной и аморфной частей кристалла. Судя по рис. 3, кривая фотоэмиссии меняет свою форму по мере увеличения

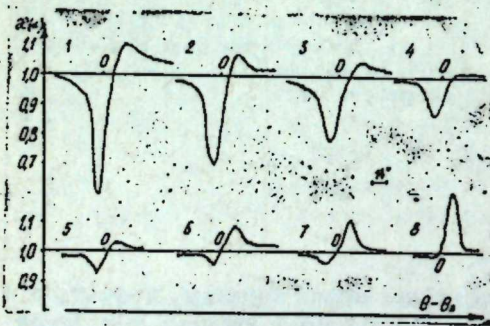


Рис. 3. Фотоэмиссионные кривые для Si (220)-отражения (излучение Си K_{α}) при различных толщинах аморфной пленки:
1—0°; 2—50°; 3—800°; 4—1300°; 5—1700°; 6—2200°; 7—2500°; 8—4000°.

толщины аморфного слоя и при толщинах, сравнимых с L_{el} , приобретает форму кривой рентгеновского отражения. Как видно из рис. 3, данный метод является весьма перспективным при самых тонких слоях—100—200 Å. В данной статье в качестве исследуемых образцов использовались кристаллы кремния с аморфными слоями SiO_2 различной толщины на поверхности. Проводилось измерение толщины аморфной пленки SiO_2 , получаемой на поверхности совершенных образцов Si в зависимости от времени окисления. Сравнение результатов, полученных при измерении фотоэмиссии электронов с другими оптическими методами, показало хорошее совпадение в определении толщины аморфного слоя с точностью до 8—10%.

Таким образом, предложенная методика может быть весьма полезна при анализе структуры поверхности после различных технологических воздействий (ионная имплантация, эпитаксиальное наращивание и т. д.).

Авторы выражают благодарность А. Е. Коропий и А. А. Самохиной за помощь в приготовлении образцов с аморфными слоями.

Литература

1. Круглов М. В., Созонтов Е. А., Щемелев В. Н., Захаров Б. Г.—Кристаллография, 1977, т. 22 с. 693.
2. Созонтов Е. А., Круглов М. В., Захаров Б. Г.—Электрон. техника. Сер. 6 Мат-лы, 1979, вып. 7, 108.
3. Афанасьев А. М., Кон В. Г.—ЖЭТФ, 1978, т. 74, вып. 1, с. 300.
4. Афанасьев А. М., Иманов Р. М., Маслов А. В., Пашаев Э. М.—Докл. АН СССР, 1983, т. 273, с. 609.
5. Щемелев В. Н., Круглов М. В., Пронин В. Н.—ФТТ, 1970, т. 12, с. 2495.
6. Takahashi T. and Kikuta S. Journ. Phys. Soc., 1979, vol. 46, 5.
7. Бугров Д. А., Иманов Р. М., Пашаев Э. М.—ПТЭ, 1984, №2, с. 213.

Поступило 17. II. 1984

М. И. Абдуллаев, Р. М. Иманов, А. В. Маслов, И. Р. Нуриев,
Е. М. Пашаев, Е. Ю. Салаев

БРЕГГ-ЛАУЈЕ ЧӘКИЛИШИНДӘ РЕНТКЕН ШУАЛАРЫНЫН ДИФРАКСИЈАСЫ ЗАМАНЫ ЖАРАНАН ФОТОЕФФЕКТ

Мәғаләдә Брэгг-Лаује чәкилишиндә ренткен шулаларынын дифраксијасы заманы чыккан фотоэлектроиларын дүшмә бучагындан асылылығыны өзөнәк методика тәсвир олуимушдур. Нәзәри вә тәчрубы оларaq мүәжжән едилмишdir ки, тәдгиг едилән кристаллын сәттинә ренткен шұасынын дүшмә бучагындан асылы оларaq фотоэффект әйриси дәйшиликті үргаїр.

Сәттинә мұхтәлиф галынылыгы SiO_2 аморф тәбәгеси олан Si монокристалы үзәринде апарылан өлчөмдер бу методиканың сәттілікі зәйіп дәйшиликлелэр һөссас олдуруну көстәрир. Фотоэффект әйрисинин бу дәйшишмәсіндән истифадә олунараг тәдгиг едилән Si кристалынын сәттинәкі аморф SiO_2 тәбәгесинин галынылығы мүәжжәләшдирилмешdir.

M. I. Abdullaev, R. M. Imamov, A. V. Maslov, I. R. Nuriev,
E. M. Pashaev, E. Yu. Salayev

PHOTOEFFECT OF X-ray DIFFRACTION IN THE BRAGG—LAUE GEOMETRY

The angular dependence measurement technique of photoelectron efficiency is described at the Bragg X-ray diffraction in the Laue geometry. The transformation of photoeffect curves is demonstrated in dependence of X-ray incident angle on the photo-crystal surface under study. The results of measurements on Si-crystals with an amorphous film SiO_2 , of different thickness show the highest sensitivity of the proposed technique to weak disturbances at surface layers and are in good agreement with the data of optical methods.

Акад. АН АзССР М. И. АЛИЕВ, Х. А. ХАЛИЛОВ

ПОГЛОЩЕНИЕ ИК-ИЗЛУЧЕНИЯ СВОБОДНЫМИ НОСИТЕЛЯМИ
В КРИСТАЛЛАХ $Ga_{1-x}In_xAs$ ($x \leq 0,05$)

Твердые растворы $Ga_{1-x}In_xAs$ используются для изготовления инфракрасных детекторов и лазеров [1]. В этой связи представляют интерес оптические свойства монокристаллов $Ga_{1-x}In_xAs$ в широком интервале длин волн. В настоящей статье исследуется поглощение инфракрасного излучения свободными носителями (электронами) в системе $Ga_{1-x}In_xAs$ с концентрацией $N = (2-7) 10^{17} \text{ см}^{-3}$.

Теория о поглощении свободными электронами изучена при классическом распределении носителей [2] для исходных компонентов, образующих сплавы $Ga_{1-x}In_xAs$. Однако, как показывают опыты работ [3], исследование поглощения свободными носителями совместно с электрическими измерениями позволяет более подробно анализировать механизмы рассеяния электронов в соединениях $A^{\text{III}}B^{\text{V}}$. Поэтому совместное исследование оптических и электрических свойств системы $Ga_{1-x}In_xAs$ должно во многом способствовать изучению сплавного рассеяния и зонной структуры в этих твердых растворах.

Теория об изменении запрещенной зоны в полупроводниковых сплавах рассмотрена на основе модели виртуального кристалла. При малых концентрациях второго компонента это приближение дает энергетические уровни с точностью до первого порядка [4]. Далее, Парментер [5] рассмотрел влияние высоких порядков и сделал поправки к модели виртуального кристалла, с помощью которого объясняется неупорядоченная флуктуация в потенциале и изменение в волновой функции. Из этих предсказаний ожидается существование в сплавах локализованных электронных состояний в области запрещенной зоны. В дальнейшем Маттук [6] показал влияние нарушений дальнего и ближнего порядков на зонную структуру сплавов.

Поглощение инфракрасного излучения в сплавах $Ga_{1-x}In_xAs$ с различными содержаниями арсенида индия исследовалось при комнатной температуре. На рис. 1 показана зависимость коэффициента поглощения α от длины волны λ для этих образцов. В области достаточно длинных волн ($\lambda > 10 \text{ мкм}$) экспериментальная зависимость $\alpha = C/\lambda^{\beta}$ (см^{-1}) находится в согласии с рассчитанной на основании классического выражения для поглощения на свободных электронах. Постоянная C при данном механизме рассеяния зависит от эффективной массы электронов.

Экспериментальные результаты постоянной C для GaAs и сплавов $Ga_{1-x}In_xAs$ при $x=0,02$ и $0,05$ изменялись в интервале $(1,3-2,3) \times 10^{-10}$, соответствующие расчетные значения при рассеянии на ионизированных примесях — в пределах $(1,2-3,9) \cdot 10^{-10}$.

Эффективное сечение поглощения на длине волны 10 мкм увеличивается от 1,2 для $x = 0,02$ до $1,5 \text{ \AA}^{02}$ при $x = 0,05$, что указывает на существование дополнительного механизма поглощения, по-видимому, связанного со сплазмовым рассеянием электронов.

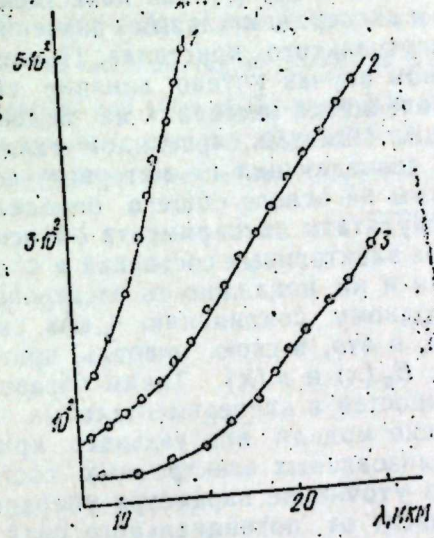


Рис. 1. Спектральные зависимости сплавов $Ga_{1-x}In_xAs$ ($x=0,02$ и $0,05$) (кр. 2—3) и арсенида галлия (кр. 1) в области поглощения на свободных электронах ($\lambda > 10 \text{ мкм}$).

Рассмотрена также зависимость $\alpha \sim \lambda^{\gamma}$, которая выполняется в области высоких частот ($\omega^2\tau^2 \gg 1$). Показатель степени γ от 1,8 для GaAs увеличивается до 2,1 при $GaAs + 5 \text{ мол. \% InAs}$. Ранее уста-

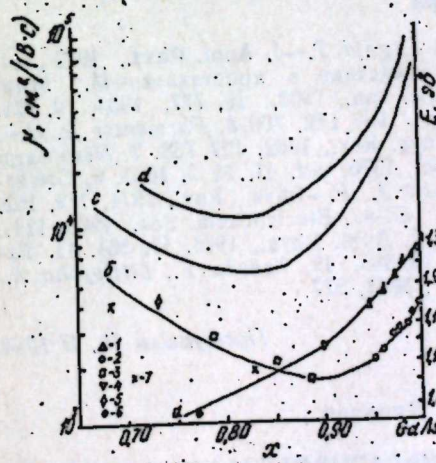


Рис. 2. Изменение запрещенной зоны (кр. а) и подвижности электронов (кр. б) в сплавах $Ga_{1-x}In_xAs$: 1—2 — наши данные; 3—7 — данные работ [8—12].

новлено, что при прочих равных условиях для исходных соединений GaAs и InAs γ зависит от концентрации носителей заряда N . Так как в нашем случае N в исследованных образцах меняется практически незначительно, изменение показателя степени γ можно присвоить свойству твердого раствора,

Представляет немалый интерес наблюденный нами тот факт, что подвижность носителей заряда μ увеличивается с ростом содержания арсенида галлия (рис. 2, кр. б) только в том интервале составов

($x=0-0,01$), где наблюдается более быстрый рост ширины E_0 , за-прещенной зоны (рис. 2, кр. a). Расчетные значения подвижности от состава $\mu(x)$ (кр. d) на основе модели виртуального кристалла также расходятся с экспериментальными результатами в сплавах $Ga_{1-x}In_xAs$, богатых арсенидом галлия. Результаты расчетов $\mu(x)$, проведенных (кр. c) по теории Нишинага и др. [7], как качественно, так и количественно более близки к экспериментальным значениям, нежели расчеты согласно модели виртуального кристалла. По-видимому, это связано с тем, что в первом случае учтено влияние смещения края зоны проводимости и потенциала рассеяния на подвижность электронов в сплавах $Ga_{1-x}In_xAs$, богатых арсенидом галлия. Поэтому возможно, что возрастание совпадающих по интервалу составов кривых $E_0(x)$ и $\mu(x)$ объяснимы на основе общего определяющего фактора. В данном случае результаты эксперимента объясняются учетом влияния локализованных электронных состояний в сплавах как на изменение края зоны, так и на подвижность электронов. По мере приближения состава к исходному соединению $GaAs$ снижаются нарушения дальнего порядка, и это, в свою очередь, приводит к более быстрому росту кривых $E_0(x)$ и $\mu(x)$. Таким образом, в сплавах $Ga_{1-x}In_xAs$ наличие особенностей в экспериментальных зависимостях $E_0(x)$ объясняется согласно модели виртуального кристалла, а $\mu(x)$ —согласно теории локализованных электронных состояний. Дальнейшее развитие теории и уточнение параметра упорядочения, который, в свою очередь, зависит от потенциального поля в кристалле, позволят более подробно анализировать данные эксперимента для количественной характеристики этих свойств сплавов $Ga_{1-x}In_xAs$.

M. I. Aliyev, Kh. A. Khalilov

FREE CARRIERS ABSORPTION OF IR RADIATION IN

$Ga_{1-x}In_xAs (x<0.05)$ CRYSTALS

The investigation of free carrier absorption in $Ga_{1-x}In_xAs (x<0.05)$ crystals within the IR radiation region ($\lambda=9-25 \text{ mkm}$) was made. The absorption effective cross-section and slope of the curve γ in the $\alpha \sim \lambda^2$ law are observed to increase the $InAs$ content in the alloy. This is indicative of the existence of the additional absorption mechanism, which is apparently connected with the electron scattering mechanism.

Литература

1. Takeda Y., Sasaki A., Imamura Y. and Tagaki T.—J. Appl. Phys., 1976, vol. 47, 5405. 2. Фен Г. Фотон-электронное взаимодействие в кристаллах.—М.: Мир, 1969. 3. Haga E., Kimura H.—Journ. Phys. Soc. Jpn., 1963, 18, 777; 1964, 19, 471. 4. Williams E. W. and Rehn Victor.—Phys. Rev., 1968, 172, 799. 5. Parmenter R. H.—Phys. Rev., 1955, 99, 1759. 6. Mattuc R. D.—Phys. Rev., 1962, 127, 738. 7. Nishinaga T., Hori O. and Uchiyama S.—Jpn. J. Phys. Soc., 1976, vol. 41, № 5, 1603. 8. Glicksman M., Enstrom R. E., Mittelman S. A., Appert J. P.—Phys. Rev., 1974, 159, 162. 9. Conrad R. W., Hoyt P. Z. and Martin D. D.—J. Electrochem. Soc., 1966, 114, 164. 10. Katoda T., Osaka F., Sugano T.—Jpn. J. Appl. Phys., 1974, 13, 561. 11. Takeda Y., Sasaki A.—Jpn. J. Appl. Phys., 1980, 19, 383. 12. Takeda Y., Littlejohn A., Hauser J. R.—Electronics letters, 1981, vol. 17, № 11, 377.

Институт физики АН АзССР

Поступило 25. II 1983

М. И. Элиев, Х. Э. Халилов

$Ga_{1-x}In_xAs (x<0.05)$ КРИСТАЛЛАРЫНДА ИНФРАГЫРМЫЗЫ ШУАЛАНМАНЫН СЭРБЭСТ ЕЛЕКТРОНЛАРЛА УДУЛМАСЫ

Мэглэдээ инфрагырмызы шуланманын ($\lambda=9-25 \text{ мкм}$) сэрбэст електронларла удулмасы системи $Ga_{1-x}In_xAs$ кристалларында тэдгиг едилр. Нэтичэдээ хөстэрилшидир ки, удулманын эффектив кэсийн (a/N) вэ $a-\lambda^2$ ифадэснндэ ү-ныц бэрх мэйллэлдээр артмасы електронларын эринтидэн сэпэлэнэмэсийн надисэсийн илээ изэндээ едилэ

Чл.-корр. АН АзССР М. Г. ШАХТАХТИНСКИЙ, Б. А. ГУСЕИНОВ,
М. А. КУРБАНОВ, Ю. Н. ГАЗАРЯН, А. О. ГУЛИЕВ

ПИРОЭЛЕКТРИЧЕСКИЕ СВОЙСТВА КОМПОЗИТА ПОЛИЭТИЛЕН — ЦТС

В последнее десятилетие интерес к пироэлектрическим свойствам полимеров, широко применяющимся в качестве ИК-приемников вместо кристаллических или керамических материалов, все более возрастает [1]. Эти приемники обладают большим быстродействием вследствие малой теплоемкости пленок; кроме того, они имеют большую площадь и обладают хорошими физико-механическими свойствами. В основном внимание сконцентрировано на исследовании пироэлектрических свойств поливинилиденфторида (ПВДФ) и его сополимеров. В ПВДФ после поляризации в электрическом поле порядка 200 мВ/м при 373 К [2] наблюдается достаточно высокий пирокоэффициент — до 40 мКл/(м²·К) и пироэффект считается связанным с поляризацией, возникающей при ориентации диполей в объеме полимера [3]. Однако пироэлектрический эффект в ПВДФ в большей степени зависит от условий изготовления пленки, условий поляризации, нестабилен по величине и во времени. Для успешного использования полимеров в пироэлектрических приемниках излучения необходимо увеличить их пирокоэффициент и улучшить стабильность пироэффекта. Одним из путей решения этой задачи является использование полимерных композиций, наполненных порошком сегнетоэлектрической керамики. В [4] исследовались пироэлектрические свойства композиций ТГС — кремний — органическая резина. При содержании ТГС 60 об.% получен $\gamma = 16$ мКл/(м²·К). В работе [5] изучались пироэлектрические свойства полимерных композитов, которые получались введением в расплав ПЭ и ПВДФ пудры сегнетокерамики PbTiO₃ и ЦТС. Образцы поляризовались при постоянном напряжении 1,4 кВ при температуре 160 °C в течение 1 ч. Для состава ПВДФ — PbTiO₃ получено, что с увеличением содержания PbTiO₃ в смеси от 10 до 70 об.% γ нелинейно растет от 10 до 130 мКл/(м²·К).

В данной статье приведены результаты исследования пироэлектрических свойств полимерной композиции на основе полиэтилена высокой плотности, наполненного порошком керамики ЦТС-19, в зависимости от напряжения и температуры поляризации. Порошки полиэтилена высокой плотности (ПЭ) и керамики ЦТС-19 смешивались при объемном содержании ЦТС-19 от 30 до 60%. Из смеси при температуре 433 К и давлении 10 МПа прессовались пленки в виде дисков диаметром 40 мм и толщиной 0,1 мм. Прессование проводилось между двумя алюминиевыми фольгами, толщина образца задавалась прокладкой. В процессе прессования к образцу припрессовывались алюминиевые электроды диаметром 30 мм. Образцы выдерживались под дав-

лением в течение 10 мин., а затем быстро охлаждались до комнатной температуры в воде.

Далее образцы поляризовались при температурах от комнатной до 413 К при напряженности поля от 5 до 8 МВ/м. Образцы выдерживались при данной температуре в поле в течение часа, а затем охлаждались в поле до комнатной температуры в течение 30 мин. Поляризованные образцы помещались в экранированную камеру между двумя электродами, подсоединенными ко входу электрометра — вольтметра В7-30, и нагревались с постоянной скоростью 8 К/мин. Регистрация тока производилась с помощью двухкоординатного самописца, на вход X которого подсоединялась термопара, измеряющая температуру образца.

При многократных нагреваниях образца до 373 К с последующим охлаждением до комнатной температуры ток постепенно уменьшался до 7—8 циклов нагрева. В дальнейших циклах нагрева по величине он практически не менялся. При нагревании образца до 413 К ток достигал максимума при температуре порядка 383—393 К, а затем уменьшался. При последующих нагревах до 373 К ток воспроизводился по величине. Пирокоэффициент γ рассчитывался по формуле

$$\gamma = \frac{I}{A \cdot \beta}, \text{ где } A \text{ — площадь электродов, } \beta \text{ — скорость нагрева образца.}$$

На рис. 1 приведена зависимость диэлектрической проницаемости и тангенса угла диэлектрических потерь композитов от содержания ЦТС. Как видно, диэлектрическая проницаемость с увеличением количества ЦТС возрастает от 2,4 до 20.

На рис. 2 показана зависимость отношения пирокоэффициента к диэлектрической проницаемости от температуры для композиций с различным содержанием ЦТС при температуре поляризации 373 К и напряженности электрического поля $E_h = 6$ МВ/м. Достаточно большой

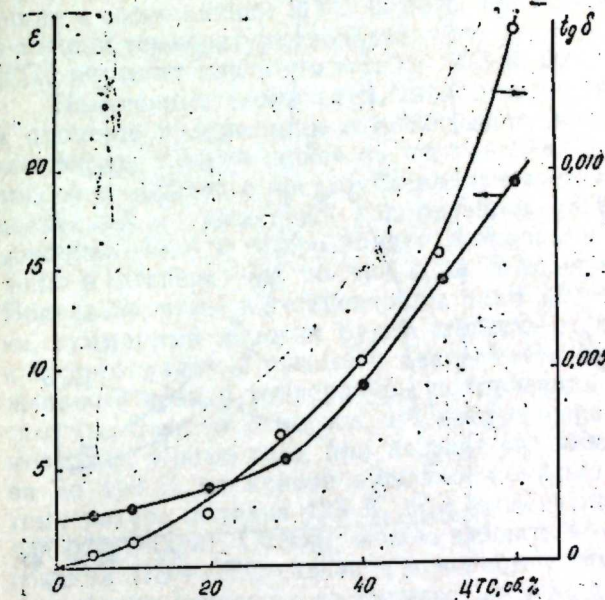


Рис. 1. Зависимость диэлектрической проницаемости ϵ и тангенса угла диэлектрических потерь $\operatorname{tg} \delta$ от содержания ЦТС в композите

пирокоэффициент имеет композиции с содержанием ЦТС более 40 об. %.

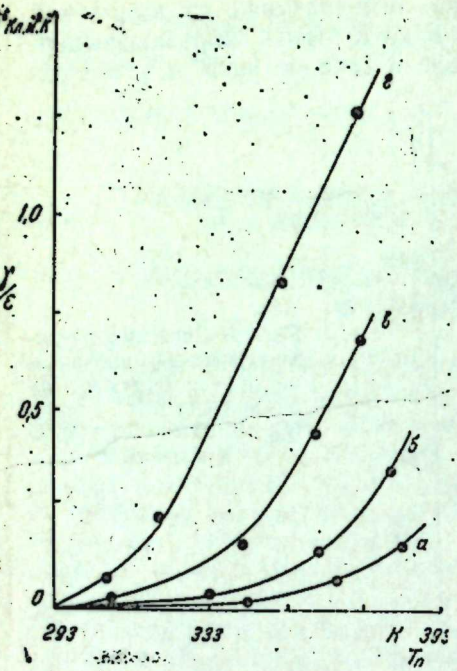


Рис. 2. Зависимость γ/e от температуры для композитов с различным содержанием ЦТС:
а — 30; б — 40; в — 50; г — 60 об. %

На рис. 3 приведена зависимость γ/e от напряженности поля поляризации при температуре 373 К для композиций с содержанием ЦТС

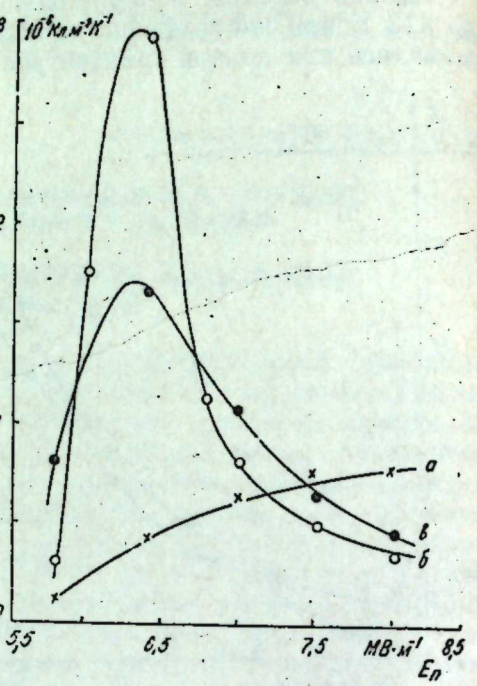
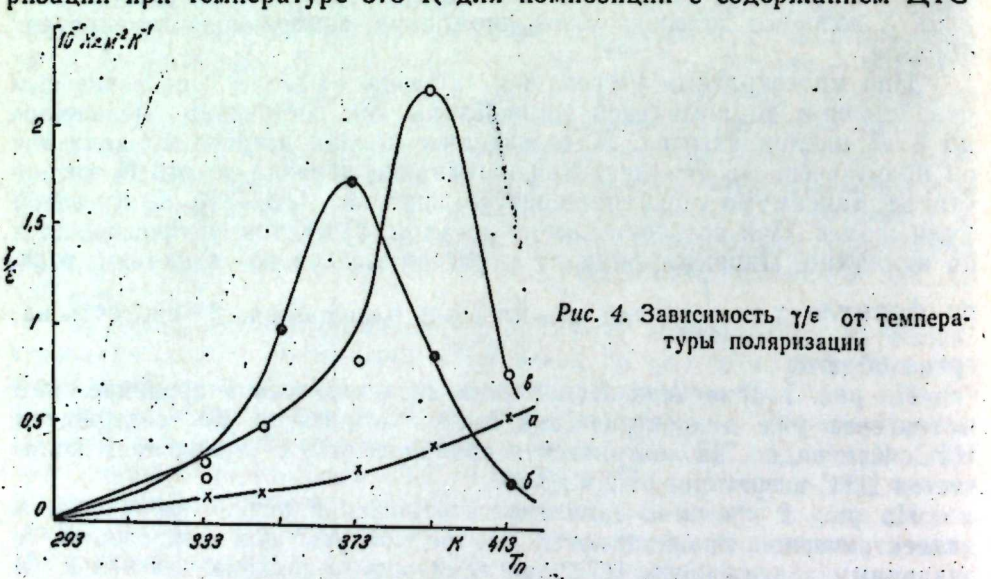


Рис. 3. Зависимость γ/e от напряжения поля поляризации



40% (кр. а), 50% (кр. б) и 60% (кр. в). Как видно, для композиции с содержанием ЦТС 40% пирокоэффициент с увеличением напряжен-

ности поля поляризации возрастает и достигает насыщения при $E_n \sim 6,2$ МВ/м, а для композиций с содержанием ЦТС 50 и 60% имеет максимум при напряженности поля порядка 6,1—6,3 МВ/м.

На рис. 4 приведена зависимость γ/e от температуры поляризации при напряженности поля поляризации 60 МВ/м для композиций с содержанием ЦТС 40% (кр. а), 50% (кр. б) и 60% (кр. в). Для композиций с содержанием ЦТС 40 об.% пирокоэффициент возрастает с увеличением температуры поляризации; для композиций, содержащих 50% ЦТС, он имеет максимум при $T_n = 373$ К, 60% — при 393 К.

Полученные результаты, по-видимому, можно объяснить тем, что в процессе поляризации в композиции возникает два рода зарядов: гомозаряд, образующийся за счет инжекции носителей заряда с электродов в образец с последующим захватом их ловушками, и гетерозаряд, связанный с дипольной поляризацией частиц ЦТС. Скорости накопления гомо- и гетерозарядов различны и зависят от напряженности поля и температуры поляризации и содержания ЦТС в композиции. Поскольку гомо- и гетерозаряды дают пироток противоположного знака, суммарный пироток будет зависеть от соотношения величин гомо- и гетерозарядов. Поэтому в зависимости пирокоэффициента от напряженности поля и температуры поляризации должны наблюдаться максимумы. Следует отметить, что направление пиротока соответствует гомозаряду. Кроме того, при нагревании образца в первом цикле нагрева до 443 К на кривой пиротока появляется второй максимум — при температуре порядка 423 К, при последующем нагреве до 373 К пироток отсутствует. Отсюда можно сделать вывод, что пироэффект в композиции ПЭ+ПТС связан в основном с гомозарядом, локализованным в глубоких ловушках на границе раздела двух фаз — ПЭ и ЦТС.

Литература

1. Mc Fee J. H., Bergman Y. G., Jr., Crane G. R.—Ferroelectrics, 1972, 3, 305.
2. Day A. W., Hamilton G. A., Peterson R. L., Phelan R. T., Jr., Mullen L. O.—Appl. Phys. Lett., 1974, 24, 456.
3. Wada J., Hayakawa R.—Jap. J. Appl. Phys., 1976, 15, 2041.
4. Mendiola J., Jimenez B., Alemany C., Maurer E.—Ferroelectrics, 1981, 33, № 1—4, 1201.
5. Yamazaki H., Kitayama T.—Ferroelectrics, 1981, 33, № 1—4, 147.

СКБ Регистр Института физики АН АзССР

Поступило 5. VII 1983

М. И. Шахтахтински, Б. Э. Гусейнов, М. Э. Гурбанов, Ю. Н. Газарян, А. О. Гулиев
ПОЛИЭТИЛЕН — ЦТС — 19 КОМПОЗИЦИЯСЫНЫН ПИРОЕЛЕКТРИК
ХАССАЛЭРІ

Мәгаләдә полиэтилен — ЦТС — 19 полимер композициясы пироелектрик еффект композицијада ЦТС — 19-ун інчми иисбетиндән вә поліаризаціямә шәрәткендән асылы оларға тәддиг едилмешішір.

Фөз өділір ки, композицијада пироэффект әсасын полиэтилен вә ЦТС-и айран сәрнәдә жерләшеш дәрениң тәләләрдәкі номо-јүкләрлә шартланып.

M. G. Shakhtakhtinsky, B. A. Guseinov, M. A. Kurbanov,
Yu. N. Gazaryan, A. O. Guliev

PYROELECTRIC EFFECT OF THE POLYETHYLENE-PZT COMPOSITE

The effect of polarization conditions and volume contents of PZT in polyethylene-PZT composites on the pyroelectric coefficient was investigated. It is suggested that pyroeffect in composites is due to the homocharges localized in depth traps on the interface between PE and PZT.

ТЕОРИЯ ТВЕРДОГО ТЕЛА

Чл.-корр. АН АзССР Ю. М. СЕИДОВ, А. М. СУЛЕЙМАНОВ

К ТЕОРИИ ДВУХМАГНОННОГО ПОГЛОЩЕНИЯ СВЕТА
В СИНГЛЕТ-ТРИПЛЕТНЫХ АНТИФЕРРОМАГНЕТИКАХ

В предыдущей работе [1] нами было рассмотрено двухмагнитное поглощение света в синглет-триплетных ферромагнетиках. Настоящая статья посвящена исследованию возможности поглощения света в синглет-триплетных антиферромагнетиках.

Гамильтониан синглет-триплетного антиферромагнетика, находящегося в однородном электрическом поле E , можно записать в виде

$$H = H_0 - \vec{E} \cdot \vec{p}, \quad (1)$$

где

$$H_0 = \sum_i V_{\text{кр},i} - \sum_{i,j} I(i-j) \vec{J}_i \cdot \vec{J}_j - D \cdot \left(\sum_i J_i^x \cdot J_i^x + \sum_j J_j^y \cdot J_j^y \right) \quad (2)$$

есть оператор энергии системы, а

$$\vec{p} = \sum_{i,j} \vec{\pi}_{ij} \cdot (\vec{J}_i \cdot \vec{J}_j) \quad (3)$$

—электрический дипольный момент системы, связанный с парой спинов i -го и j -го ионов.

Здесь $V_{\text{кр},i}$ — потенциал кристаллического поля i -го иона, который дает синглетное основное и триплетное возбужденное состояния, разделенные энергетической щелью Δ , \vec{J}_i — полный угловой момент i -го иона, $I(i-j)$ — эффективное обменное взаимодействие между i -м и j -м ионами, D — константа анизотропии, $\vec{\pi}_{ij}$ — вектор электрической поляризации для синглет-триплетных антиферромагнетиков. В данном случае $I(i-j) < 0$, т. е. рассматриваемая система антиферромагнитная.

Вычислим и исследуем диэлектрическую восприимчивость, обусловленную электрическим дипольным моментом в синглет-триплетных антиферромагнетиках. Для этого воспользуемся техникой двухвременной функции Грина [2]. В первом приближении по \vec{E} диэлектрическая восприимчивость выражается через соответствующие функции Грина следующим образом:

$$\tilde{\epsilon}(\omega) = -i \cdot \int_{-\infty}^{+\infty} dt' \cdot e^{i\omega(t-t')} \cdot \langle\langle \vec{p}(t) / \vec{p}(t') \rangle\rangle. \quad (4)$$

В представлении псевдоспинового формализма [3] гамильтониан (2) и электрический дипольный момент (3) имеют вид

$$H_0 = \Delta \cdot \left(\sum_i \vec{S}_i \cdot \vec{T}_i + \sum_j \vec{S}_j \cdot \vec{T}_j \right) - \sum I(i-j) \cdot (\alpha \vec{S}_i + \beta \vec{T}_i) \cdot (\alpha \vec{S}_j + \beta \vec{T}_j) -$$

$$- D \cdot \left[\sum_i (\alpha S_i^z + \beta T_i^z)^2 + \sum_j (\alpha S_j^z + \beta T_j^z)^2 \right], \quad (5)$$

$$\vec{p} = \sum_{i,j} \vec{\pi}_{ij} \cdot (\alpha \vec{S}_i + \beta \vec{T}_i) \cdot (\alpha \vec{S}_j + \beta \vec{T}_j), \quad (6)$$

где \vec{S} и \vec{T} — новые спиновые операторы, соответствующие спину $1/2$ и вводимые преобразованием $\vec{J} = \alpha \vec{S} + \beta \vec{T}$ с действительными коэффициентами α и β [3].

Выражая гамильтониан (5) через операторы вторичного квантования с помощью преобразования Гольштейна—Примакова для спиновых операторов \vec{S} и \vec{T} (учитывая антиферромагнитность спинов \vec{S} и \vec{T} соответственно для четных и нечетных узлов), переходя от узельного представления к импульльному и выбирая соответствующее преобразование [4], диагонализирующую гамильтониан (5), получим для H_0 и \vec{p} следующие выражения:

$$H_0 = \sum_k (\omega_{k1} \alpha_k^+ \alpha_k + \omega_{k2} \beta_k^- \beta_k + \omega_{k3} j_k^+ j_k + \omega_{k4} \xi_k^+ \xi_k), \quad (7)$$

$$\vec{p} = \sum_k (\vec{\Pi}_{k1} \cdot p_{k1} + \vec{\Pi}_{k2} \cdot p_{k2} + \vec{\Pi}_{k3} \cdot p_{k3} + \vec{\Pi}_{k4} \cdot p_{k4}). \quad (8)$$

Здесь ω_{k1} , ω_{k2} , ω_{k3} , и ω_{k4} — энергии элементарных возбуждений синглет-триплетных антиферромагнетиков [4]. Коэффициенты $\vec{\Pi}_{k1}$, $\vec{\Pi}_{k2}$, $\vec{\Pi}_{k3}$, $\vec{\Pi}_{k4}$ и операторы p_{k1} , p_{k2} , p_{k3} , p_{k4} имеют следующий вид:

$$\vec{\Pi}_{k1} = \vec{\Pi}_{k2} = [(a^2 S + \beta^2 T) \cdot (u_{1k} u_{1k} + v_{1k} v_{1k}) + c \beta \sqrt{ST} \times \\ \times (u_{1k}^2 + u_{2k}^2 + v_{1k}^2 + v_{2k}^2)] \cdot \vec{\pi}(k),$$

$$\vec{\Pi}_{k3} = [2 a \beta \sqrt{ST} \cdot (u_{1k} u_{1k} + v_{1k} v_{1k}) + a^2 S (u_{2k}^2 + v_{1k}^2) + \\ + \beta^2 T (u_{1k}^2 + v_{1k}^2)] \cdot \vec{\pi}(k),$$

$$\vec{\Pi}_{k4} = [2 a \beta \sqrt{ST} \cdot (u_{1k} u_{1k} + v_{1k} v_{1k}) + a^2 S (u_{1k}^2 + v_{1k}^2) + \\ + \beta^2 T (u_{2k}^2 + v_{1k}^2)] \cdot \vec{\pi}(k),$$

$$p_{k1} = \alpha_k \beta_{-k} + \alpha_k^+ \beta_{-k}^+,$$

$$p_{k2} = j_k \xi_{-k} + j_k^+ \xi_{-k}^+,$$

$$p_{k3} = j_k \beta_{-k} + j_k^+ \beta_{-k}^+,$$

$$p_{k4} = \alpha_k \xi_{-k} + \alpha_k^+ \xi_{-k}^+,$$

$$\text{где } \vec{\pi}(k) = \sum_{i,j} \vec{\pi}_{ij} \cdot e^{-ik \cdot (\vec{R}_i - \vec{R}_j)} \text{ — Фурье-образ вектора } \vec{\pi}_{ij}, u_{1k}, u_{2k}, v_{1k},$$

v_{2k} , — коэффициенты унитарного преобразования, диагонализирующего H_0 [4].

Таким образом, спектр ω_{k1} коллективных возбуждений рассматриваемой системы состоит из четырех ветвей — двух магнитных ($\omega=1,2$) и двух «магнитных экситонных» ($\omega=3,4$). С другой стороны, электрический дипольный момент (8) описывает следующие четыре процесса

возможного поглощения света коллективными модами в синглет-тройных антиферромагнетиках:

1) поглощение света с возбуждением одного магнона ветви $\zeta=1$ и одного магнона ветви $\zeta=2$;

2) поглощение света с возбуждением одного «экзитона» ветви $\zeta=3$ и одного «экзитона» ветви $\zeta=4$;

3) поглощение света с возбуждением одного магнона ветви $\zeta=2$ и одного «экзитона» ветви $\zeta=3$;

4) поглощение света с возбуждением одного магнона ветви $\zeta=1$ и одного «экзитона» ветви $\zeta=4$ с противоположно направленными волновыми векторами.

Таким образом, возможность двухмагнитного поглощения в синглет-тройных антиферромагнетиках богаче, чем в синглет-тройных ферромагнетиках [1] из-за наличия четырех ветвей спектра.

Для вычисления диэлектрической восприимчивости, соответствующей каждому из вышеупомянутых четырех процессов, будем использовать формулу (4). Для удобства введем следующие обозначения:

$$\vec{P}_{(1)} = \sum_k \vec{\Pi}_{k1} \cdot p_{k1}, \quad (9)$$

$$\vec{P}_{(2)} = \sum_k \vec{\Pi}_{k2} \cdot p_{k2}, \quad (10)$$

$$\vec{P}_{(3)} = \sum_k \vec{\Pi}_{k3} \cdot p_{k3}, \quad (11)$$

$$\vec{P}_{(4)} = \sum_k \vec{\Pi}_{k4} \cdot p_{k4}. \quad (12)$$

Подставляя (9) в (4), для диэлектрической восприимчивости $\vec{\epsilon}(\omega)$, соответствующей процессу (1) поглощения света в синглет-тройных антиферромагнетиках, получим следующее выражение:

$$\vec{\epsilon}_{(1)}(\omega) = -2\pi i \cdot \sum_k \vec{\Pi}_{k1} \cdot G(p_{k1}; \omega); \quad (13)$$

где $G(p_{k1}; \omega)$ — Фурье компонента двухвременной функции Грина типа

$$G(p_{k1}(\tau_1); p_{k1}(\tau_2)) = -i \cdot 0(\tau_1 - \tau_2) \cdot \langle [p_{k1}(\tau_1), p_{k1}(\tau_2)] \rangle. \quad (14)$$

Из уравнения движения для функции $G(p_{k1}; \omega)$ получим

$$G(p_{k1}; \omega) = \frac{(2\pi)^{-1} \cdot \vec{\Pi}_{k1} \cdot \langle \alpha_k^+ \alpha_k + \beta_k^- \beta_k^+ \rangle}{\omega - (\omega_{k1} + \omega_{k2})}. \quad (15)$$

Подставляя (15) в (13), для $\vec{\epsilon}_{(1)}(\omega)$ имеем

$$\vec{\epsilon}_{(1)}(\omega) = -i \cdot \sum_k \frac{\vec{\Pi}_{k1} \cdot \vec{\Pi}_{k1} \cdot \langle \alpha_k^+ \alpha_k + \beta_k^- \beta_k^+ \rangle}{\omega - (\omega_{k1} + \omega_{k2})}. \quad (16)$$

Как видно из (16), в данном процессе (процессе 1) поглощения света синглет-тройным антиферромагнетиком участвуют два магнона, т. е. поглощение электромагнитного излучения сопровождается возбуждением двух магонов — одного магнона из ветви 1 (с энергией ω_{k1}) и одного магнона из ветви 2 (с энергией ω_{k2}).

Теперь, подставляя (10) в (4), можно найти выражение для ди-

электрической восприимчивости $\vec{\epsilon}_{(2)}(\omega)$, соответствующей процессу 2) поглощения света в синглет-тройных антиферромагнетиках:

$$\vec{\epsilon}_{(2)}(\omega) = -2\pi i \cdot \sum_k \vec{\Pi}_{k2} \cdot G(p_{k2}; \omega). \quad (17)$$

Из уравнения движения для функции Грина $G(p_{k2}; \omega)$ можно получить

$$G(p_{k2}; \omega) = \frac{(2\pi)^{-1} \cdot \vec{\Pi}_{k2} \cdot \langle j_k^+ / \kappa + \xi_k \xi_k^+ \rangle}{\omega - (\omega_{k3} + \omega_{k4})}. \quad (18)$$

Подставляя (18) в (17) для $\vec{\epsilon}_{(2)}(\omega)$ находим

$$\vec{\epsilon}_{(2)}(\omega) = -i \cdot \sum_k \frac{\vec{\Pi}_{k2} \cdot \vec{\Pi}_{k2} \cdot \langle j_k^+ / \kappa + \xi_k \xi_k^+ \rangle}{\omega - (\omega_{k3} + \omega_{k4})}. \quad (19)$$

Как видно из (19), в этом процессе (процессе 2) поглощения света синглет-тройным антиферромагнетиком участвуют два «экзитона», т. е. поглощение света сопровождается возбуждением двух «экзитонов» — одного «экзитона» из ветви 3 (с энергией ω_{k3}) и одного «экзитона» из ветви 4 (с энергией ω_{k4}).

Аналогичными вычислениями можно найти выражения для диэлектрических восприимчивостей $\vec{\epsilon}_{(3)}(\omega)$ и $\vec{\epsilon}_{(4)}(\omega)$, соответствующих процессам 3) и 4) поглощения света в синглет-тройных антиферромагнетиках:

$$\vec{\epsilon}_{(3)}(\omega) = -i \cdot \sum_k \frac{\vec{\Pi}_{k3} \cdot \vec{\Pi}_{k3} \cdot \langle \beta_k^+ \beta_k + j_k^- j_k^+ \rangle}{\omega - (\omega_{k2} + \omega_{k3})}. \quad (20)$$

$$\vec{\epsilon}_{(4)}(\omega) = -i \cdot \sum_k \frac{\vec{\Pi}_{k4} \cdot \vec{\Pi}_{k4} \cdot \langle \alpha_k^+ \alpha_k + \xi_k \xi_k^+ \rangle}{\omega - (\omega_{k1} + \omega_{k4})}. \quad (21)$$

Применение полученных выражений диэлектрических восприимчивостей (16), (19) — (21) для анализа двухмагнитного поглощения в конкретном синглет-тройном антиферромагнетике будет рассмотрено нами в отдельной работе.

Литература

- Сеидов Ю. М., Сулейманов А. М. — Докл. АН АзССР, 1980, т. XXXVI, № 7.
- Тябликов С. В. Квантовые методы теории магнетизма. — М.: Наука, 1965.
- Blume M. and Hsieh Y. Y. — Phys. Rev., 1972, B 6, 2634. 4. Сулейманов А. М. — Изв. АН АзССР. Сер. физ.-техн. и матем. наук, 1976, № 4.

Институт физики АН АзССР

Поступило 14. XI 1983

Ю. М. Сеидов, А. М. Сулейманов

СИНГЛЕТ-ТРИПЛЕТ АНТИФЕРРОМАГНИТЛЭРДЭ ИШЫГЫН ИКИМАГНОНЛУ
УДУЛМАСЫ НЭЗЭРИЙЈЭСИНЭ ДАИР

Мэголэдэ синглет-тройлэдэ антиферромагнитлэрдэ ишыгын икимагнонлу удулмасындан бэйс олуулур. Бурда грин функциясы методуудан истифадэ единлиш, системийн

диэлектрик гаврајычылығы несабланыштыр. Диэлектрик гаврајычылығы үчүн алымыш ифаданың тәндигі етмәклө, синглет-триплет ферромагнитләрдө ишігүй икимагнитлуу удултасы надисөснини мүмкүн олмасы мүојжэн едилмишидир.

Yu. M. Seidov, A. M. Suleimanov

THE THEORY OF TWO-MAGNON ABSORPTION OF LIGHT IN THE SINGLET-TRIPLET ANTFERROMAGNETS

The two-magnon absorption of light in the singlet-triplet antiferromagnets is investigated. We used the multi-time Green function method. It elucidated the possibility of two-magnon absorption of light in the singlet-triplet antiferromagnets.

АЗЭРБАЙЧАН ССР ЕЛМЛӘР АКАДЕМИЈАСЫНЫҢ МӘРҮЗӘЛӘРИ

ДОКЛАДЫ АКАДЕМИИ НАУК АЗЕРБАЙДЖАНСКОЙ ССР

ТОМ XL ЧИЛД

№ 10

1984

УДК 547.261 543.391

ОРГАНИЧЕСКАЯ ХИМИЯ

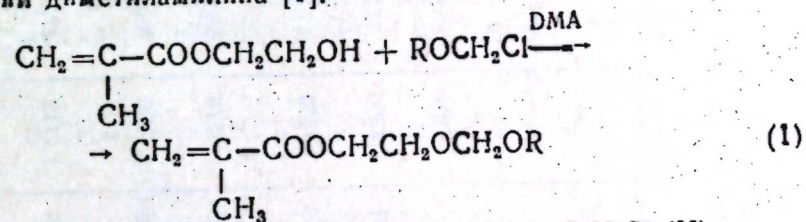
А. С. РЗАЕВ, Я. Д. ГАСЫМОВА, Р. К. АЛЕКПЕРОВ

СИНТЕЗ И ИССЛЕДОВАНИЕ НЕКОТОРЫХ ПРОИЗВОДНЫХ β -АЛКОКСИМЕТОКСИЭТИЛМЕТАКРИЛАТОВ

(Представлено академиком АН Азербайджанской ССР С. Д. Мехтиевым)

Литературные данные о свойствах эфиров метакриловых кислот относятся в основном к незамещенным алкиловым эфирам метакриловой кислоты. Что же касается аллоксиметоксизамещенных алкиловых эфиров метакриловой кислоты, то они почти не исследованы. Целью нашего исследования является синтез и изучение взаимного влияния кратной связи аллоксиметоксизамещенных групп в аллоксиметоксизамещенном метакрилате на реакционные свойства молекул в целом.

β -Аллоксиметоксизамещенные метакрилаты (I—VII) были получены взаимодействием α -хлорметилалкиловых эфиров с оксикалиметакрилатом в присутствии диметиламилина [1]:



R=CH₃ (I); C₂H₅ (II); C₆H₁₃ (III); C₃H₇ (IV); C₂H₄Cl (V); C₆H₁₁ (VI); COCH₂Cl (VII)

константы полученных соединений приведены в таблице.

Найдено, что, в отличие от алкилметакрилатов [2], этоксиметоксизамещенный метакрилат не вступает в реакцию со вторичными аминами ни по кратной связи, ни по карбоаллоксигруппе. По-видимому, это является следствием влияния метильной группы на реакционную способность молекулы в целом.

Изучено взаимодействие β -этоксиметоксизамещенного метакриловой кислоты с метиловым спиртом. Найдено, что независимо от температуры (20—40°) и времени (6—12 ч), в отличие от алкиловых эфиров метакриловой кислоты которые в аналогичных условиях образуют продукты присоединения [3], аллоксиметоксизамещенные метакрилаты в реакцию с указанным спиртом не вступают.

Следовательно, в данном случае накопление кислородных атомов в карбоэтоксиметоксизамещенной группе приводит к увеличению ее основности, в результате чего уменьшается реакционная способность кратной связи.

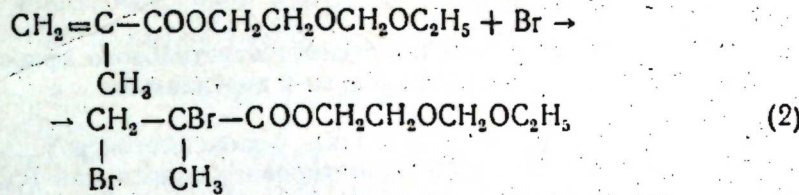
Бромированием этоксиметоксизамещенного метакрилата при низкой темпе-

Физико-химические константы β -алкоксиметоксиэтиловых эфиров метакриловой кислоты общего формулы $\text{C}_2\text{H}_5=\text{C}(\text{OOCCH}_2\text{CH}_2\text{OCH}_2\text{OR})$

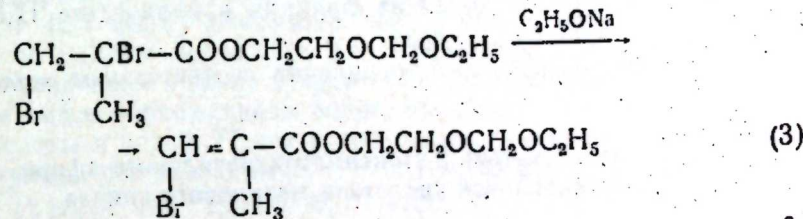
№ соедине- ния	<i>R</i>	T_c , кип., $^{\circ}\text{C}$ (<i>P</i> , мм)	Выход, %	d_4^{20}	n_D^{20}	$M R_D$		Найдено, %		Ф-ла	Вычислено, %
						найд.	выч.	С	Н		
II	C_2H_5	69(1)	76	0,9905	1,4242	48,45	48,72	57,70	8,82	$\text{C}_9\text{H}_{10}\text{O}_4$	57,44
III	C_3H_7	140(1)	78	0,9521	1,4380	67,27	66,75	63,66	9,62	$\text{C}_{13}\text{H}_{11}\text{O}_4$	63,93
IV	C_3H_5	100—101 (3)	80	1,0113	1,4450	52,63	52,88	60,32	8,21	$\text{C}_{10}\text{H}_{16}\text{O}_4$	60,00
V	$\text{C}_2\text{H}_5\text{Cl}^*$	126(1)	75	1,1393	1,4578	53,27	53,54	48,67	6,92	$\text{C}_9\text{H}_{15}\text{O}_4\text{Cl}$	48,54
VI	C_6H_5	163—164 (1)	71	1,0425	1,4720	65,00	65,26	64,71	9,22	$\text{C}_{13}\text{H}_{22}\text{O}_4$	64,46
VII	$\text{COCH}_2\text{Cl}^{**}$	130(1)	72	1,2280	1,4712	47,52	47,23	46,55	5,41	$\text{C}_8\text{H}_{11}\text{O}_4\text{Cl}$	46,49

Примечание. *—найдено С 1, %—16,11, выч. 15,9%; **—найдено Cl, %—17,21, выч. 17,19.

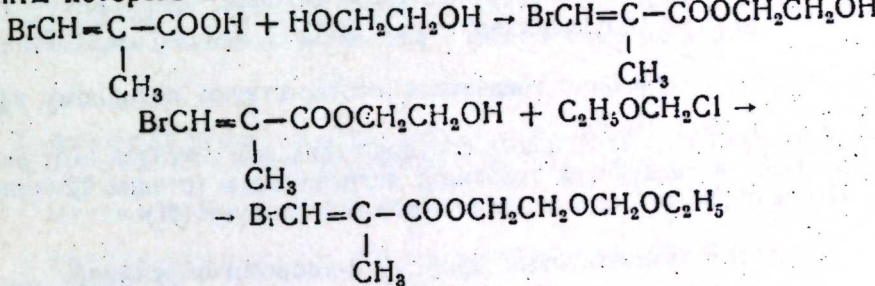
ратуре [4] был получен с высоким выходом β -этоксиметоксиэтиловый эфир 2,3-дигромизомасляной кислоты (VIII):



При действии метилатом натрия на (VIII) в условиях [5] получен *транс*- β -этоксиметоксиэтиловый эфир β -бромметакриловой кислоты (IX):



Для доказательства строения (IX) вначале была получена *транс*- β -бромметакриловая кислота, из которой затем синтезирована *транс*- β -оксиэтил- β -бромметакриловая кислота; взаимодействием последней с α -хлорметилэтиловым эфиром в условиях [1] получен эфир (IX), константы которого полностью совпали с данными продукта реакции (3):



ЭКСПЕРИМЕНТАЛЬНАЯ ЧАСТЬ

β -Метоксиметоксиэтиловый эфир метакриловой кислоты (1)

К раствору 13 г (0,1 моля) β -оксиэтилового эфира метакриловой кислоты и 12 г (0,1 моля) диметиланилина в 60 мл эфира при 5°C в токе азота по каплям прибавляли 8 г (0,1 моля) свежеперегнанного α -хлорметилметилового эфира, растворенного в 25 мл серного эфира. Перемешивание продолжали 3 ч при 30°C . После охлаждения реакционную массу промывали водой, 3%-ным раствором соляной кислоты и 3%-ным раствором углекислого калия. После сушки хлористым кальцием и отгонки эфира вакуумной разгонкой выделено 15,1 г 87%-ного эфира 1:1, кип. 78—79 °C (3 мм), d_4^{20} 1,0354, n_D^{20} 1,4354. $M R_D$ найд. 43,88, выч. 44,09.

Найдено, %: C 55, 23; H 8, 34. $\text{C}_8\text{H}_{14}\text{O}_4$.
Вычислено, %: C 55, 17; H 8, 04.

По аналогичной методике синтезированы β -алоксисиметоксиэтилловые эфиры метакриловой кислоты II—VII, константы которых приведены в таблице.

Взаимодействие β -этоксиметоксиэтилового эфира метакриловой кислоты и диэтиламина

К раствору 18,8 г (0,2 моля) β -этоксиметоксиэтилового эфира метакриловой кислоты в 50 мл метилового спирта при 0°C и перемешивании в течение 30 мин по каплям добавляли 7,3 г (0,1 моля) диэтиламина. После десятичасового перемешивания при комнатной температуре массу промывали водой и высушивали хлористым кальцием. Вакуумной разгонкой выделена фракция в количестве 17,5 г: т. кип. 69°C(1мм), d_4^{20} 0,9900 n_D^{20} 1,4235.

Константы выделенного соединения соответствуют исходному эфиру (II).

Взаимодействие β -этоксиметоксиэтилового эфира метакриловой кислоты и метилового спирта

а. Смесь 18,8 г (0,1 моля) II, 8 г (0,25 моля) метилового спирта, содержащего 0,3 метилата натрия, при комнатной температуре перемешивали в течение 6 ч. Затем добавляли 50 мл эфира. Реакционную массу промывали 5%-ным раствором углекислого натрия и высушивали безводным хлористым кальцием. После отгонки эфира вакуумной разгонкой выделено 17 г вещества: т. кип. 68°C (1 мм), d_4^{20} 0,9897, n_D^{20} 1,4240.

Константы полученного соединения соответствуют исходному эфиру (II).

б. При аналогичных мольных соотношениях компонентов этот опыт был проведен в следующих условиях: нагревание в течение 12 ч при 40°C. После обработки был выделен исходный продукт (II).

β -этоксиметоксиэтиловый эфир, а, β -дибромизомасляной кислоты (VIII)

К смеси 9,9 г (0,05 моля) β -этоксиметоксиэтилового эфира метакриловой кислоты и 50 мл хлороформа при —5°C по каплям добавляли 8 г (0,05 моля) брома в 20 мл хлороформа. Затем реакционную массу дважды промывали 3%-ным раствором углекислого натрия, сушили безводным хлористым кальцием. После отгонки хлороформа вакуумной разгонкой выделено 15,5 г (89%) VIII; т. кип. 132—133°C (2 мм), d_4^{20} 1,5711, n_D^{20} 1,4927. M_R найд. 64,34. выч. 64,03.

Найдено, %: C 31,19; 31,27; H 4,384, 69; Br 45,49; 45,68. $C_9H_{16}O_4Br_2$.

Вычислено, %: C 31,03; H 4,59; Br 45,98.

Транс- β -этоксиметоксиэтиловый эфир β -бром-метакриловой кислоты (IX)

а. К раствору 17,4 г (0,05 моля) VIII в 50 мл метилового спирта при температуре —5°C добавляли 30 мл метилового спирта, содержа-

щего 2,7 г метилата натрия. Перемешивание продолжали 20 мин. Затем добавляли 100 мл эфира. Из эфирного экстракта отгоняли эфир и метиловый спирт; вакуумной разгонкой выделено 12,4 г (93,5%) IX: т. кип. 119—120°C(1мм), d_4^{20} 1,3338, n_D^{20} 1,4720. M_R найд. 56,06, выч. 56,43.

Найдено, %: C 40,25; 30,39; H 5,42; 5,75; Br 29,77; 29,81. $C_9H_{15}O_4Br$.

Вычислено, %: C 40,44; H 5,61; Br 29,96. ИК-спектр, cm^{-1} : 1605 ($\text{CH}=\text{C}<$), 1765 ($\text{C}=\text{O}$), 1130, 1063 ($\text{O}-\text{C}-\text{O}$), 1080, 1190 ($\text{C}-\text{O}-\text{C}$).

б. К смеси, состоящей из 16,7 г (0,08 моля) транс- β -оксиэтил- β -бромметакрилата (полученного из β -бромметакрилата и этиленгликоля), 12,1 г (0,1 моля) диметиланилина в 50 мл эфира при 10°C в токе азота по каплям добавляли 9,4 г (0,1 моля) свежеперегнанного α -хлорметилэтилового эфира. Перемешивание продолжали 4 ч при 30°C. Затем смесь обрабатывали водой, промывали 5%-ным раствором соляной кислоты и водой. После сушки хлористым кальцием и отгонки эфира вакуумной разгонкой выделено 14,7 г (69%) соединения: т. кип. 119—120°C (1 мм), d_4^{20} 1,3255, n_D^{20} 1,4700.

Выводы

1. Впервые синтезированы 9 сложных эфиров и исследованы их физико-химические свойства.

2. Состав и структура синтезированных соединений доказаны микроразделительным методом анализа и физическими методами.

Литература

1. Мамедов Шамхал.—Изв. АзФАН ССР, 1943, №3, с. 20-28.
2. Винович М. К.—Bull. Soc. Chim., 1949, №3-4, p. 206.
3. Purdie T., Marsh W.—J. Chem. Soc., 1891, 59, 474.
4. Mislow B. K., Hellman H. M.—J. Amer. Chem. Soc., 1951, v. 73, I, p.244-246.
5. Вейганд-Хильгетаг. Методы эксперимента в органической химии.—М.: Химия, 1968, с. 99.

АПИ им. В. И. Ленина

Э. С. Рзайев, Я. Ч. Гасымова, Р. Г. Элекберов

β -АЛКОКСИМЕТОКСИЭТИЛМЕТАКРИЛАТЫН СИНТЕЗИ ВӘ БӘ'ЗИ ТӨРӘМӘЛӘРИНИН ТӘДГИГИ

Мәгаләдә β -алоксисиметоксиэтилметакрилатын синтези вә алоксисиметоксиэтилметакрилатда икигат работә илә алоксисиметоксиэтил группун бүтөвлүкдө молекулун кимҗәви хассасләринә тә'сирни өјрәнүлmişdir.

A. S. Rzayev, Ya. D. Kasymova, R. K. Alekperov

THE SYNTHESIS AND INVESTIGATION OF SOME DERIVATIVES OF β -ALCOXYMETHOXYETHYLACRYLATES

The aim of this investigation is the synthesis and the study of the multiple connection of alcoxymethoxyalkyl group in the alcoxymethoxymetacrylate and the research of the reactionary molecule properties in common.

НЕОРГАНИЧЕСКАЯ ХИМИЯ

Чл.-корр. АН АзССР ДЖ. И. ЗУЛЬФУГАРЛЫ, А. Б. АГАЕВ,
Р. А. АЗАДАЛИЕВ, У. Р. АЛИЕВА

**ПОЛУЧЕНИЕ И ИССЛЕДОВАНИЕ НЕКОТОРЫХ
ЭЛЕКТРОФИЗИЧЕСКИХ СВОЙСТВ ТВЕРДЫХ
РАСТВОРОВ СИСТЕМЫ CdTe—Gd₂Te₃**

В последние годы большое внимание уделяется изучению полупроводниковых соединений на основе редких и редкоземельных элементов.

Сесквителлуриды, относящиеся к теллуридам РЗЭ подгруппы иттрия, представляют собой тугоплавкие полупроводники с дефектной кристаллической решеткой типа Th₃P₄—Gd₂Te₃, например, при 65 К [1] является сверхпроводником с шириной запрещенной зоны $\Delta E = 0,74$ эВ [1], CdTe — перспективный фоточувствительный материал с высокой подвижностью носителей тока [3]:

$$\mu_e = 1.8 \cdot 10^3 \text{ см}^2/(\text{В.с.})$$

$$\mu_h = 600 \text{ см}^2/(\text{В.с.}),$$

CdTe — высокоомный полупроводник с шириной запрещенной зоны $\Delta E = 1,43 - 1,57$ эВ [2]. Поэтому изучение характера химического взаимодействия между сесквителлуридом гадолиния и теллуридом кадмия, а также некоторых электрофизических свойств сплавов из области твердых растворов имеет, наряду с практическим, несомненно, и научное значение.

Синтез сплавов системы CdTe — Gd₂Te₃ проводили из элементарных компонентов (Cd, Gd, Te) при 1150–1200°C. Образцы сплавов системы для дальнейшего исследования отжигались в течение 250 ч при температуре 950–1000°C — в зависимости от содержания компонента CdTe. Гомогенизация и равновесность сплавов контролировались методами РФА, МСА и измерением микротвердости [1–3].

МСА показал, что в системе на основе CdTe растворяется до 1,5 мол. % Gd₂Te₃. Судя по результатам физико-химического исследования, в системе CdTe—Gd₂Te₃ образуется инконгруэнтно плавящееся соединение состава CdGd₂Te₄ [3].

Для определения границ твердых растворов на основе CdTe синтезировали сплавы состава 0,5; 1,0; 1,5; 2,0 и 3,0 мол. % Gd₂Te₃. Эти сплавы отжигали в течение 200 ч при температурах 200, 600 и 800°C, затем с помощью методов физико-химического анализа определяли границы твердых растворов, которые при комнатной температуре простираются до 1,5 мол. % Gd₂Te₃.

Электропроводность и термоэдс измеряли на поликристаллических образцах потенциометрическим методом в интервале от комнатной температуры до 750 К.

Электропроводность (ζ) сплавов с ростом содержания в них Gd₂Te₃

до 0,7 мол. % повышается почти на 1 один порядок. С дальнейшим увеличением содержания второго компонента в CdTe значение электропроводности уменьшается. При этом коэффициент термоэдс сначала резко (более чем в 6 раз) уменьшается (от 580 мкВ/град для CdTe до 50 мкВ/град для сплава, содержащего 0,3 мол. % Gd₂Te₃), а затем возрастает до 300 мкВ/град для сплава, содержащего 1 мол. % Gd₂Te₃. Такое изменение электропроводности объясняется тем, что малые количества Cd играют роль акцепторной примеси в узлах кристаллической решетки CdTe, вызывая увеличение проводимости. Дальнейшее повышение концентрации Gd₂Te₃ в сплавах приводит к образованию твердых растворов замещения, с чем и связано последующее уменьшение электропроводности.

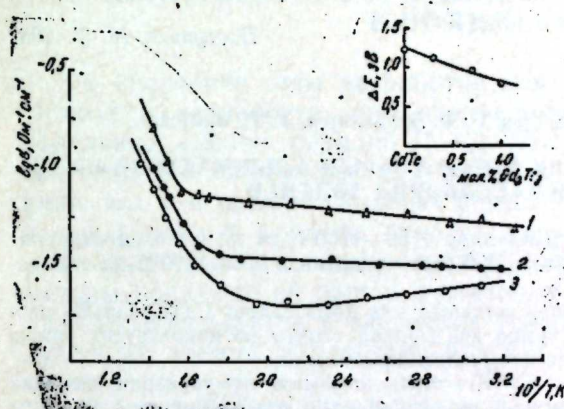


Рис. 1. Зависимость электропроводности от температуры:
1 — 0,1% Gd₂Te₃ — 99,9% CdTe;
2 — 0,05% Gd₂Te₃ — 99,95% CdTe;
3 — 0,07% Gd₂Te₃ — 99,93% CdTe

Измерение коэффициента термоэдс показывает, что в области максимума электропроводности термоэдс сначала уменьшается, а затем увеличивается. Максимумы кривых электропроводности соответствуют максимумам термоэдс. Такое изменение ζ и α обычно характерно

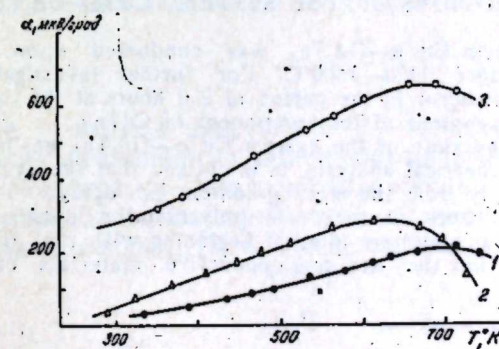


Рис. 2. Зависимость термоэдс от температуры:
1 — 0,1% Gd₂Te₃ — 99,9% CdTe;
2 — 0,05% Gd₂Te₃ — 99,95% CdTe;
3 — 0,07% Gd₂Te₃ — 99,93% CdTe

для твердых растворов. Тип проводимости CdTe и всех сплавов на его основе сохраняется электронным.

Температурная зависимость электропроводности сплавов (CdTe_{1-x}) (Cd₂Te₃)_x приводится на рис. 1. Как видно, электропроводность сплавов в зависимости от температуры увеличивается по экспоненциальному закону в области высоких T . Вычисленная энергия термической активации для этих сплавов по наклону зависимости $\lg \zeta \sim f(10^3/T)$

Меняется в интервале 1,37—0,88 эВ. Полученные значения отвечают области собственной проводимости. Значение ΔE уменьшается от 1,37 эВ для CdTe до ~0,90 эВ для сплава, содержащего 1 мол. % Cd₂Te₃.

Значение термоэдс в зависимости от температуры увеличивается, проходя через максимум, в районе 625—670 К, а затем падает (рис. 2). По-видимому, характер изменения a обусловлен подвижностью носителей тока.

Литература

1. Физические свойства халькогенидов редкоземельных элементов/Под ред. В. П. Жузе.—Л.: Наука, 1973.
2. Угай Я. А. Введение в химию полупроводников.—М.: Высшая школа, 1975.
3. Рустамов П. Г., Алиев О. М., Курбанов Т. Х. Тройные халькогениды редкоземельных элементов.—Баку: Элм, 1981.

АГУ им. С. М. Кирова

Поступило 18. V. 1982

Ч. И. Зулфугарлы, А. Б. Агаев, Р. Э. Азадалиев, У. Р. Элиева

CdTe—Gd₂Te₃ СИСТЕМИНДЭ БЭРК МӘҮЛУЛЛАРЫН АЛЫНМАСЫ ВӘ БӘ'ЗИ ЕЛЕКТРОФИЗИКИ ХАССЭЛЭРИН ТӘДГИГИ

CdTe—Gd₂Te₃ системиндэки бэрк мәүлүллар 1150—1200°C-дэ тэркиб элементләрин дән синтез едилмишdir. Алынаң нүүмүнэлэр 250 saat мүддэтинде 950—1000°C-дэ дәмлән маја гоуулмушdur.

Физики-химији анализин иетичэләри эсасында илк дәфә олараг CdTe—Gd₂Te₃ системин наал диаграммы гуруулмуш, системин квазибинар олдуғу вә инконгруент эријен CdGd₂Te₄ бирләшмәсиини эмэлә көлдиң мүэйянләшдирилмишdir.

Отаг температурудан башлајараг 750K-ә гәдәр алымыш нүүмүнэләрини електрик кечирицилији вә термо е. һ. г. өлчүлмүш вә нүүмүнэләрини *p*-тип јарымкечиричи олдуглары тә'јин едилмишdir.

Dj. I. Zulfugarly, A. B. Agayev, R. A. Azadaliyev, U. R. Aliyeva

THE RECEIVING AND INVESTIGATION OF SOME ELECTROPHYSICAL PROPERTIES OF THE SOLID SOLUTIONS OF THE SYSTEM CdTe—Gd₂Te₃

The synthesis of alloys of the system CdTe—Gd₂Te₃ was conducted upon the elementary components at the temperature 1150—1200°C. For further investigation specimens of alloys of the system were burnt in the period of 250 hours at the temperature 950—1000°C depending on the content of the component of CdTe.

For the first time the diagram of the state of the system CdTe—Gd₂Te₃ was built on the basis of the results of physico-chemical analysis. It is defined that the system is a solid-solution and is formed incongruently from the melting content CdGd₂Te₄.

Electroconductivity and thermo-emf were measured on polycrystalline specimens with the potentiometric method in the temperature interval beginning with the room temperature up to 750K. It is defined that they are semiconductive materials of *p*-type.

АЗӘРБАЙҖАН ССР ЕЛМЛӘР АКАДЕМИЈАСЫНЫН МӘРҮЗӘЛӘРІ

ДОКЛАДЫ АКАДЕМИИ НАУК АЗЕРБАЙДЖАНСКОЙ ССР

ТОМ XL ЧИЛД

№ 10

1984

УДК 541.124.7:542.943.8:678.048

ФИЗИЧЕСКАЯ ХИМИЯ

Чл.-корр. АН АзССР М. М. ГУСЕИНОВ, Э. Б. ЗЕИНАЛОВ,
Б. Ю. ТРИФЕЛЬ, В. А. КЕРИМОВА

О ПРИМЕНЕНИИ МОДЕЛЬНЫХ ЦЕПНЫХ РЕАКЦИЙ ДЛЯ КОЛИЧЕСТВЕННОГО АНАЛИЗА АНТИОКСИДАНТОВ В ПОЛИМЕРАХ

В последние годы разработан комплекс методов оценки антиокислительной активности ингибиторов-антиоксидантов с использованием модельных цепных реакций [1—3]. Эти методы позволяют определять кинетические характеристики антиоксидантов как в индивидуальном виде, так и в составе сложных композиций. Например, с помощью модельной цепной реакции удалось проанализировать антиоксиданты в ряде природных и синтетических композиций [4—7]. Однако указанные методы пока еще не нашли достаточно широкого применения для анализа антиоксидантов в заводских условиях, хотя по достоверности полученных данных и удобству эти методы заслуживают особого внимания.

В данной статье излагаются результаты количественного анализа антиоксидантов в бутилкаучуке (БК) производства Сумгантского завода синтетического каучука (СК). Анализ проводили с помощью модельной цепной реакции инициированного окисления кумола.

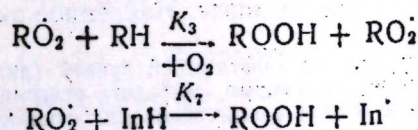
Легко показать, что если окисление кумола или другого углеводорода RH проводить в присутствии антиоксиданта [InH], то при условии обрыва всех цепей на ингибиторе выполняется соотношение [4].

$$\tau = \frac{f_n (\ln H)_0}{w_i}, \quad (1)$$

где τ —период индукции, f —коэффициент ингибирования, равный числу реакционных цепей, обрываемых одной ингибиторной группой ингибитора, n —число ингибирующих групп, w_i —скорость инициирования. Для ингибиранного окисления при малых степенях превращения, когда $[RH] \cong [RH]_0$, справедливо также выражение

$$\frac{\Delta(O_2)}{[RH]} = - \frac{K_3}{K_7} \ln(1 - t/\tau), \quad (2)$$

Здесь $\Delta(O_2)$ —количество поглощенного кислорода, RH —концентрация углеводорода, K_3 и K_7 —константы скорости соответственно продолжения и обрыва цепей:



Из уравнений (1) и (2) можно рассчитать концентрации ингибиторов-антиоксидантов $[InH]$ и соответствующие константы скорости ингибирования K_7 , л/(моль·с).

В качестве объекта исследования использовали БК промышленной марки «2545» с непредельностью $2,4 \pm 0,2\%$ и содержанием согласно паспорту $0,18\%$ ($8,2 \cdot 10^{-3}$ моль/кг) введенного антиоксиданта — неозона-Д (норма по ТУ 38003169-79 — $0,1—0,3\%$). Других ингибирующих добавок полимер не содержал. Действительно, анализ БК «2545», взятого в концентрации 5 г/л, при w_i окисления кумола $7,14 \cdot 10^{-8}$ моль/(л·с) и 60°C показал, что в анализируемом полимере содержится один вид ингибирующих центров.

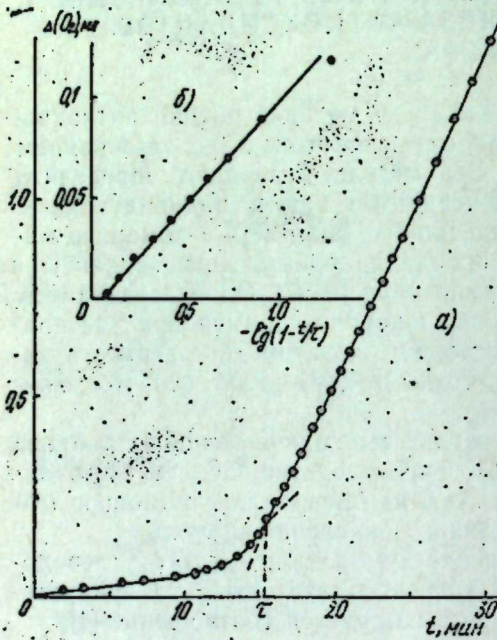


Рис. 1. Кинетическая кривая поглощения кислорода (а) и ее полулогарифмическая анаморфоза (б) в реакции инициированного окисления кумола в присутствии БК «2545», содержащего неозон-Д. $w = 7,14 \cdot 10^{-8}$ моль/(л·с), концентрация полимера $[БК] = 5$ г/л, объем реакционной смеси 10 мл, 60°C .

На рис. 1 представлены кинетическая кривая поглощения кислорода (а) в реакции инициированного окисления кумола в присутствии БК и ее полулогарифмическая анаморфоза (б).

Из рисунка видно, что анаморфоза представляет собой одну прямую линию без изломов, что свидетельствует о наличии в системе одного антиоксиданта [4, 7]. По тангенсу угла наклона прямой (рис. 1 б) и с использованием соотношений (1) и (2) находим $K_7 = (6,8 \pm 0,5) \cdot 10^4$ л/(моль·с) и по периоду индукции — t^* -величину, $f_n [InH] = (5,7 \pm 0,4) \cdot 10^{-5}$ моль/л. Полученное значение K_7 совпадает с имеющимися данными для неозона-Д [3, 4, 7]. Согласно этим же данным коэффициент ингибирования f для неозона-Д равен 2 ($n=1$). Отсюда концентрация ингибитора равна $[InH] = (2,85 \pm 0,2) \cdot 10^{-5}$ моль/л или, если рассчитать на полимер, $(5,7 \pm 0,4) \cdot 10^{-3}$ моль/кг, т. е. величина почти в 1,5 раза меньше указанной в паспорте. Найденное значение концентра-

* t^* определяется графически на кинетической кривой (рис. 1 а) как точка пересечения двух прямых: прямой, на которую «выходит» реакция после израсходования ингибитора, и касательной к кривой с тангенсом угла наклона, вдвое меньшее, чем у первой прямой [4].

ции неозона-Д совпадает в пределах ошибки эксперимента с результатами анализа той же партии полимера при других w_i и добавках БК. На рис. 2 представлены кинетические кривые поглощения кислорода при окислении кумола с добавками 0,5 (1), 2,5 (2), 15 г/л (3) БК «2545», содержащего неозон-Д. Полученные из периодов индукции t_1 , t_2 и t_3 (рис. 2) значения концентраций равны соответственно $[InH]_1 = (5 \pm 1) \cdot 10^{-3}$, $[InH]_2 = (5,9 \pm 0,6) \cdot 10^{-3}$ и $[InH]_3 = (5,8 \pm 0,4) \times 10^{-3}$ моль/кг. Таким образом, действительное количественное содержание неозона-Д в этой партии БК «2545» оказалось равной не $8,2 \cdot 10^{-3}$ моль/кг, а $[InH]_{ср} = (5,6 \pm 0,6) \cdot 10^{-3}$ моль/кг.

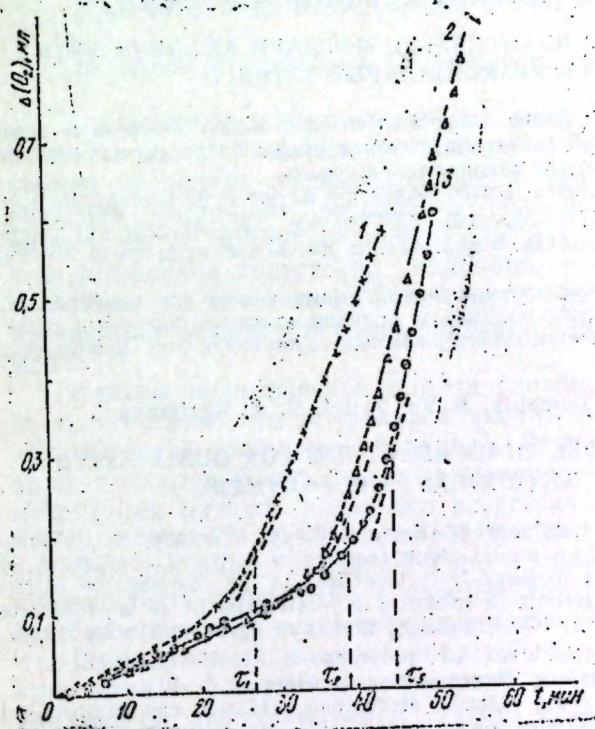


Рис. 2. Кинетические кривые поглощения кислорода в реакции инициированного окисления кумола с добавками 0,5 — 1 ($w_i = 3,4 \cdot 10^{-8}$), 2,5 — 2 ($w_i = 1,35 \cdot 10^{-8}$), 15 г/л — 3 ($w = 6,8 \cdot 10^{-8}$ моль/(л·с)) БК «2545», содержащего неозон-Д. 60°C .

Относительная ошибка в определении K_7 и концентрации антиоксиданта зависит от условий проведения эксперимента и, как правило, находится в пределах 3—10%. Методы, используемые в настоящее время в ЦЗЛ многих химических предприятий, имеют погрешность, достигающую 30%.

Таким образом, реакцию инициированного окисления кумола можно предложить как ускоренный метод определения концентрации и качественной характеристики — константы скорости ингибирования K_7 антиоксиданта неозона-Д в бутилкаучуке.

Авторы выражают благодарность д-ру хим. наук Г. П. Гладышеву и д-ру хим. наук В. Ф. Цепалову (ИХФ АН СССР, г. Москва) за ценные советы.

Литература

1. Эмануэль Н. М., Гладышев Г. П., Цепалов В. Ф., Пиотровский К. Б. — Деп. в ВИНТИ 25. IX 1973, № 6815-73.
2. Эмануэль Н. М., Гладышев Г. П., Цепалов В. Ф. — Деп. в ВИНТИ 25. IX 1973, № 6815-73.

шев Г. П., Денисов Е. Т., Цепалов В. Ф., Харитонов В. В., Пиотровский К. Б. Тестирование химических соединений как стабилизаторов полимерных материалов: ИХФ АН СССР.—Черноголовка, 1973. 3. Гладышев Г. П., Цепалов В. Ф.—Усп. хим., 1975, т. 44, с. 1830. 4. Цепалов В. Ф., Харитонова А. А., Гладышев Г. П., Эмануэль Н. М.—Кинетика и катализ, 1977, т. 18, с. 1261, 1395. 5. Цепалов В. Ф., Харитонова А. А., Зейналов Э. Б., Гладышев Г. П.—Азерб. хим. журн., 1981, № 4, с. 113. 6. Харитонова А. А., Козлова З. Г., Цепалов В. Ф., Гладышев Г. П., Ионг К. Д., Мис В. Дж.—Кинетика и катализ, 1980, т. 21, с. 1600. 7. Харитонова А. А. Канд. дис.—ИХФ АН СССР, 1979.

Институт хлорорганического синтеза
АН АзССР

Поступило 19. IV 1983

М. М. Гусейнов, Е. Б. Зеяналов, Б. І. Трифел, В. Э. Кәримова

ПОЛИМЕРЛӘРДӘ АНТИОКСИДАНТЛАРЫН МИГДАРИ АНАЛИЗИ ҮЧҮН ЗЭНЧИРВАРЫ РЕАКСИЈАЛАРЫН ТӘТБИГИ

Мәгәләдә инициаторла оксидләшмиш изопропилбензолун модел зәнчирвары реаксијасының көмөји илә Сумгајыт СК заводунда истеңсал единен бүтил каучукунун тәркибиндәки антиоксидантларын мигдари анализи верилмишdir.

Бу заман бир антиоксидант неозон-Д идентификация олунмуш вә көстөрilmишdir, полимерда онун мигдары $[InH] = (5,6 \pm 0,6) \cdot 10^{-3}$ мол/кг, инхибиторлуг сүр'этинин сабити исә $K_7 = (6,8 \pm 0,5) \cdot 10^4$ л/мол.сан. = дир. Анализ 20—30 дәг. мүддәттindә 3—10% дәгигликло апарылымышдыр.

Күмөнүл модел зәнчирвары оксидләшмә реаксијасының көмөји илә анализ үсүлүк завод лабораторияларында, мұхтәлиф полимер вә полимер композицијаларының тәркибидә олан антиоксидантларын кинетик ҳүсусијатларини та'жин етмок үчүн експрес-үсүл кими тәтбиг олупа биләр.

M. M. Guseinov, E. B. Zeinalov, B. Yu. Trifel, V. A. Kerimova

ON APPLICATION OF MODEL CHAIN REACTIONS FOR QUALITATIVE ANALYSIS OF ANTIOXIDANTS IN POLYMERS

The antioxidants involved in butyl rubber (Sumgait Plant of Synthetic Rubber) are quantitatively analyzed through a model chain reaction of initiated oxidation of isopropenylbenzene (cumene). The neozone-D is identified in the composition of butyl rubber. The qualitative characteristic of inhibitor is determined. It is the rate constant of inhibition $K_7 = (6,8 \pm 0,5) \cdot 10^4$ l/mol·sec, that is in agreement with literature data. The concentration of antioxidant in polymer is $[InH] = (5,6 \pm 0,6) \cdot 10^{-3}$ mol/kg. Analysis period is 20—30 min, determination accuracy is 3—10%.

Analysis method with model chain reaction of cumene oxidation can be proposed for the works laboratories for determination of quantitative and qualitative characteristics of antioxidants introduced into the composition of different polymers.

АЗЭРБАЙЧАН ССР ЕЛМЛӘР АКАДЕМИЈАСЫНЫН МӘРҮЗӘЛӘРИ

ДОКЛАДЫ АКАДЕМИИ НАУК АЗЕРБАЙДЖАНСКОЙ ССР

ТОМ XL ЧИЛД

№ 10

1984

УДК 541.127.001.572

ХИМИЧЕСКАЯ КИНЕТИКА

В. А. АБАСКУЛИЕВ, А. Г. АБИЛОВ, В. Н. ПИСАРЕНКО

ОБ ОДНОМ МЕТОДЕ НЕЛИНЕЙНОГО ОЦЕНИВАНИЯ ПАРАМЕТРОВ В ЗАДАЧАХ ХИМИЧЕСКОЙ КИНЕТИКИ

(Представлено академиком АН Азербайджанской ССР В. С. Алиевым)

В настоящее время наметилась тенденция использовать для описания кинетики химических реакций теоретические модели. Преимущества последних очевидны. Модели выводятся на основе глубокого изучения стадийного механизма реакции и потому имеют четкую теоретическую интерпретацию. Если механизм химических превращений установлен достаточно подробно, то теоретическая модель, построенная на его основе, позволяет прогнозировать закономерности протекания реакции в более широкой области, чем область эксперимента [1].

Однако теоретические модели сложны по структуре и нелинейны по параметрам, что приводит к значительным трудностям при решении обратной кинетической задачи. Разработанные методы, как правило, являются формальным применением к случаю нелинейной параметризации методов линейного регрессионного анализа. В то же время опыт многих исследователей свидетельствует о том, что проведение линеаризации, нелинейной по параметрам кинетической модели, должно быть обосновано в каждом конкретном случае [2], иначе могут быть получены неверные результаты.

Предлагаемый подход свободен от указанного недостатка и заключается в расчете апостериорной плотности распределения оценок параметров, представляемой в виде разложения по биортогональной системе полиномов Чебышева — Эрмита. С использованием апостериорной плотности распределения рассчитываются обобщенные оценки максимального правдоподобия и устанавливаются их совместные доверительные области.

Пусть в результате реализации плана $\epsilon(n)$ со спектром (x_1, x_2, \dots, x_n) получена выборка (y_1, y_2, \dots, y_n) , где y_i —вектор наблюдения в i -м опыте размерности k .

Предположим, что кинетическая модель, выведенная на основе механизма реакции, имеет вид

$$\frac{d\eta}{dt} = F(\eta, x, 0),$$

где x — q -мерный вектор управляемых переменных, 0 — p -мерный вектор параметров. Допустим также, что для каждого выборочного y_i ($i=1, n$) справедливы соотношения

$$M(y_i | x_i) = \eta_i, \quad y_i = f(x_i, 0) + \epsilon_i,$$

где $f(x_i, \theta) = \eta(\epsilon_0) + \int F(\eta, x_i, \theta) dt$, M — символ математического ожидания, ϵ_i — вектор ошибок i -го опыта, который считаем распределенным нормально с нулевым средним и неизвестной дисперсионно-ковариационной матрицей Σ .

Определим по экспериментальной выборке оценки максимального правдоподобия θ^+ и Σ^+ соответственно кинетических параметров и элементов Σ . Оценки максимального правдоподобия, как известно, определяются из условия

$$L(\theta^+, \Sigma^+) = \max_{\theta, \Sigma} L(\theta, \Sigma);$$

здесь $L(\theta, \Sigma)$ — функция правдоподобия выборки, имеющая в рассматриваемом случае вид

$$\begin{aligned} L(\theta, \Sigma) &= (2\pi)^{-kn/2} |\Sigma|^{-n/2} \exp \left(-\frac{1}{2} \sum_{u=1}^k \sum_{i=1}^n \sigma_u^{ui} \sum e_{iu} e_{ii} \right) = \\ &= (2\pi)^{-kn/2} |\Sigma|^{-n/2} \exp \left[-\frac{1}{2} \operatorname{Tr} (\Sigma^{-1} A(\theta)) \right], \end{aligned} \quad (1)$$

где $e_i(\theta) = y_i - f(x_i, \theta)$ — оценки ошибок наблюдений, $i = \overline{1, n}$, $A(\theta) = \sum_{u=1}^k e_u(\theta) e_u^T(\theta)$, $\Sigma^{-1} = [\sigma^{ui}]$ — матрица обратная Σ , Tr — след матрицы.

Очевидно, что определение максимума функции правдоподобия (1) эквивалентно минимизации критерия

$$S(\theta^+, \Sigma^+) = \min_{\theta, \Sigma} \operatorname{Tr} (\Sigma^{-1} A(\theta)).$$

Поэтому предполагается, что $\operatorname{Tr} (\Sigma^{-1} A(\theta))$ достаточно гладкая функция и величины θ^+ и Σ^+ , доставляющие ей минимум, могут быть определены численно. Тогда восстановление апостериорной (после реализации плана (n)) плотности распределения оценок вектора параметров осуществляется следующим образом.

Моделируется на ЭВМ, согласно плотности распределения $\Lambda(\theta, \Sigma^+)$, последовательность псевдослучайных величин $\{\epsilon_u\}$, $u = 1, 2, \dots$. Каждый y_u , являющийся реализацией вектора наблюдений y , определяется по соотношениям

$$y_u = f(x_i, \theta^+) + \epsilon_u, i = \overline{1, n}.$$

Выборочное значение вектора оценок θ_u^+ , соответствующее y_u , рассчитывается из условия

$$S(\theta_u^+) = \min_{\theta_u} \operatorname{Tr} [(\Sigma^+)^{-1} A(\theta_u)]. \quad (2)$$

Процедура расчета θ_u^+ повторяется многократно для получения выборки векторов оценок требуемого объема.

Неизвестная плотность распределения оценок, обозначаемая $P(\theta)$, аппроксимируется отрезком ряда по многочленам Чебышева—Эрмита:

$$P^+(\theta) = h(\theta - \theta^+) \sum_{m_1=0}^L \frac{C_{m_1, \dots, m_p}}{m_1! m_2! \dots m_p!} H_{m_1, \dots, m_p}(\theta - \theta^+),$$

где $h(\theta - \theta^+) = |D|^{1/2} \varphi(\theta - \theta^+) / (2\pi)^{p/2}$, $\varphi(\theta - \theta^+) = \exp \left\{ -\frac{1}{2} \sum_{i=1}^p d_{ii} \times \right. \right. \times (\theta_i - \theta_i^+) (\theta_j - \theta_j^+) \left. \right\}$, $D = \{d_{ij}\}$ — информационная матрица оценок,

C_{m_1, \dots, m_p} — неизвестные коэффициенты разложения, $P^+(\theta)$ — приближение к функции $P(\theta)$, $H_{m_1, \dots, m_p}(\theta - \theta^+)$ — прямая система полиномов Чебышева—Эрмита, определяемая как

$$H_{m_1, \dots, m_p}(\theta - \theta^+) = (-1)^{m_1+m_2+\dots+m_p} \varphi^{-1}(\theta - \theta^+) \frac{\partial^{m_1+m_2+\dots+m_p}}{\partial \theta_1^{m_1} \partial \theta_2^{m_2} \dots \partial \theta_p^{m_p}} \varphi(\theta - \theta^+).$$

Сопряженная система полиномов Чебышева—Эрмита представляется в виде

$$\begin{aligned} G_{m_1, \dots, m_p}(\theta - \theta^+) &= \\ &= (-1)^{m_1+m_2+\dots+m_p} \psi^{-1}(\theta - \theta^+) \frac{\partial^{m_1+m_2+\dots+m_p}}{\partial (\theta_1)^{m_1} \partial (\theta_2)^{m_2} \dots \partial (\theta_p)^{m_p}} \psi(\theta - \theta^+), \end{aligned}$$

где $\psi(\theta^* - \theta^+) = \exp \left\{ -\frac{1}{2} \sum_{i,j=1}^p d_{ij}^* (\theta_i^* - \theta_i^+) (\theta_j^* - \theta_j^+) \right\}$, d_{ij}^* — элементы ковариационной матрицы оценок, θ_i^* — переменная, связанная с θ линейным соотношением $\theta_i^* = \sum_{j=1}^p d_{ij} \theta_j$ ($i = \overline{1, p}$).

Система полиномов Чебышева—Эрмита $\{H_{m_1, \dots, m_p}, G_{m_1, \dots, m_p}\}$ является биортогональной с весом $h(\theta)$ в p -мерном пространстве R_p , т.е. выполняется

$$\begin{aligned} \int_{R_p} h(\theta) G_{m_1, \dots, m_p}(\theta) \cdot H_{m_1, \dots, m_p}(\theta) d\theta &= \\ &= m_1! \dots m_p! \delta_{1, m_1} \delta_{2, m_2} \dots \delta_{p, m_p}, \end{aligned} \quad (3)$$

где δ_{ij} — символ Кронекера, $\delta_{ij} = \begin{cases} 0 & i \neq j, \\ 1 & i = j. \end{cases}$

Из свойства (3) следует, что выбор коэффициентов разложения C_{m_1, \dots, m_p} в виде $C_{m_1, \dots, m_p} = \int G_{m_1, \dots, m_p}(\theta - \theta^+) P(\theta) d\theta$ обеспечивает минимум расхождения $P(\theta)$ и $P^+(\theta)$ в норме $L_2(h)$.

Для вычисления C_{m_1, \dots, m_p} используется метод Монте-Карло, так как

$$\begin{aligned} C_{m_1, \dots, m_p} &= M \{G_{m_1, \dots, m_p}(\theta - \theta^+)\} = \\ &= 1/N \sum_{u=1}^N G_{m_1, \dots, m_p}(\theta_u^* - \theta^+), \end{aligned} \quad (4)$$

где N — объем выборки векторов оценок θ_u^+ , $u = 1, 2, \dots, N$.

Итак, моделируя на ЭВМ очередную реализацию ϵ и рассчитывая путем минимизации критерия (2) выборочное значение вектора θ , по соотношениям (4) коэффициенты C_{m_1, \dots, m_p} уточняются. По выборке

θ_i^+ , $i = 1, 2, \dots$, оцениваются также стандартные отклонения коэффициентов разложения. Процедура уточнения продолжается до тех пор, пока C_{m_1, m_2, \dots, m_p} не удовлетворят заданной точности.

При известной $P^+(\theta)$ обобщенная оценка максимального правдоподобия определяется из условия

$$S(\theta) = \max_{\theta} P^+(\theta).$$

С высокой точностью рассчитываются также границы совместных доверительных областей. При заданном уровне значимости α имеем

$$Pr(\theta^{int} \in \Omega) = \int P^+(\theta) d\theta = 1 - \alpha.$$

$$\Omega = \{\theta \mid P^+(\theta) < \alpha\},$$

т.е. определяется вероятность, с которой ограниченная область параметрического пространства $\Omega \subset R_p$ накроет истиное значение вектора параметров θ^{int} .

Таким образом, в предложенном методе не вводится ограничений на степень нелинейности кинетической модели. В частном случае, если кинетическая модель линейна по параметрам, метод приводит к оценкам максимального правдоподобия.

Метод использовался при проведении параметрической идентификации нелинейной по параметрам кинетической модели реакции гидрирования ацетиленовых и олефиновых углеводородов и показал себя существенно более эффективным (в смысле точности и надежности полученных результатов) по сравнению с традиционными методами.

Литература

- Темкин И. М. — Кинетика и катализ, 1972, т. XIII, вып. 3, с. 555. 2. Налимов В. В. — Завод. лабор., 1978, т. 44, № 3, с. 325. 3. Сироджинов С. Х. — Тр./И-т математики и механики АН УзССР, 1949, вып. 5, с. 70.

ИНХП им. Ю. Г. Мамедалиева

Поступило 30. XI 1981

В. А. Абасгулиев, Э. И. Эбилов, В. Н. Писаренко

КИМЛӘВИ КИНЕТИКА МӘСӘЛӘЛӘРИНДӘ ПАРАМЕТРЛӘРИН ГЕЈРИ-ХӘТТИ ГИЛМӘТЛӘНДИРИЛМӘСИ МЕТОДУ ҺАГЫНЫДА

Мәгәләдә кимләви кинетика мәсәләләриндә гејри-хәтти параметрләри моделин параметрләrinин апостериор сыйлығынын пајланымасындан (АСП) бәйс олуулур. АСП Чеби-Ермит соңадлышындан дүзәлдилмиш сонсуз сыранын сонлу бир ниссәси илә апроксимасы олуулур.

Бурада АСП илә максимал охшарлығын үмумиләшdirilmәси тә'жин олуулур вә ишалмыш областлар мүәјжән едилүр.

V. A. Abaskuliyev, A. G. Abilov, V. N. Pysarenko

ON ONE METHOD OF NONLINEAR ESTIMATION OF PARAMETERS IN THE PROBLEMS OF CHEMICAL KINETICS

The method of reduction of the posterior distribution density (PDD) of the parameter estimates of a nonlinear parametrized model of chemical kinetics is proposed. The numerical algorithm of PDD approximation is performed by series of Chebyshev-Hermite polynomials.

The method allows us to calculate the generalized estimates of maximal likelihood and to specify confidence intervals with high precision, without linearization of a model.

АЗӘРБАЙЧАН ССР ЕЛМЛӘР АКАДЕМИЯСЫНЫН МӘРҮЗӘЛӘРИ

ДОКЛАДЫ АКАДЕМИИ НАУК АЗЕРБАЙДЖАНСКОЙ ССР

ТОМ XL ЧИЛД

№ 10

1984

УДК 547.127

ХИМИЯ НЕФТИ И НЕФТЕХИМИЧЕСКИЙ СИНТЕЗ

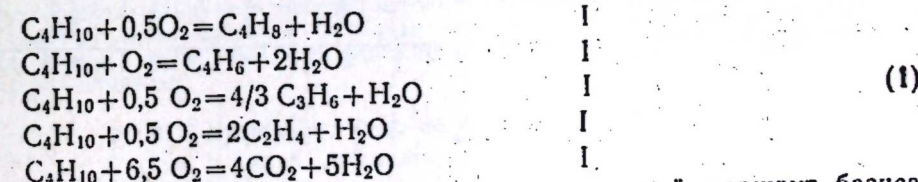
Р. М. ТАЛЫШИНСКИЙ, В. С. ГАДЖИ-КАСУМОВ, Р. Г. РИЗАЕВ,
А. А. АХУНДОВ, Э. М. ГУСЕЙНОВА

ИНВЕРСИЯ БАЗИСА ИТОГОВЫХ МАРШРУТОВ СЛОЖНЫХ ХИМИЧЕСКИХ РЕАКЦИЙ

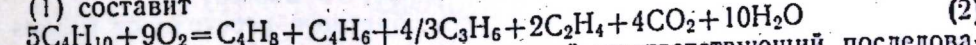
(Представлено академиком АН Азербайджанской ССР Т. Н. Шахтахтинским)

В [1—3] изложены основные представления и терминология, необходимые для изучения кинетики сложных химических процессов. Целью статьи является развитие методологии подбора кинетических моделей реакций с запутанным механизмом. Выбор удобного для управления процессом стехиометрического базиса может быть осуществлен путем стехиометрического анализа. Будем исходить из следующих положений. Любой стехиометрический базис можно свести к параллельным маршрутам превращения исходных веществ. Преобразование первоначального базиса в эквивалентный назовем его инверсией. Инверсия базиса осуществляется линейной комбинацией исходных итоговых уравнений или же соответствующим транспонированием [3] первоначальной матрицы стехиометрических коэффициентов этих уравнений. Определение оптимального (наиболее удобного и корректного для кинетического анализа управления) стехиометрического базиса является необходимым и существенным этапом при составлении любой кинетической модели многомаршрутной реакции и обеспечивает лучшую сходимость с опытными данными в предположении заданной стадийной схемы. Стехиометрические числа итоговых маршрутов, транспонирующие первоначальную матрицу в эквивалентную, называются инверсионными.

В качестве примера рассмотрим реакцию одностадийного окислительного дегидрирования *n*-бутиана в дивинил. Для описания процесса необходимо и достаточно 5 стехиометрических уравнений:



При стехиометрических числах ($v_i = 1$) суммарный маршрут базиса (1) составит



Базис стехиометрических уравнений, соответствующий последовательно-параллельному превращению *n*-бутиана на оксидном никельсодержащем катализаторе [4], описывается системой

$C_4H_{10} + 0,5 O_2 = C_4H_8 + H_2O$	5							
$C_4H_8 + 0,5 O_2 = C_4H_6 + H_2O$	4							
$C_4H_6 + O_2 = C_3H_6 + CO_2$	4/3							
$C_4H_6 + 2,5 O_2 = C_2H_4 + 2CO_2 + H_2O$	2							
$C_4H_6 + 5,5 O_2 = 4CO_2 + 3NO_2$	-1/3							

С использованием инверсионных чисел базиса (3) сложение стехиометрических уравнений приводит к суммарному маршруту (2), отвечающему базису (1). Инверсия базиса может быть представлена соответствующим транспонированием путем перемножения строк и постолбционным сложением произведений стехиометрических коэффициентов на инверсионные числа (табл. 1, 2).

Эквивалентность матриц (табл. 1, 2) определяется итоговой строкой

Таблица 1

Матрица стехиометрических коэффициентов базиса (1)

Маршрут	Стехиометрические коэффициенты, a_i								ϵ_j
	C_4H_{10}	C_4H_8	C_4H_6	C_3H_6	C_2H_4	CO_2	H_2O	O_2	
	1	2	3	4	5	6	7	8	
I	-1	1	0	0	0	0	1	-0,5	1
II	-1	0	1	0	0	0	2	-1	1
III	-1	0	0	4/3	0	0	1	-0,5	1
IV	-1	0	0	0	2	0	1	-0,5	1
V	-1	0	0	0	0	4	5	-6,5	1
Σ	-5	1	1	4/3	2	4	10	-9	

Таблица 2

Матрица стехиометрических коэффициентов базиса (2)

Маршрут	Стехиометрические коэффициенты, a_i								ϵ_j
	C_4H_{10}	C_4H_8	C_4H_6	C_3H_6	C_2H_4	CO_2	H_2O	O_2	
	1	2	3	4	5	6	7	8	
I	-1	1	0	0	0	0	1	-0,5	5
II	0	-1	1	0	0	0	1	-0,5	4
III	0	0	-1	1	0	1	0	-1	4/3
IV	0	0	-1	0	1	2	1	-2,5	2
V	0	0	-1	0	0	4	3	-5,5	-1,3
Σ	-5	1	1	1	4/3	2	4	10	-9

$$\Sigma = \sum_{j=1}^5 a_i \epsilon_j, \quad (4)$$

где a_i — стехиометрический коэффициент по i -му компоненту; ϵ_j — инверсионное (или стехиометрическое) число j -го маршрута.

Обратим внимание на возможность обратного перехода от базиса (1) к базису (3). Для этого стехиометрические числа маршрутов в базисе (1) следует заменить инверсионными числами, обеспечивающими переход к суммарному маршруту базиса (3), стехиометрические

числа которого для всех 5 маршрутов $\epsilon_j = 1$. Инверсионные числа базиса (1) и итоговая строка его в данном случае запишутся как

$$\begin{array}{ll} \epsilon_1 = 0; & -2: 3, 4; 1/2; 7/4 \\ \Sigma = -1; & 0; -2; 1; 7; 6; -10 \end{array}$$

Нетрудно показать, что инверсия базиса (1) параллельных маршрутов в базис последовательных превращений сводится к следующим инверсионным числам и стехиометрическим коэффициентам суммарного маршрута:

$$\begin{array}{ll} \epsilon_1 = 0; & 0; 0; 0; 1 \\ \Sigma = -1; & 0; 0; 0; 0; 4; 5; -6,5 \end{array}$$

Проведенный стехиометрический анализ может быть использован при постановке прямых и обратных [5] кинетических задач. По ходу кривых селективности задается гипотетический суммарный маршрут, являющийся как бы индикатором распознавания оптимального базиса.

Таким образом, инверсионные числа базиса отражают вклады частных реакций в суммарный маршрут и, следовательно, в определенной мере и статический закон селективности. Поскольку в зависимости от условий в пределах одного стадийного механизма выбор того или иного базиса может оказаться более или менее корректным, возникает проблема создания динамических кинетических моделей, включающих граничные условия инверсии.

Литература

1. Темкин М. И. — В сб.: Механизм и кинетика сложных катализитических реакций./Лекции, прочитанные на I симпозиуме IV Междунар. конгресса по катализу. М.: Наука, 1970, с. 57—72.
2. Снаговский Ю. С., Островский Г. М. — В кн.: Моделирование кинетики гетерогенных катализитических процессов. М.: Химия, 1976, с. 3—10.
3. Киперман С. Л. — В кн.: Основы химической кинетики в гетерогенном катализе. М.: Химия, 1979.
4. Гаджи-Касумов В. С., Ризаев Р. Г., Сейфуллаев Ж. М., Талышинский Р. М., Агаев Ф. М. — Тр. V конф. по окислительному гетерогенному катализу. Баку, 1981, т. I, с. 265.
5. Спивак С. И., Ахмадишин З. Ш., Шмалев А. С. — В кн.: Мат-лы 3-й Всесоюз. конф. по кинетике гетерогенных катализитических реакций. Калинин, 1980, т. 2, с. 384—388.

Поступило 16. V 1983

ИИХП им. Ю. Г. Мамедалиева
Р. М. Талышинский, В. С. Иачыгасымов, Р. Г. Ризаев, А. А. Ахундов, Е. М. Гусейнова

МУРЭККЕБ КИМЈЕВИ РЕАКСИЈАЛАРЫН МАРШРУТЛАРЫ ЧЭМИ БАЗИСИННИН ИНВЕРСИЯСЫ

Мәгәләдә долашыг механизмли мүрәккеб стасионар кимјеви реаксијаларын оптимал кинетик моделләrinин сечилмөснин методология чөнгөләрниң бөлөс олунур.

Маршрутларын эффектив базисинин онун инверсијасынын көмөји илэ сечилмәсүсүлү тәклиф едилүр. EhM үчүн инверсия алгоритми јарадылмасынын принципчә мүмкүлүүжү көстөрилүр.

R. M. Talyshinsky, V. S. Gadzhi-Kasumov, R. G. Rizayev,
A. A. Akhundov, E. M. Guseinova

INVERSION OF TOTAL ROUTES BASIS FOR COMPLEX CHEMICAL REACTIONS

Methodological aspects of selection of optimal kinetic models for complex stationary chemical reactions with knotty mechanism are discussed.

The method of effective route basis selection by means of its inversion is proposed. Fundamental possibility of inversion algorithm creation for a computer is revealed.

КРИСТАЛЛОГРАФИЯ

Г. Г. ГУСЕНКОВ, А. С. АМИРОВ, И. Р. АМИРАСЛАНОВ,
чл.-корр. АН АзССР Х. С. МАМЕДОВ

КРИСТАЛЛИЧЕСКАЯ СТРУКТУРА CuSmS_2

Существование фазы состава CuLX_2 установлено при изучении системы $\text{Cu}_2\text{X}-\text{L}_2\text{X}_3$ (где $\text{X}=\text{S}, \text{Se}$, $\text{L}=\text{от La до Tb}$) [1]. В работе [2], наряду с описанием образующихся соединений этой системы, приведены также параметры кристаллической решетки моноклинной фазы CuSmS_2 , а именно: $a=6,39$, $b=6,79$, $c=7,10 \text{ \AA}$, $\beta=98,17^\circ$, $P2_1/b$, $z=4$. В работе же [3] для данной фазы с почти совпадающими параметрами решетки методом химического анализа установлена формула Cu_3SmS_3 . Настоящая статья посвящена прямой расшифровке кристаллической структуры Cu_3SmS_3 и выяснению этих противоречий.

Монокристаллы для структурного анализа выращены методом XTP из поликристаллического Cu_3SmS_3 [3]. Исследуемые кристаллы—вишневого цвета, без выраженного габитуса. Параметры моноклинной ячейки определены предварительно фотометрическим методом и уточнены на автодифрактометре «Синтекс Р2₁» (MoK_{α} -излучение, графитовый монохроматор). Параметры моноклинной решетки следующие: $a=6,496$ (33), $b=7,133$ (23), $c=6,799$ (23) \AA , $\beta=98,31^\circ$. Ф. гр. $P2_1/C$, $z=4$, $d=4,64 \text{ г}/\text{см}^3$, $V=311,51$ (21) \AA^3 . Структура решена на основе 1216 независимых ненулевых отражений, окончательный R -фактор при анизотропном уточнении без поправки на поглощение составляет 0,082 ($R=8.2\%$). Все расчеты выполнены на мини-ЭВМ «Нова-1200» по программе XTL, которой снабжена система «Синтекс Р2₁».

Анализом трехмерного паттерсона на первом этапе были зафиксированы координаты тяжелого Sm, расчет электронной плотности на основе этих координат выявил позицию одного Cu и двух S. Уточнение координат базисных атомов приведено в таблице.

Координаты независимых атомов в структуре*

Атомы	<i>x</i>	<i>y</i>	<i>z</i>
Sm	0,1931 (29)	0,4486 (23)	0,3027 (24)
Cu	0,4119 (38)	0,8442 (73)	0,4377 (80)
S ₁	0,0767 (142)	0,7274 (110)	-0,0006 (112)
S ₂	0,4093 (137)	0,1149 (103)	0,2172 (110)

Примечание.* —анизотропные тепловые параметры находятся у авторов.

Таким образом, все призматические и тетраэдрические пустоты, образованные атомами серы, регулярно заполнены соответственно атомами Sm и Cu. Этот факт доказывает, что состав монокристаллов, выра-

щенных из поликристаллического состава Cu_3SmS_3 , в работе [3] дай неправильно и он отвечает стехиометрии CuSmS_2 в соответствии с работой [2].

Основные межатомные расстояния в структуре следующие:

Sm-семивершинник

Sm—S ₁	= 2,886 (8)
—S _{1'}	= 2,838 (9)
—S _{1''}	= 2,798 (8)
—S _{1'''}	= 2,827 (8)
—S ₂	= 2,868 (8)
—S _{2'}	= 2,859 (9)
—S _{2''}	= 2,997 (8)

Cu-тетраэдр

Cu—S _{1'}	= 2,333 (11)
—S ₂	= 2,443 (9)
—S _{2'}	= 2,341 (10)
—S _{2''}	= 2,479 (9)

На рис. 1 а, б и 2 приведены соответствующие проекции кристаллической структуры CuSmS_2 .

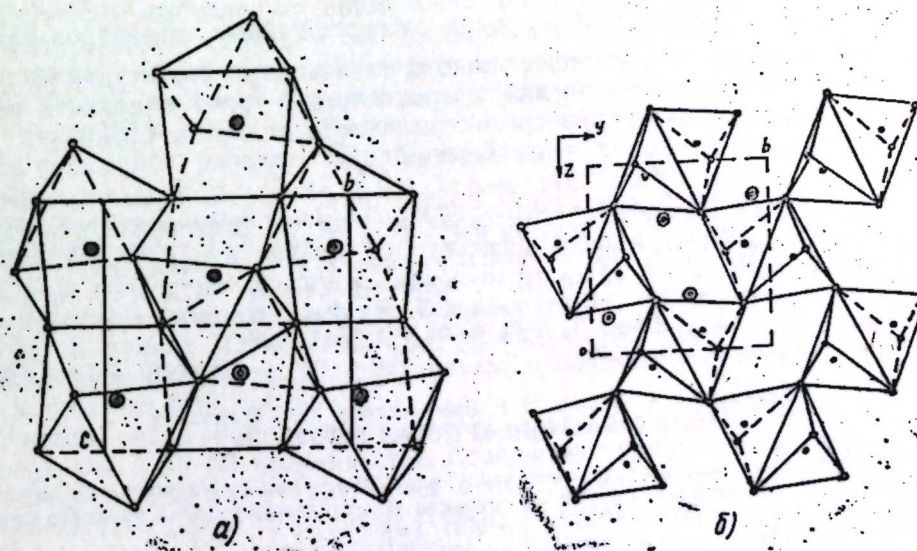


Рис. 1.
а — слой из семивершинников самария; б — сетка из димеризованных купрохалькогенидных тетраэдров в структуре CuSmS_2

Наиболее наглядным элементом структуры CuSmS_2 является сетка, состоященная из димеризованных по ребру купрохалькогенидных тетраэдров (рис. 1б). Подобные двусторонние сетки с плоской группой Pgg чередуются в структуре перпендикулярно к оси *a* (рис. 2). Между этими сетками формируется слой из семивершинников атомов самария (рис. 1а). Связанные между собой общими ребрами эти полиэдры имеют форму искаженной одношапочкой тригональной призмы, которая довольно часто встречается для РЭЭ. Хотя и не столь часто, как внутрь слоя, имеются также общие ребра и между полиэдрами трансляционно идентичных слоев семивершинников. Таким образом, сетки купрохалькогенидных тетраэдров как бы чередуются в трехмерной

матрице из полиэдров РЗЭ. Простота химического состава в данном случае обусловлена комплементарностью сетки и слоя в пределах двумерной электронной ячейки с малыми параметрами.

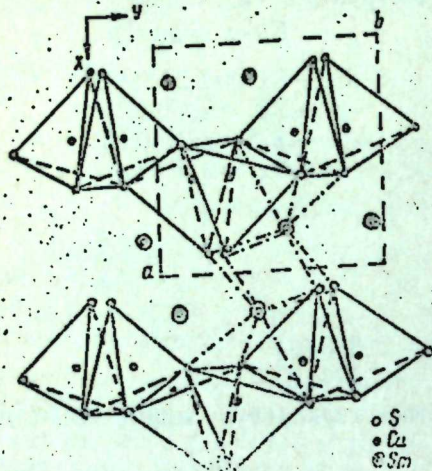


Рис. 2. План структуры CuSmS₂

Расстояние между атомами меди димеризованных тетраэдров равно 2,586 Å, что и наблюдается обычно в аналогичных структурах [4, 5]. Представляют теоретический и практический интерес области существования этой структуры среди химических аналогов CuSmS₂.

Литература

1. *Jullen-Pouzol M., Guittard M., Adolphe C.* — *C. R. Acad. Sci. Paris*, 1968, t. 267, serie C, 823. 2. *Jullen-Pouzol M., Guittard M.* — *Ann. Chim.*, 1972, t. 7, p. 253. 3. *Алиев У. М., Гамидов Р. С., Гусейнов Г. Г.* — *Изв. АН СССР. Неорганич. мат-лы*, 1972, т. VIII, № 10. 4. *Гусейнов Г. Г., Мамедов Х. С., Мусаев Ф. Н., Амираланов И. Р.* Структур. химия, 1979, т. 20, № 1, с. 89–95. 5. *Усубалиев Б. Т., Мозсумов Э. М., Амираланов И. Р., Мамедов Х. С.* — *Докл. АН АзССР*, 1980, т. XXXVI, № 4, с. 40.

Институт физики АН АзССР

Поступило 8. II. 1982

Г. Г. Гусейнов, А. С. Эмиров, И. Р. Амираланов, Х. С. Мамедов
CuSmS₂-НИН КРИСТАЛ ГУРУЛУШУ

Мэгальдэ рентгенструктур тэдгигат үсүүл илэ CuSmS₂-нин гурулушу ёрзийлмийшдир. Моноклини сингонијанын P2₁/C фээза групууда кристаллашан гэфэсийн параметрлэрийн: $a=6,496$, $b=7,133$, $c=6,799$ Å, $\beta=98,31$, $z=4$.

Муужийн ёдилмишдир ки, мис атомлары S атомларындан тэшкүл олунараг димерлэшийн тетраэдрлэрийн мэркээлэрийнде јерлэшир. Димерлэшийн купросулфид тетраэдрлэрийнээндэй ибэрэ шэбэклээр арасында координација эдээд 7 олан Sm атомлары јерлэшишдир. 1216 рефлексынчын R-фактор 0,082-дир.

G. G. Guseinov, A. S. Amirov, I. R. Amiralsanov, Kh. S. Mamedov

CRYSTAL STRUCTURE OF CuSmS₂

The crystal structure of CuSmS₂ was determined. The given compound crystallizes in monoclinic syngony. The cell constants are $a=6.496$ (33), $b=7.133$ (23), $c=6.799$ (23) Å, $\beta=98.31$, P 2₁/C.

The copper atoms are situated in the centres of dimerized tetrahedron consisted of atoms of S. The atoms of Sm are arranged between networks containing the dimerized copper-sulfide tetrahedrons. The coordination number is equal to 7. Final R-factor for 1216 reflections is 0.082.

АЗЭРБАЙЧАН ССР ЕЛМЛЭР АКАДЕМИЯСЫНЫН МЭРҮЗЭЛЭРЙ

ДОКЛАДЫ АКАДЕМИИ НАУК АЗЕРБАЙДЖАНСКОЙ ССР

ТОМ XL ЧИЛД

№ 10

1984

УДК 631.41:631.811+631.452

АГРОХИМИЯ

Чл.-кофр. АН АзССР А. Н. ГЮЛЬХМЕДӨВ, Н. А. АГАЕВ, А. М. АЗИМОВ

РАСПРОСТРАНЕНИЕ ЦИНКА В ПОЧВАХ ПОДГОРНОЙ РАВНИНЫ КАРАБАХСКОЙ СТЕПИ АЗЕРБАЙДЖАНСКОЙ ССР

Эффективность применяемых в сельском хозяйстве микроэлементов определяется, наряду с уровнем агротехники, также физиологическими особенностями возделываемых сельскохозяйственных культур и содержанием подвижных форм микроэлементов в почвах.

Хорошего эффекта от применения микроэлементов можно ожидать только в том случае, если имеющиеся в почве запасы того или иного из них не могут удовлетворить потребность растений в критический период их роста и развития. Исходя из этого нами в течение пяти лет (1978–1982) изучалось содержание подвижного цинка в почвах подгорной равнины Карабахской степи в пределах Агдамского района.

Цинк присутствует во всех почвах. Его количество зависит от характера материнских пород, от содержания органического вещества, структуры почвы, pH и других показателей. По А. П. Виноградову [1], в среднем цинка в почвах земного шара содержится около $5 \cdot 10^{-3}\%$. В почвах Латвийской ССР [4] количество подвижного цинка колеблется от следов до 26 мг/кг почвы, в почвах Украинской ССР [3] — в пределах $0,13 \cdot 10^{-3}\%$.

Запасы цинка в различных почвах хлопководческой зоны Азербайджанской ССР [2] неодинаковы. Содержание цинка широко варьирует как по почвенным типам, так и по отдельным разностям почв. Средние запасы цинка составляют $0,45 \cdot 10^{-3}$ — $6,8 \cdot 10^{-3}\%$.

Н. А. Агаев [5] отмечает разную обеспеченность горно-луговых почв микроэлементами. Нами анализировались горно-лесные коричневые, горные серо-коричневые, горно-каштановые, коричневые, каштановые, лугово-каштановые, луговые почвы, т. е. изучением были охвачены основные, наиболее распространенные почвенные комплексы Агдамского района.

Содержание подвижного цинка в почвах определяли в ацетатно-аммонийной буферной вытяжке с pH 4,8. Конечное определение цинка проводили дитизиновым методом.

В большинстве почв Агдамского района содержание подвижного цинка намного меньше. Так, более чем на 70% площади количество подвижного цинка в почвах колеблется от 0,01 до 3,5 мг/кг. На основании результатов массовых анализов почвы подгорной равнины Карабахской степи по обеспеченности цинком объединены наами в три группы (очень низкая, низкая и средняя), которые и легли в основу составления картограмм (таблица).

Как видно из таблицы, в первую группу входят почвы, очень низко обеспеченные цинком ($0,01-1,3$ мг/кг), во вторую — почвы, содержащие подвижного цинка в пределах $1,3-3,5$ мг/кг. Это низко обеспеченная почвами подгорной равнины Карабахской степи Азербайджанской ССР по содержанию подвижного цинка.

Группы	Содержание цинка, мг/кг		Степень обеспеченности почвы, мг/кг	Почвы
	Пределы колебаний	Среднее		
I	0,01—1,3	0,98	Очень низкая	Горно-коричневые послесные маломощные; горные серо-коричневые маломощные; горно-серо-коричневые неполноразвитые; горно-каштановые маломощные; горно-каштановые неполноразвитые; горно-каштановые окультуренные маломощные; каштановые маломощные; горные серо-коричневые среднемощные; горно-каштановые солонцеватые; горно-каштановые перегнойно-сульфатные (гажевые); каштановые орошающие маломощные; каштановые неполноразвитые; обыкновенные серо-коричневые солонцеватые давноорошающиеся; светло-каштановые давноорошающиеся солонцеватые
II	1,3—3,5	2,76	Низкая	Горно-лесные коричневые карбонатные; горно-коричневые послесные среднемощные; горные серо-коричневые слитые; горно-каштановые окультуренные слитые; горно-каштановые гипсонасные; горно-каштановые окультуренные среднемощные; коричневые светлые; каштановые среднемощные; каштановые орошающие среднемощные; лугово-каштановые давноорошающиеся слитые; луговые среднегумусные давноорошающиеся
III	3,5—5,8	5,22	Средняя	Горно-лесные коричневые типичные; горно-коричневые послесные мощные; горно-коричневые послесные окультуренные; горные серо-коричневые мощные; горные серо-коричневые окультуренные; горно-каштановые мощные; горно-каштановые окультуренные мощные; лугово-коричневые каштановые мощные; каштановые гипсонасные; каштановые орошающие мощные; каштановые давноорошающиеся солонцеватые; каштановые давноорошающиеся солонцеватые; лугово-каштановые давноорошающиеся; лугово-каштановые давноорошающиеся среднемощные.
IV	—	—	—	Не пригодные к использованию земли

печеные подвижным цинком почвы. Наконец, третью группу составляют почвы, средне обеспеченные подвижным цинком — от 3,5 до 5,8 мг/кг.

Таким образом, большинство почвенных разностей подгорной равнины Карабахской степи в пределах Агдамского района отличается невысоким содержанием подвижного цинка — в пределах $0,01-5,8$ мг/кг. С целью создания благоприятных условий питания сельскохозяйственных культур в этом районе, поднятия уровня плодородия почв и получения высокого стабильного урожая сельскохозяйственных культур необходимо дифференцированное применение микроудобрений наряду с другими мероприятиями в системе химизации земледелия.

Література

1. Виноградов А. П. Геохимия редких и рассеянных элементов в почвах. — М.: Изд-во АН ССР, 1950.
2. Гюльахмедов А. Н. Микроэлементы в почвах зоны хлопководства Азербайджана и эффективность их применения под хлопчатник. — Баку, 1961.
3. Власюк П. А. Содержание подвижных форм микроэлементов цинка, бора, кобальта и меди в почвах Украинской ССР. — В сб.: Микроэлементы в сельском хозяйстве и медицине. Рига, 1956.
4. Пейве Я. В. Содержание микроэлементов (В, Си, Zn, Mn, Co, Mo) в почвах ССР и эффективность применения микроудобрений: Докл. сов. почвоведов к VII Междунар. конгрессу в США. — М.: Изд-во АН ССР, 1960.
5. Агаев Н. А. Содержание микроэлементов в профиле горно-луговых почв северо-восточного склона Большого Кавказа. — Изв. АН АзССР. Сер. биол. наук, 1981, № 1, с. 28—31.

Институт почвоведения и агрохимии
АН АзССР

Поступило 6. III. 1953

Э. Н. Күләһмәдов, Н. А. Агаев, А. М. Эзимов

АЗӘРБАЙЧАН ССР ГАРАБАҒ ДҮЗҮ ДАҒӘТӘЈИ-ТОРПАГЛАРЫНДА СИНКИН ЖАЙЫЛМАСЫ

Мәгәләдә 1978—1982-чи илләрдә Гарабағ дүзү дагатеји һиссәсендә јерләшән Агдам району торпагларында синк микроэлементтинин мүтәһәрrik формасы өјрәнүлмисdir. Анарымыш анализатор иәтичесинде, рајону торпаглары синккын мигдарына көрә үч група белүнүр:

- I. Тәркибинде эн аз мигдарда ($0,01-1,3$ мг/кг) синк олан торпаглар;
- II. Тәркибинде аз мигдарда ($1,3-3,5$ мг/кг) синк олаи торпаглар;
- III. Тәркибинде орта мигдарда ($3,5-5,8$ мг/кг) синк олан торпаглар.

A. N. Gulakhmedov, N. A. Agaev, A. M. Azimov

THE SPREAD OF ZINK IN FOOTHILL PART SOILS OF KARABAG PLAIN OF THE AZERBAIJAN SSR

The mobile form of zink was studied in foothill part soils of Karabag plain of the Azerbaijan SSR in 1978—1982. Analysis was carried out. According to the quantity of zink, the soils of the region are divided into: 1. the soils with very little quantity of zink ($0,01-1,3$ mg/kg); 2. the soils with little quantity of zink ($1,3-3,5$ mg/kg); 3. the soil with middle quantity of zink ($3,5-5,8$ mg/kg).

Г. Г. ГУСЕЙНОВ

МОДУЛЬ ДРЕНАЖНОГО СТОКА В УСЛОВИЯХ
ЛЕНКОРАНСКОЙ МУГАНИ

(Представлено академиком АН Азербайджанской ССР В. Р. Волобуевым)

Одним из критериев оценки эффективности влияния дренажной сети на минерализованные грунтовые воды является величина дренажного стока, обуславливающего эффект солеудаления [1, 3, 4, 7—10]. Модуль дренажного стока имеет большое значение при определении междренажного расстояния, пропускной способности, гидротехнических параметров коллекторов.

Отечественный опыт по эксплуатации дренажа засоленных земель показывает, что модуль дренажного стока является величиной, переменной во времени, и испытывает влияние почвенно-климатических и хозяйственных факторов рассматриваемого объекта. В зависимости от сочетания и действия этих факторов (поливной нормы и продолжительности поливов; уровня грунтовых вод; наличия питания грунтовых вод подземными напорными водами; характера растительного покрова; суммарного испарения и др.) он изменяется во времени и пространстве.

Для определения модуля дренажного стока в литературе приводится ряд эмпирических формул [1, 2, 8], широко используемых в практике проектирования и строительства дренажа.

Описаны в литературе и косвенные методы определения модуля дренажного стока в зависимости от коэффициента полезного действия оросительной системы [11].

Практика показывает, что наиболее точное значение модуля дренажного стока можно получить, основываясь на непосредственных наблюдениях, которые позволяют установить роль отдельных факторов, на него влияющих. Такой же метод использован нами при определении модуля дренажного стока в условиях ленкоранской Мугани, где дренажную сеть только начинают строить и потому исследование дренажного стока не проводилось. Для южной Мугани (соседнего массива) модуль дренажного стока определен в [5]. По данным автора, в условиях южной Мугани максимальный пятидневный показатель модуля дренажного стока не превышал 0,105 л/с с 1 га, а среднемесячный — 0,09 л/с с 1 га.

Модуль дренажного стока исследовался нами на участке кормового севооборота, расположенным в северо-восточной части Джалилабадского района на территории совхоза им. 40 лет Азербайджана. Площадь участка, орошаемого из канала им. Азизбекова (31 га) в 1976—1978 г. находилась под люцерной и в 1979 г. под кукурузой.

На участке построены открытые горизонтальные дрены и коллектор. Глубина открытых дрен 3,0 м, междренажные расстояния — 300 м,

длина дренажа — 1000 м, глубина коллектора — 3,5 м. В конце 1975 г. перед началом опытных работ дрены были очищены. Дрены и коллектор работают нормально, и сток по ним хороший.

По рельефу опытный участок неровный, имеются отдельные повышения и понижения, разница между ними — 5—30 см. Общий уклон местности — в пределах 0,004—0,005. Почвы — лугово-коричневые, сформированы главным образом на суглинистых и глинистых делювиальных наносах. Коэффициент фильтрации 1,0—3,0 м/сут, коэффициент впитывания для первого и второго часа — 1,62·10⁻³ и 0,83·10⁻³ м.

Наблюдения за дренажным стоком велись с помощью водосливов типа Чиполетти (ширина порога 75 см), установленных в устье дрен. Колебания горизонтов воды у их порогов регистрировались в период поливов дважды в день (в 9 и 18 ч) и один раз в день в остальное время года — при последующем фиксировании условий работы водосливов (затопленность или незатопленность).

В последующем по полученным данным произведено вычисление расходов дрен по формуле.

$$Q = c \cdot m \cdot b \cdot H^{1/2}$$

где C — расход, л/с, H — действующий напор над порогом водослива, м, b — ширина порога водослива, м, c — коэффициент, учитывающий затопление водослива, m — коэффициент расхода.

Среднемесячные, среднегодовые и среднесезонные значения модуля дренажного стока для опытного участка приведены в таблице.

Модуль дренажного стока, л/с с 1 га.

Месяцы	годы			
	1976	1977	1978	1979
I	—	0,09	0,08	0,07
II	—	0,08	0,07	0,08
III	—	0,09	0,06	0,07
IV	0,08	0,08	0,06	0,12
V	0,14	0,13	0,11	0,08
VI	0,13	0,12	0,10	0,11
VII	0,11	0,12	0,12	0,12
VIII	0,14	0,08	0,12	0,09
IX	0,10	0,11	0,10	0,08
X	0,09	0,09	0,09	0,07
XI	0,08	0,07	0,08	0,07
XII	0,09	0,07	0,07	0,07
Среднегодовой	0,11	0,09	0,09	0,09
Весна	0,11	0,10	0,08	0,10
Лето	0,13	0,11	0,11	0,08
Осень	0,09	0,09	0,09	0,07
Зима	0,09	0,08	0,07	0,07

Как видно, по отдельным дренам они формируются в основном под влиянием вегетационных поливов и значительно варьируют во времени. Наиболее высокие значения модуля дренажного стока отмечаются в период весенно-летних вегетационных поливов. В 1976 г. суточные, пятидневные и месячные максимумы модуля дренажного стока составляли соответственно 0,18; 0,16—0,15 и 0,12 л/с с 1 га.

Снижение их происходит с прекращением вегетационных поливов на опытном участке, когда суточные, пятидневные и месячные величины составляют соответственно 0,10; 0,09—0,08; 0,08—0,07 л/с с 1 га.

Модуль дренажного стока летом в 1,5 раза больше, чем в осенне-зимний период, что обуславливается вегетационными поливами. Поэтому при проектировании дренажа и определении междренных расстояний модуль дренажного стока необходимо брать в его максимальных значениях. К аналогичному выводу пришли и другие исследователи [4—6].

Максимальные месячные показатели за все годы наблюдений соответствуют весеннему-летнему периоду. Эти величины для 1976, 1977, 1978, 1979 гг. составляли соответственно 0,11—0,13; 0,09; 0,10—0,11; 0,09—0,08; 0,08—0,11; 0,09—0,10; 0,09—0,07; 0,08—0,7 л/с с 1 га.

В настоящее время проектными организациями для расчета междренных расстояний широко применяется формула С. Ф. Аверянова [1]. Среднегодовые расчетные значения модуля дренажного стока для аналогичных грунтовых условий у них — 0,22—0,28 л/с с 1 га, т. е. более высокие, чем полученные нами. В связи с этим расчетные значения междренных расстояний оказываются излишне загущенными. Результаты наших исследований показывают, что среднегодовые значения модуля дренажного стока в эксплуатационный период не превышают 0,12 л/с с 1 га. Целесообразно, как нам представляется, при проектировании междренных расстояний в условиях ленкоранской Мугани за оптимальную среднегодовую величину модуля дренажного стока принимать не 0,22—0,28, а 0,12 л/с с 1 га. Это позволит увеличить междренные расстояния в среднем в 1,5 раза и тем самым расширить полезную площадь земель, используемых под сельскохозкультурой, на 5—10% и соответственно удешевить строительство.

В почвенно-грунтовых условиях ленкоранской Мугани с помощью формулы Аверянова при значении модуля дренажного стока 0,25 л/с с 1 га междrenные расстояния составляют 300 м, а при 0,12 л/с с 1 га это расстояние увеличивается и достигает 450 м при равных значениях других параметров, входящих в формулу.

Литература

1. Аверянов С. Ф. Борьба с засолением орошаемых земель.—М.: Колос, 1978.
2. Азизов К. З.: Автореф. канд. дис.—Баку, 1972.
3. Азизов К. З., Исмайлова Д. М.—В сб.: Орошаемые почвы и методы их изучения. Ташкент, 1976, с. 3—11.
4. Багиров Ш. Н.: Автореф. канд. дис.—Баку, 1961.
5. Бесединов Н. А.: Автореф. докт. дис.—М., 1955.
6. Бехбудов А. К.—Изв. АН АзССР. Сер. биол. наук, 1960, № 4.
7. Волобуев В. Р.—Изв. АзФАН СССР, 1940, № 6, с. 55—64.
8. Костяков А. Н. Основы мелиорации.—Изд. В.—М.: Сельхозгиз, 1960.
9. Легостаев В. М., Коньков Б. С. Мелиоративное районирование.—Ташкент: Госиздат УзССР, 1951.
10. Осипов Э. Р., Побережский Л. Н.—Тр./ТИИМСХ, 1973, вып. 59, с. 121—130.
11. Шпанин Г. Н.—Гидротехника и мелиорация, 1959, № 7, с. 50—54.

Институт почвоведения и агрохимии
АН АзССР

Г. Г. Гусейнов

Поступило 1. II 1982

ЛЕНКЕРАН МУГАНЫ ШЭРАЛТИНДЭ ДРЕНАЖ АХЫМЫ МОДУЛУ

Лэнкоран Муганы шэралтиндэ апарылан тэдгигатлары арашдырыгда белэ иэтичээж колмэк олур ки, истисмар даврунда дренаж ахымы модулунун орта иллик гијмети нэр нектардан 0,11 л/сан-дән артыг олмур:

Назырда дренләри лајиһәләшдирмә ишләринде дренаж ахымы модулунун орта иллик гијмети нэр нектардан 0,22 вә 0,28 л/сан габул едиллр. Дренаж ахымы модулунун орта иллик гијметинин нэр нектардан 0,12 л/сан габул едилмәси даһа мәгсәдәүјүндүр.

Дренаж ахымы модулунун орта иллик гијметинин нэр нектардан 0,12 л/сан габул едилмөс дренләрарасы мәсафони 1,5 дәфә артырмага вә буунула да кәнд тәсәррүфаты биткиләри алтында истифадә олунан экин саһесини 5—10% артырмага икан верәр.

G. G. Guseinov

MODULUS OF DRAINAGE FLOW IN THE LENCORAN-MUGAN CONDITIONS

Our investigations results and many years data confirm that optimum average annual modulus of drainage flow in exploitation period exceeds the value of 0,12 l/sec/hec.

М. Р. КУРБАНОВ

**РЕНТГЕНОГРАФИЧЕСКАЯ ОЦЕНКА КАЧЕСТВА СЕМЯН
ХЕНОМЕЛЕСА, ФОРМИРУЮЩИХСЯ В СУХИХ
СУБТРОПИЧЕСКИХ УСЛОВИЯХ АПШЕРОНА**

(Представлено академиком АН Азербайджанской ССР В. И. Ульянищевым)

В проблеме интродукции и акклиматизации растений важное место отводится изучению качества семян интродуцированных растений, так как именно качество семян, формирующихся в новых природно-экологических условиях, является одним из основных критериев оценки успешности интродукции растений в новом регионе.

В связи с этим нами с применением рентгенографических методов [1—3] изучено качество семян 3 видов хеномелеса — *Chaenomeles Lindl.* (*Ch. Japonica* (Thunb.) Lindl.—х. японского, или айвы японской, *Ch. maulei* (Mast.) C. K. Schneider.—х. маулеи, *Ch. sinensis* (Thouin.) Koehne.—х. китайского), интродуцированных в сухих субтропических условиях Апшерона [4], где они хорошо растут, нормально проходят весь цикл сезонного развития и начиная с 2—3-летнего возраста ежегодно цветут и плодоносят.

Дешифрирование рентгенограмм семян видов рода хеномелеса показало, что на снимках хорошо просматриваются семядоли и кончик зачаточного корешка, их форма и степень развития (рис. 1.). Почека почти не просматривается, так как зародыш расположен слишком плотно. Поэтому при определении жизнеспособности семян учитывали в основном величину зародыша, степень заполнения им объема семени и расстояние кончика корешка от микропиле. Семена хеномелеса по этим показателям делятся на 5 эмбриоклассов:

I — семена пустые; II — зародыш заполняет менее 1/2 объема семени; III — зародыш заполняет от 1/2 до 3/4 объема семени; IV — зародыш заполняет более 3/4 объема семени, но исплотно прилегает к семенной кожуре; V — зародыш целиком заполняет полость семени.

Рентгенографическое изучение качества семян хеномелеса местной репродукции показало, что все 3 вида в сухих субтропических условиях Апшерона формируют семена хорошего качества, жизнеспособность которых в зависимости от вида составляет 86—88%, а средний класс их развития 4,13—4,31, т. е. семена относятся в основном к IV (26—39%) и V классам (43—54%) развития (табл. 1.).

Пустые семена формируются только у двух видов: *Ch. japonica* и *Ch. maulei*, и то в незначительном количестве (3—5%).

Одним из основных и объективных показателей качества семян является их всхожесть, которая характеризуется количеством normally проросших семян за определенный срок и при определенных условиях проращивания. Однако следует отметить, что всхожесть се-

мян зависит не только от внешних условий, но и от внутренних условий самих семян.

Опыты по проращиванию семян хеномелеса китайского показали, что между классом развития семян и их всхожестью и энергией прорастания существует положительная зависимость. Так, семена IV и

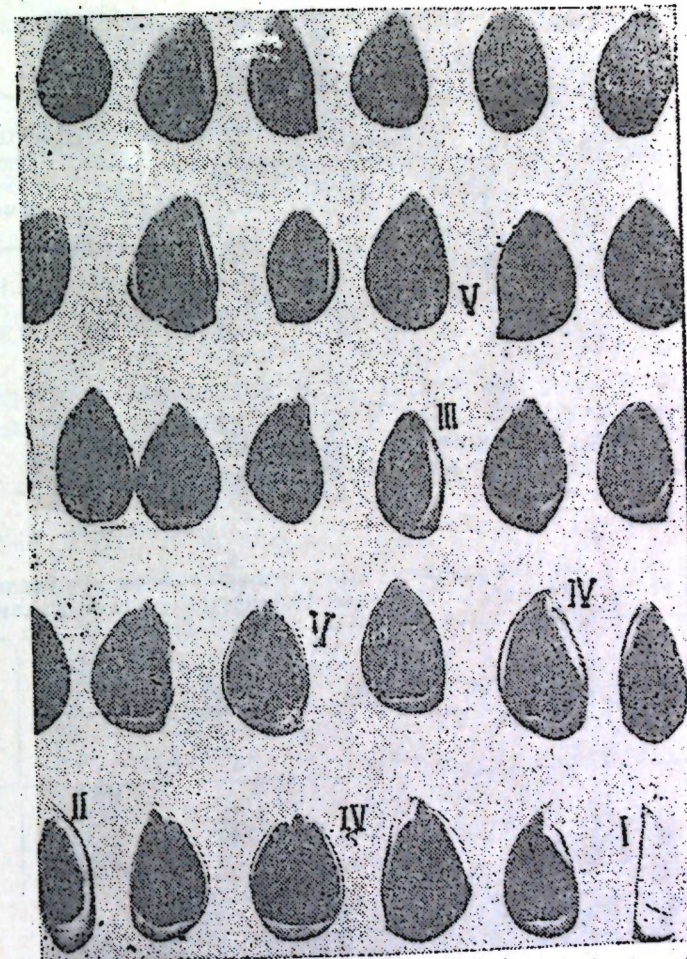


Рис. 1. Рентгенограмма семян (позитив) *Chaenomeles japonica*
(I—V эмбриоклассы)

V классов развития проросли соответственно на 76—80%, а семена III класса — всего лишь на 54%, причем продолжительность периода прорастания семян первых (33 дня) короче на 2 дня. Семена IV и V классов по сравнению с III проросли более энергично. Так, энергия прорастания семян IV и V классов развития составила соответственно 71—77%, а III — 50%, что указывает на наличие прямой связи между классами развития, т. е. внутренним развитием семян хеномелеса китайского и их всхожестью и энергией прорастания.

Однако следует отметить, что всхожесть и энергия прорастания семян хотя и являются основными показателями их качества, однако характеризуют его лишь на начальных стадиях развития семян. По-

Этому для дальнейшего изучения проросших семян хеномелеса китайского их высевали раздельно по классам развития и выращивали сеянцы. В конце вегетационного периода сеянцы выкапывали, измеряли длину и диаметр стебля, определяли вес надземной и подземной частей и подсчитывали число листьев.

Таблица 1

Показатели качества семян видов хеномелеса

Вид	Класс развития семян, %					Средний класс развития семян	Жизнеспособность, %
	I	II	III	IV	V		
Chaenomeles japonica	5	2	11	39	43	4,13	87
maulei	3	5	12	30	50	4,19	86
sinensis	—	3	17	26	54	4,31	88

Результаты показали, что по всем вышеуказанным показателям растения, выращенные из семян V класса развития, превосходят растения, полученные из семян IV, а тем более III класса развития (табл. 2, рис. 2). Отсюда следует, что между классами развития се-

Таблица 2

Показатели роста и развития однолетних сеянцев хеномелеса китайского, выращенных из семян различных классов развития

Класс развития семян	Длина стебля, см	Диаметр стебля, мм	Вес		Число листьев
			надземной части	подземной части	
III	37	2	1,20	0,9	2,10
IV	37	2,3	1,25	1,0	2,25
V	66	4	2,30	1,9	4,20

мян, т. е. степенью развития зародыша хеномелеса китайского и линейными и весовыми показателями выращенных из них растений, существует прямая связь. Увеличение класса развития семян вызывает такое же изменение в линейных и весовых показателях выращенных из них растений, что подтверждается ранее сделанными выводами для маклюры оранжевой [5].

Одним из основных показателей качества семян является вес 1000 семян. Этот показатель для семян хеномелеса китайского в зависимости от класса их развития варьирует следующим образом: V класс — 47,50 г; IV класс — 46,83 г; III класс — 44,23 г; II класс — 43,15 г; I — класс — 42,28 г. Это свидетельствует о том, что между весом семян и их классом развития существует положительная корреляция. Этую зависимость необходимо учитывать при сборе и отборе семян для посева, что позволит высевать доброкачественные семена.

При рентгенографической оценке качества семян видов хеноме-

леса необходимо обращать особое внимание на развитие зародыша, т. е. класс их развития.

Итак, сбор и отбор для посева нужно проводить из числа семян

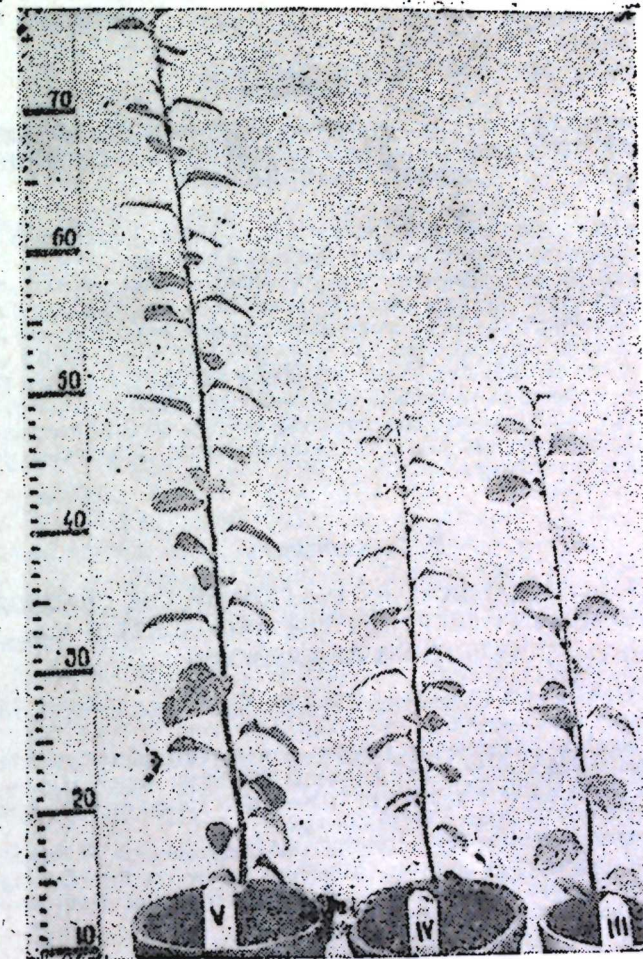


Рис. 2. Сеянцы *Chaenomeles sinensis*, выращенные из семян различных классов развития

IV и V классов развития. Это позволит получить ранние дружные и рослые всходы, что очень ценно для практических работ по семено-му размножению видов хеномелеса, а возможно, и других растений.

Литература

- Некрасов В. И. Основы семеноведения древесных растений при интродукции. — М.: Наука, 1973, с. 63—78.
- Смирнова Н. Г. Рентгенографическое изучение семян лиственных древесных растений. — М.: Наука, 1978, с. 10—15.
- Курбаков М. Р. Рентгенография семян с увеличением как новый метод по определению их жизнеспособности. — В сб.: XVII сессия совета ботанических садов Закавказья по вопросам интродукции, зеленого строительства, физиологии и защиты растений. Тбилиси: Мецниереба, 1981, с. 102—104.
- Агамиров У. М. Новые древесные породы для озеленения Апшерона. — Баку: Элм, 1977, с. 67—70.
- Курбаков М. Р. Ранняя диагностика и оценка наследственных качеств семян по

всхожести, росту и развитию выращенных из них растений. — В сб.: «Теоретические и методические вопросы изучения семян интродуцированных растений». Баку, 1981. с. 100—102.

Ботанический сад
Института ботаники АН АзССР

Поступило 20. XII 1981

М. Р. Гурбаков

АБШЕРОНУН ГУРУ СУБТРОПИК ИГЛИМИ ШЭРАТИНДЭ ФОРМАЛАШМЫШ
ХЕНОМЕЛЕС ТОХУМЛАРЫНЫН КЕЙФИЙЛЭТИНИН РЕНТКЕНОЛОЖИ
ГИЙМЭТЛЭНДИРИЛМЭСИ

Мэгэлэдэ ренткеноложи методлар vasitэсилэ Абшерон шэрэгинэ интродуксија
едилинш үч нөв Хеномелес тохумларынын кеийнжэти ёрэнлир.
Ашкар едилшишдир ки, Абшеронун гурь субтропик иглими шэрэгиндо Хеномелес
иевлэри яхши кеийнжэти тохумлар эмэлэ катирир. Белэ ки, нөвдэн асылы олараг тохумларын хэјат габилийтэй 86—88%, онларын иникишафынын орта синфи исэ 4,13—4,31
арасында дэжишир. Ё'ни тохумлар эсасэн IV (26—39%) вэ V (43—54%) иникишаф син-
финэ аид олур. Бу исэ онларын рүшејмлэрийн яхши иникишаф етмэсний кестэрир. Она
кэрэ дэ сэпин учун тохум тадарүк едэркэн онуун иникишаф синфинэ, ё'ни рүшејмин иники-
шафына хусуси диггэт јетирмок вэ IV, V иникишаф синфиндэй олан тохумлара устуулж
вермэл лазымдыр. Белэ олдугда нэмийн тохумлардан еркэн, күтлэви вэ яхши бөймэ
габилийтэйнэ малик чүчэртилэр алышар.

M. R. Kurbanov

THE ROENTGENOGRAPHICAL ESTIMATION OF THE CHAENOMELES
SEED QUALITY SHAPED IN THE ARID SUBTROPICAL
CONDITIONS OF APSHERON

The quality of seeds of 3 Chaenomeles species introduced in Apsheron was stu-
died by roentgenographical methods.

It is carried out that Chaenomeles species in arid subtropical conditions of Ap-
sheron form seeds of good quality, its lifetime is 86—88%, depending on the species,
and the middle class of its development is 4,13—4,31. It means that the seeds are of IV
(26—39%) and V (43—54%) classes of development.

The embryo development or the class of the development is important during
roentgenographical estimation of seeds. Therefore the seeds for sowing are to be
gathered and selected from the number of IV and V classes of development. It per-
mits to get early, united and tall sprouts.

АЗЭРБАЙЧАН ССР ЕЛМЛЭР АКАДЕМИЯСЫНЫН МЭРҮЗЭЛЭРИ

ДОКЛАДЫ АКАДЕМИИ НАУК АЗЕРБАЙДЖАНСКОЙ ССР

ТОМ XL ЧИЛД

№ 10

1984

ИСТОРИЯ

Р. БАДИРБЕЙЛИ

ТРИ ПОЛЬСКИХ ИСТОЧНИКА О ВНЕШНЕЙ ПОЛИТИКЕ
УЗУН-ХАСАНА

(Представлено академиком АН Азербайджанской ССР З. М. Буниятовым)

Несмотря на то что история азербайджанского государства Ак-Коюнлу уже описана такими исследователями, как И. П. Петрушевский [10, 11, 12], Дж. М. Ибрагимов [3, 4, 5] и О. А. Эфендиев [15], из еще встречающихся отрывочных сведений об этом государстве можно заключить, что работа в этой области не закончена. Сделать этот вывод нам позволили обнаруженные недавно три польских источника: «История Польши» [8], написанная в 1480 г. Яном Длугошем (во второй половине XIX в. его труд был переведен на польский язык, а в 1964—1970 гг. переиздан на латинском языке), «Записки янычара» Михайловича, созданные им в Польше в период с 1497 по 1501 г. [2, 21, 22] и «Письма Великого Турка» [21], составленные Стравольским в виде подборки писем турецкого султана, ответов на них и пояснений к ним.

Все эти авторы, хотя и по-разному, освещают одно и то же событие — войну между Турцией и Ак-Коюнлу¹. Так в 32 главе «Записок» автор повествует о вторжении турецких войск во владения Узун-Хасана и о попытках навязать ему бой. Но Узун-Хасан избегал столкновений с противником. Не выдержав неопределенности, султан подоспал к Узун-Хасану под видом перебежчика своего шута с заданием убедить его в том, что он отступает. Узун-Хасан поверил шуту, послал вперед своего сына, а потом подоспал сам и разгромил турок [2, 84—85].

Ян Длугош описывает этот бой несколько иначе. Он сообщает, что в четверг 10 августа 1473 года около города Харситшан (скорей всего, Шабин-Каракисар. — Р. Б.) шах Персии и нижней Армении Хуссенкассен (Узун-Хасан. — Р. Б.) разбил турок, окружив их четырьмя отрядами, которыми командовали его старший сын Угорлимбек (Угурул-Мухаммед-Мирза. — Р. Б.), младший сын Сейнель (Зейнал-мирза. — Р. Б.) и какой-то «великий паша» Баяндур и он сам [17, 555—556]. В «Письмах» этих подробностей нет.

Интересна по этому поводу точка зрения советских исследователей. Так, А. Д. Новичев в разделе о завоевании Малой Азии своего монументального труда по истории Турции хотя и называет Узун-

¹ Правда, составитель комментариев к «Запискам» и переводчик А. И. Рогов утверждает, что к этому времени их автор был уже вне пределов Турции и, следовательно, не мог участвовать в описываемых событиях [2, 20]. Можно предполагать, что автор включил в мемуары от своего имени чей-то рассказ. Однако, в любом случае это не должно заслонить от нас значимости мемуаров.

Хасана главным врагом турок, о поражении Мехмеда II Завоевателя под Малатией не говорит ни слова [9, 52]. И. П. Петрушевский сухо констатирует, что в 1473 г. под Малатией Узун-Хасан одержал победу над турками [10, 100]. И только Дж. М. Ибрагимов сообщает, что в ходе этого боя Узун-Хасан приказал начать ложное отступление и, поймав противника на хитрость, разгромил его [4, 86].

И. П. Петрушевский и А. Д. Новичев конкретно не высказываются и о том, кто командовал турецкими войсками под Малатией, хотя из их текста можно понять, что руководил боем сам султан. Дж. М. Ибрагимов же утверждает, что турецкими войсками под Малатией командовал Хасмурад — один из выдающихся османских военачальников [4, 91—92]. Клугош конкретно не говорит об этом, но сообщает, что после боя Узун-Хасан освободил пленников, среди которых был «Кашмурад, великий и могучий царь» [17, 556]. И только Михайлович утверждает, что боем командовал сам султан: «Если бы не янычары, был бы убит сам султан» [2, 85].

Турецкий исследователь Халил Янальчик сообщает, что Узун-Хасан выбрал момент, когда турецкая армия, которой командовал сам султан, начала переправляться через Евфрат, отсек часть войска, во главе которого оказался беглярбек Румелии Хасмурад, и разгромил ее [18, 520]. Это сообщение Янальчика, правда, отражает полководческое искусство Узун-Хасана; но в то же время приижает его значение, так как сводит в ранг случайных. Необъективную точку зрения турецкого исследователя нужно проверить сообщениями незаинтересованных свидетелей, что входит в задачу исследований уже медиевистов.

И последнее — о сыне Узун-Хасана Зейнал-мирзе. Длугош утверждает, что «в этой битве полег Сейнель, сын Хуссенкассена» [17, 556]. Михайлович подтверждает это, но почему-то называет его «одноглазым Мустафой» [2, 85]. Старовольский же, составитель пояснений к «Письмам», сообщает, что после поражения под Малатией султан отомстил Узун-Хасану, собственно убив его сына [21, 1]. О сыне Узун-Хасана Зейнал-мирзе в генеалогических таблицах отмечается, что такой сын был и что он умер в 1473 г. [6, 38; 16, 290]. Турецкие исследователи также упоминают о нем только в генеалогической таблице [19, 265]. Однако известно, что в этом бою Зейнал-мирза погиб, а голова его была отрублена турками [22, 132], вероятно, для устрашения непокорившихся или с целью получения награды.

Наибольший интерес вызывает сообщение Длугоша, в котором говорится, что в первых числах февраля 1474 г. с миссией от Узун-Хасана прибыл венецианец Катарино Зено. Он передал королю подарки и письма, содержащие предложение о совместном ударе по туркам весной 1474 г., а затем уехал. Однако, кроме официального, Катарино Зено имел еще и тайное послание к королю Казимиру IV такого содержания: «...шах персидский Хуссенкассен имеет двух дочерей дивной красоты, рожденных с Катерино, дочерью цезаря Трапезунта, из которых старшую он хочет дать одному из сыновей твоих в жены, и скоро по-христиански она будет окрещена. В приданое за неё он даст тебе всю страну Грецию, которую ты не раньше возьмешь, пока шах выгонит турка из Константинополя, и всей Грецией из-под его власти освобожденной ты сможешь обладать». Далее он обещал поддержать Казимира в его притязаниях против венгерского короля

Матиаша Хуньяди. «Это дружественное и приветливое брачное предложение король Казимир принял безразлично и с пренебрежением, только ответив, что на него Хуссенкассену через своих послов даст ответ» [17, 567—568].

Трудно даже предположить, чтобы такой опытный дипломат, как Узун-Хасан, мог сделать подобное авантюристическое предложение своему предполагаемому союзнику по войне против турок, да еще будущему свекру дочери. Скорее всего, дело происходило так. Узун-Хасан сообщил, что матерью его дочери является Екатерина, дочь трапезундского императора². Этим он достигал сразу двух целей: во-первых, показывал, что сам имеет настолько высокое положение среди других владык Востока, что трапезундские императоры породились с ним; во-вторых, коль скоро она является наследницей трапезундских Комнинов, близких родственников византийских Комнинов, брак с ней может дать ее мужу или сыну право на византийскую корону, когда Константинополь будет освобожден от турок. А право такого наследования для средневековья было далеко не пустым звуком, тем более что вскоре после падения Константинополя появились слухи о непрочности власти турок в Византии и предсказывавшие, что те там продержатся не более 300 лет [7, 77—78]. Поэтому можно предположить, что Узун-Хасан намекнул или даже прямо заявил об этом.

О тайной миссии Зено Длугош ясно говорит, что он ознакомил короля [17, 567]. А это может означать только то, что Зено передал королю устное предложение. Этим и можно объяснить такой текст, услышанный Длугошем уже от короля, который, как известно, к этому предложению отнесся отрицательно. Этим можно объяснить также и то, что о предложении Узун-Хасана породиться с Казимиром почти никто не знал. Правда, в 1618 г. об этом в пояснениях к «Письмам» писал еще и Старовольский; но, видимо, этому факту никто из европейских ученых не поверил. Следует подчеркнуть, что это пока единственное известное нам сообщение о предложении азербайджанского монарха породиться с европейским правителем, и в частности с польским королем. Мы пока не можем ни подтвердить, ни опровергнуть это сообщение, а потому должны принять его как факт.

Говоря о миссии Зено к Казимиру IV, Старовольский еще сообщает, что через послов императора священной Римской империи Фридриха III (1425—1490) Узун-Хасан напомнил ему о создании антитурецкой Лиги. Но тут же добавляет, что европейские монархи не смогли договориться, и Узун-Хасан был отдан «на съедение» турку. Далее он повторяет сообщение Длугоша о matrimonиальном предложении Узун-Хасана, утверждая, что письмо было написано на халдейском языке [21, 2], по всей вероятности, полагая, что государство Ак-Коюнлу берет свое начало от трапезундской провинции Халдеи [14, 87]. Далее Старовольский сообщает, что союзниками Узун-Хасана в войне против Турции были синопский бей Исмайил и караманский бей [21, 3, 6]. Спасаясь от нашествия Мехмеда II, все беки Малой Азии в разное время прибегали к помощи Узун-Хасана [18, 525]. Не

² К. Э. Босворт же ее почему-то называет «Деспина родом из Византии» [1, 224], хотя в то время это означало не имя, а жену правителя деспота. Однако до принятия мусульманства она была не Екатериной, а Феодорой [14, 135; 6, 205; 22, 101, 113, 135, 138].

были исключением и последние беки Караджана Исхак-бей и его сыновья Пир-Ахмед и Касым-бей [20, 326, 327]. К сожалению, Старовольский не уточняет, о ком идет речь. Последнее сообщение Длугоша относится к 1475 г., когда к польскому королю приехал посол от Узун-Хасана — «Исаак из Трапезунта, родом грек, магометанского вероисповедания» (тогда правильнее было бы назвать его Исхак, а не Исаак. — Р. Б.) с предложением начать весной войну против султана, ослабленного поражением в Валахии. Король Казимир уклонился от ответа, и посол поехал выполнять свою миссию в Венгрию, Рим, Венецию [17, 591, 592].

Таким образом, три польских источника XV, XVI и XVII вв. еще раз подтвердили наличие связей государства Ак-Коюнлу со странами Центральной Европы, по-новому осветив некоторые события войны Турции с Ак-Коюнлу и выявив неизвестный факт предложения Узун-Хасана польскому королю Казимиру IV выдать замуж за его сына свою дочь, скрепив тем самым военный союз против Турции.

Литература

1. Босворт К. Э. Мусульманские династии. — М.: Наука, 1971.
2. Записки яничара, написанные Константином Михайловичем из Островицы. — М.: Наука, 1978.
3. Ибрагимов Дж. М. Азербайджанские государства ширваншахов, Карабоюнлу и Ак-Коюнлу. — Науч. арх. Ин-та истории АН АзССР, № 2026 (на азерб. яз.).
4. Ибрагимов Дж. М. Очерки истории Азербайджана в XV в. — Баку, 1958/на азерб. яз.
5. Ибрагимов Дж. М. Феодальные государства на территории Азербайджана в XV в. — Баку, 1962.
6. Каждан А. П. Завоевание турками Морей, островов Эгейского моря и Трапезундской империи. — В кн.: История Византии. — М.: Наука, 1963, т. 3.
7. Крымский А. История Турции и ее литературы. — М., 1916, т. I.
8. Миллер И. С. Длугош Ян. — В кн.: СИЭ, т. 5.
9. Новичев А. Д. История Турции. — Л.: Изд. ЛГУ, 1963, т. I.
10. Петрушевский И. П. Государства Азербайджана в XV в. — В сб. статей по истории Азербайджана. Баку: Изд-во АН АзССР, 1949, вып. I.
11. Петрушевский И. П. Азербайджан до Хулагидов. — В кн.: Очерки истории СССР/пер. феодализма IX—XV вв. М., Изд-во АН СССР, 1953.
12. Петрушевский И. П. Азербайджан. — В кн.: Очерки истории СССР/пер. феодализма — конец XV — нач. XVII в. М.: Изд-во АН СССР, 1955.
13. Тураев Б. Халден. — В кн.: Энциклопедический словарь Ф. А. Брокгауз и И. А. Ефона. СПб., 1903, т. XXXVII.
14. Успенский Ф. И. Очерки из истории Трапезундской империи. — Л.: 1929.
15. Эфендиев О. А. Образование азербайджанского государства Сефевидов в нач. XVI в. — Баку: АН АзССР, 1961.
16. Эфендиев О. Азербайджанское государство Сефевидов в XVI в. — Баку: Элм, 1981.
17. Jana Dtugosza kanonika krakowskiego Dzleta Wszystkie. — Kraków, 1850, t. b.
18. Janalçlı Halli, Mehmed II. — In: Islam ansiklopediası. Istanbul, 1937, t. 7.
19. Jananç Mykrim Halli, Akkojunlular. — In: Islam ansiklopediası. Istanbul, 1940, t. 1.
20. Tekindag Sihhbendin, Karamanlılar. — In: Islam ansiklopediası. Istanbul, 1955, t. 6.
21. Wielkiego Turka Listy przez Szymona Starowolskiego, nauk Wyzwolonych y Phylosophie Bakataura co itzyka Polskiego z Lacinskiego przelozone w Krakowie roku Panskiego 1618.
22. Woods John E. Aqqoynlular: Clan, Confederation, Empire. — Chicago, 1976.

Р. Бадырбейли

УЧ ПОЛЯК МӘНБӘЛІ УЗУН ҺӘСӘНИН ХАРИЧИ СИЈАСӘТИ ҺАГТЫНДА

Мәгәләдә XV, XVI вә XVII әсрләрә аид уч полjak мәнбәлі әсасында Ағројуилу дөвләти илә Османилы дәвәтли арасындақы муһарибадән бөшө олуынур. Мүәллиф һәмчинин индијәдәк елм аләминә мә'лум олмајан жени факт көстәрир. Узун Һәсән өз тызыны Полша кралы IV Казимирин оғлуна өвермәйи тәклиф едәрек Түркијә әлејіннә һәрби иттифагы мәһкемәндирмәк истөйирди.

R. Badyrbayliev

THREE POLISH SOURCES ON FOREIGN POLICY OF UZUN-HASAN

The article reports on the war between Ak-Koyunlu and Turkey and also cites an unknown fact of Uzun-Hasan's proposal to the Polish king Kazimir IV of marrying his daughter to the son of the latter, authenticating by this act their military union directed against Turkey.

Ф. Ш. ШАБАНОВ, Т. П. ДАДАШЕВ

**ПУБЛИКАЦИЯ ТРУДОВ ТУРКОЛОГОВ АЗЕРБАЙДЖАНА
В ЗАРУБЕЖНОЙ ПЕЧАТИ
(1960—1982 гг.)**

(Представлено академиком АН Азербайджанской ССР З. М. Буняитовым)

Ленинские принципы мирного сосуществования государств с различными социально-политическими системами, впервые закрепленные в Декрете о мире и договорах страны Советов о дружбе и добрососедстве со странами зарубежного Востока, в том числе с Турцией, явились незыблевой основой внешнеполитического курса КПСС и Советского государства. Последовательно претворяя в жизнь заветы В. И. Ленина, Советский Союз создает все условия для культурного и научного обмена и связи советских ученых с учеными Турции, Ирана, Афганистана, разработки ими актуальных проблем истории, экономики, общественной мысли, литературы, права этих стран для выступления с докладами по этим проблемам на общесюзных и зарубежных конференциях, для публикации в зарубежной печати научных трудов.

В это благородное дело вносят свой вклад и ученые Азербайджана, прежде всего Института востоковедения республиканской Академии наук. С первых же дней создания института (март 1958 г.) была определена его научная направленность: «Комплексное изучение наиболее актуальных проблем экономики, истории, общественно-политической, идеологической мысли народов Ближнего и Среднего Востока, историко-культурных и литературных связей Азербайджана с восточными странами, подготовка и изучение памятников культуры Востока» [1].

В деле выполнения задач, поставленных перед востоковедческой наукой, определенную работу провели туркологи Азербайджана. За период с 1960 по 1982 г. они выступили с докладами на 17 симпозиумах в Москве, Киеве, Ташкенте, Баку, в Мюнхене, Берлине, Анкаре, Канберре, Софии, Праге, на XXV конгрессе востоковедов 1960 г. в Москве, на конгрессе солидарности народов Азии, Африки и Латинской Америки 1967 г. в Баку, на III конгрессе по изучению стран Юго-Восточной Европы 1974 г. в Бухаресте, на первом конгрессе по балканистике 1981 г. в Софии, на VI, VII, VIII и IX конгрессах Туристического общества 1960, 1970, 1976, 1981 гг. в Анкаре.

Для изучения вопросов истории, экономики и идеологии Турции большой интерес представляют также отчеты азербайджанских ученых о поездках в Софию и Турцию [2].

За рубежом туркологи Азербайджана публикуют свои работы в виде научных докладов, тезисов или статей. Так, доклад действитель-

ного члена республиканской Академии наук доктора исторических наук проф. З. М. Буняитова «Выдающиеся личности Конийского султаната» в соч. Ибн-ал-Фувата, прочитанный им на турецком языке на VIII конгрессе Турецкого исторического общества, был опубликован в специальном «Сборнике докладов» [3]. Еще раньше, в 1970 г., в Анкаре были изданы тезисы его доклада (на турецком языке) на VII конгрессе Турецкого исторического общества на тему: «Деятельность Хорезмшаха Джелал ад-Дина Манкубины на Кавказе в 1225—1226 гг.» [4].

Опубликован за рубежом ряд научных докладов на международных конференциях и статей по различным вопросам истории Турции доктора исторических наук проф. Г. З. Алиева [5], работы кандидата экономических наук И. В. Алибекова по вопросам экономики современной Турции, экономической политики турецкого правительства, экономического сотрудничества Турции с зарубежными странами [6].

Среди работ туркологов Азербайджана определенное место занимают статьи и научные доклады по вопросам общественной, философской, эстетической мысли современной Турции. В работах Э. Гасановой [7], написанных по турецким источникам с использованием публикаций турецких авторов, рассматриваются вопросы идеологии турецкого буржуазного национализма, пути и формы распространения марксистских идей в Турции.

Изучением и исследованием вопросов эстетической мысли в современной Турции занимается Э. Заманова. В ее работах [8], опубликованных за рубежом, прослеживается процесс зарождения, формирования эстетической мысли в передовых слоях турецкого общества, показано плодотворное влияние ленинских философских идей на становление демократической эстетической мысли в Турции.

Заслуживают внимания работы доктора юридических наук Ф. Ш. Шабанова [9], написанные на основе изучения и анализа материалов, почерпнутых из турецких, русских, западноевропейских источников. В них раскрываются социально-экономические и политические предпосылки и причины, приведшие Османскую империю к упадку и распаду, выявляются социальная сущность и значение турецких реформ 1839—1970 гг.; дается характеристика системы организации органов государственной власти и управления, законодательства и правовой системы Турции в период танзимата.

Турецкая научная общественность, отмечая заслуги действительных членов Академии наук Азербайджанской ССР Г. М. Араслы, М. Ширалиева и З. М. Буняитова в деле развития научных связей между Советским Азербайджаном и республиканской Турцией, присвоила им почетные ученые звания: в 1957 г. Г. Араслы избран почетным членом, а М. Ширалиев — членом-корреспондентом Турецкого лингвистического общества, З. Буняитов в 1981 г. — членом-корреспондентом Турецкого исторического общества. В связи с 50-летием образования Турецкой Республики (1973 г.) акад. Г. Араслы был награжден Почетной грамотой турецкого правительства [10].

Примечания

¹ Востоковедение в Советском Азербайджане/Под ред. А. С. Сумбатзаде.— Баку, 1964.

² Ализаде А. А. VI Турецкий исторический конгресс/Проблемы современной Турции.— М., 1963, с. 207—217.

³ Бунинятов З. М. Выдающиеся личности Конийского султаната в соч. Ибн-ал-Фувата. — В сб. докл. на VIII конгрессе Турецкого исторического общества. Анкара, 1976.

⁴ Бунинятов З. М. Деятельность Хорезмшаха Джелал ад-Дина Манкубурни из Кавказа в 1225—1226 гг.: Тез. докл. на VII конгрессе Турецкого исторического общества. — Анкара, 1970.

⁵ Алиев Г. З. Туркология в Советском Азербайджане. — Этюде Балканник. София, 1979, № 1/на тур. яз.; Из истории туркологии в Советском Азербайджане. — В кн.: Мат-лы XXVIII Всемирн. конгресса востоковедов. Канберра, 1979/на англ. яз.; Образование республиканского режима в освещении азербайджанской прессы (20-е годы): Тез. докл. на VIII конгрессе Турецкого исторического общества. — Анкара, 1976/на тур. яз.; Роль Ататюрка в установлении и оздоровлении дружбы между Турцией и Советским Союзом: Бюлл. факт-та полит. знаний Анкарского ун-та. — Анкара, 1981, т. 36/на тур. яз.

⁶ Алибеков И. В. О причинах промышленной отсталости Турции. — Этюде Балканник. София, 1875, № 3; Принципы этатизма в экономической политике и идеологии кемализма. — Азия, Африка, Латинская Америка, Берлин, 1975, № 5/на нем. яз.

⁷ Гасанова Э. Ю. Социалистическая мысль в Турции. — Мизан (Весы). Кембридж, 1965, т. 7, № 5/на англ. яз.; О концепции тюркизма в идеологии молодотуров/Акты первого международного конгресса по изучению балканстики и стран Юго-Восточной Европы. — Этюде Балканник. София, 1970, № 1; Советские исследования по кемализму. — В кн.: Мат-лы VII конгресса Турецкого исторического общества. Анкара, 1973/на тур. яз.; Освещение общественно-политических взглядов М. К. Ататюрка в трудах советских ученых: Тез. докл. VIII конгресса Турецкого исторического общества. — Анкара, 1976/на тур. яз.; Кемалистский принцип «национальства» и его трактовка в современной Турции. — Азия, Африка, Латинская Америка, Берлин, 1979, № 5/на нем. яз.

⁸ Заманов Э. «Критический анализ» философии исламского искусства в Турции. — В кн.: Мат-лы VII Междунар. эстетического конгресса. Бухарест, 1976/на англ. яз.; Модернизм и традиции исламо-турецкого искусства: Тез. докл. на V Междунар. конгрессе по турецкому искусству. — Будапешт, 1975/на англ. яз.

⁹ Шабанов Ф. Правовые основы верховной власти в Османской империи: Тез. докл. VI конгресса Турецкого исторического общества. — Анкара, 1961/на тур. яз.; Русские писатели XIX в., о сущности таизимата. — В кн.: Мат-лы VII конгресса Турецкого исторического общества. Анкара, 1973/на тур. яз.; По поводу одной рецензии. — Этюде Балканник. София, 1971, № 4.

¹⁰ Корнеев К. К. Научные связи СССР со странами Азии и Африки. — М., 1977, с. 189—197.

Институт востоковедения АН АзССР

Поступило 28. I 1983

Ф. Ш. Шабанов, Т. П. Дадашов

АЗЭРБАЙЧАН ТУРКОЛОГЛАРЫНЫН ЭСЭРЛЭРИНИН ХАРИЧИ МЭТБУАТДА НЭШРИ (1960—1982-ЧИ ИЛЛЭР)

Ичтимаи-сијаси гурулушлары мүхтәлиф олан өлкәләрдә достлуг вэ меңрибан гоншуулуг иңаисибетләринин мәһкәмләмәсini принципине раһбер тутан Азэрбајҹан туркологлары харичи өлкә алымләрни илә элагәләрни бејнәлхалг конфранс вэ симпозиумларда елми ёсэрләрни, чыхышларыны, мә’рүәлләрни мубадилә етмәк юлу илә һәјата кечирләр.

Түркијенин елми ичтимаијәттى Совет Азэрбајҹаны илә елми элагәләрни мәһкәмләмәсini вэ даһа да инишиаф етдирилмәснина бејүк эһәмијәт верәрәк республиканын бир чох көркәмли алымләрина јуксок елми адлар вермишдир.

F. Sh. Shabanov, T. P. Dadashov

PUBLICATION OF WORKS OF THE TURCOLOGISTS OF AZERBAIJAN IN FOREIGN PRESS (1960—1982)

The connections of the turcologists of Azerbaijan with foreign scientists were in the form of exchange of publications, reports at international conferences. The turkish academic circles gave rewards to a number of Azerbaijani scientists,

АЗЭРБАЙЧАН ССР ЕЛМЛӘР АКАДЕМИЯСЫНЫН МӘРҮЗӘЛӘРИ

ДОКЛАДЫ АКАДЕМИИ НАУК АЗЕРБАЙДЖАНСКОЙ ССР

ТОМ XL ЧИЛД

№ 10

1984

ТОПОНИМИКА

С. К. КӘРИМОВ

ЗАР, ПАПЫ ВЭ ҺАЧЫГӘРВӘНД ОЈКОНИМЛӘРИ ҺАГГЫНДА

(Азэрбајҹан ССР ЕА академики һ. Н. Әлиев тәгдим етмисидир)

Зар, Папы вэ Һачыгәрвәнд Азэрбајҹан топонимикасында бу вахтадәк өјрәнилмәмиш өјконимләрдәнди. Лакин бу ојконимләр халгымызын кечмиши илә бағлы топонимик фактлар вэ һәтта, тарихи мә’хәз олмаг етibарило чох мараглыдыр.

ЗАР. Һазырда Азэрбајҹан ССР-ин Қәлбәчәр вэ Ермәнистан ССР-ин Абовjan раionлarynda Зар [2,57; 4,188], Җәнуби Азэрбајҹан әразисинде Қәләзар [8,500] адлы кәндләр мөвчуддур. 1590-чы илә иандә кәстәрилir ки, Шәрүр гәзасынын беш наһијәсindән бири Зар адланыр [7,375]. XIX әсрдә Тифлис губернијасынын Гори гәзасында Зар, кәнди, Гарс виляјәтиндә Зарушад кәнди вэ чајы гејдә алымышдыр [11,96].

Фавстос Бузанд V әср һадисәләри илә әлагәдар олараг гәдим Ермәнистан әразисинде Заравәнд вэ Заришат јашајыш мәнтәгләринин адлашыны чәкир [6,17; 133—134]. VII әсрә ианд мәнбәдә исә Заравәнд Ермәнистаны вилајәтләrinдән бири кими гејдә олунур [3,47]. Бу вилајәт Иранын шимал-гәрбиндә индик Салмас вилајәтиdir [14,88]. Заришат исә, шүбһәсиз ки, мұасир Түркијәнин Гарс вилајәтиндә гејдә алыман Зарушад кәнди. Гејд едәк ки, Иран дилләриндә «вәнд» етник мәнсубијәт билдирир [13, 152]; Заравәнд, јәни «Зар нәсли», яхуд «Зар тајфасына мәнсуб нәсли». Иран мәншәли «шат» компоненти «өлкә», «шәһәр» мә’насындаидыр [1,30]; Заришат, јәни «Зар шәһәри».

В. А. Жучкевич етимал едир ки, Зар ојконими ермәни мәншәли нәсил ады илә әлагәдардыр [5,231]. Лакин бу фикирлә разылашмаг чәтиндир.

Тарихи әдәбијатлардан мә’лум олур ки, Зар адланан халг Иранда Фарс вилајәтинин чәнуб наһијәләrinдә, Фарс көрфәзинин саһилләрин дән тутмуш Кирмана гәдәр әразидә инди дә јашајыр. Җәнуби Азэрбајҹан тәдгигатчысы Сәид Нәфисинин јаздығына көрә, зарларын адәт вэ ән’әнәләри хүррәмиләр һаггында јазылан адәтләрин ейниdir вэ онлар мүхтәлиф раionларда дағыныг һалда јашајылар [9,155].

Шүбһәсиз ки, ислам дининин чох күчлү олдуғу Иран кими бир өлкә дә зарларын һазырда хүррәмилек адәт вэ ән’әнәләрини јашатмасы һеч дә тәсадүfi дејилдир. Бу факт етимал етмәjә ёсас верир ки, зарлар хүррәмилек адәт вэ ән’әнәләрини мәhз Бабәк һәрәкаты дөврүндән әсрләри кечирәрек буқунәдәк јашатышлар. Экәр беләдирсә, демәли, зарлар бу һәрәкатын фәал иштиракчылары олмушлар.

Иран мәншәли Зар етномими илә бағлы топонимик ареаллар белә бир фикир сөјләмәjә имкан верир ки, бу тајфа гәдим дөврләрдә Иранын шимал-гәрбиндә вэ Сүник кијазлығы әразисинде* мәскүн олмуш вэ ола билсин сонралар мүәjjән тарихи һадисәләр нәтичәсindә Фарс вилајәттин чәнуб наһијәләринә, Фарс көрфәзине саһилләринә сыйышдырылышлар.

* Сүник кијазлығы — Азэрбајҹанын индик Дағлыг Гарабағ вэ Қәлбәчәр-Зәнкилан зонасыны, Ермәнистан ССР-ин чәнуб-шәрг һиссесини әнатә едири.

ПАПЫ (Чәбрајыл району). Папы — Лур тајфаларындан биринин аддыры вә бу тајфа һазырда да Иранын Луристан әразисинде јашамагадыры [13,165]. Папы ојконими дә һәмин тајфанын адындандыр, лакиң мараглыдыр ки, Папы тајфасы илә Папы кәндinin сакинләри арасында һеч бир етник әлагә јохдур. Папы кәндinin әvvәлки ады «Дурсунлу» олмушдур вә илк сакинләри Чәбрајыл районундакы Гәрәр - Дурсун (индик Гарар) кәндидән көчән 8—10 азәрбајчанлы аиләсидир.

Араз боју илә әлагәси олан малдар тајфалар бу әразидән һәмишә гышлаг, гыш отлаг саһәләри кими истифадә етмишләр. Азәрбајчанын шимал һиссәси Русија бирләшәнәдәк Иранда јашајан папыларын Аразбојунда гышлаг яери олмушдур. Русија бирләшдикдән соңра јенә дә «Папы јери» адланан бу јер соиралар Гәрәр - Дурсун кәндinin гышлағы олмушдур. Совет һакимијәти илләринде һәмин кәнддән көчуб кәлән аиләләр бурада дайми мәскунлашараг Папы кәндinin салмышлар. Бу кәнд әvvәлчә әналиси Гәрәр - Дурсун кәндидән кәлдијинә көрә «Дурсунлу», соңра исә салындыры әразинин ады илә «Папы адланмышдыр».

АЧЫГЭРВӘНД (Мирбәшир району). Ојконим трансформасијаја уграмышдыр вә дүзүн јазылыш формасы «Ачы Кәрравәнд» олмалыдыр. XIX әсрин ахыры вә XX әсрин әvvәлләrinә иш рус мә'хәзләринәдә ад «Аджи-Герравенд» шәклиндә јазылмышдыр [11,7; 12,122]. Гејд едәк ки, һазырда јерли әнали дә ады «Ачы Кәрравәнд» кими тәләффүз едир.

Кәрравәнд (Кәрр - а - вәнд) адынын тәркибиндәки «а» бирләшдиричи сәс, «вәнд» исә, јухарыда гејд етдијимиз кими, «нәсли», «ушағы» мә'насында олуб, етник мәнсубијјәт билдирир.

Антик мүәллифләрдән Птолемеј (II әср) гејд едир ки, Қаспи дәниzinин шимал-гәрб саһилләриндә уд, оланд, исонд вә геррләр јашајылар (10,119). Ени заманда о, Герр (Кәрр) чајыны да адны чекир (10,118). Тәдгигатчылардан С. А. Ковалевскиниң фикринчә, Герр чајы индик Уллучај (Улучај), А. Яновскијә көрә индик Көјчајдыр. С. Н. Муравјов исә еңтимал едир ки, бу чај Кирдиман, Ағсу вә Пирсаат чајларындан биринин гәдим ады олмалыдыр [10,127,131,147]. Көрүндују кими, гејд етдијимиз бүтүн тәдгигатчылар Герр тајфасынын ады илә ејнилик тәшкил едән Герр һидронимини Азәрбајчан әразисинде ахтарылар. Бүтүн бунлар еңтимал етмәјә әсас верир ки, Һачыгәрвәнд (Ачы Кәрравәнд) ојконими мәншә е'тибарилә гәдим герр (кәрр) етноними илә бағлыдыр.

Аjdындыр ки, Гәрвәнд (Кәрравәнд) етноним олдуғу үчүн «Һачы» титулу илә һеч бир бағлылығы ола билмәз вә бу титул јалныз шәхс адларынын әvvәлиниде ишләнә биләр. Чөл тәдгигаты заманы мә'лум олду ки, кәндииң сакинләри әvvәлләр Мардакерт районундакы «Ачы дүзү» дејилән јердә мәскунлашдыгларына көрә, кечмиш Чаваншир гәзасындағы дикәр Хан Гәрвәнд (Хан Кәрравәнд), Имарәт Гәрвәнд (Имарәт Кәрравәнд) вә Гәрвәнд (Кәрравәнд) кәндләриндән фәргләндирмәк үчүн бу кәндииң адына һәмин дүзүн адны әлавә етмишләр.

Әдәбијјат

1. Адонц Н. Армения в эпоху Юстиниана. — Ереван: Изд. Ереван ун-та, 1971.
2. Азәрбајчан ССР инизиати-әрази бөлкүсү. Бакы, Азәрнаш, 1979; 3. Армянская география VII века по Р. Х. — СПб, 1877; 4. Армянская ССР. Административно-территориальное деление. — Ереван, 1964; 5. Жукевич В. А. Общая топонимика — Минск: Высшая школа, 1980; 6. История Армении Фавстоса Бузанда. — Ереван: Изд.-во АН Арм. ССР, 1953; 7. Kırzıoglu Fahrettin Dr. M. Osmanlılar'ın Kaşkas-ellerini fethi (1451-1590). — Ankara, 1976; 8. Азәрбајчан тарихина, гәдим абиәләринә вә ет-

иографијасына бир бахыш. Тегран, 1349 (фарс дилгидә); 9. Сәид Нәфиси. Азәрбајчан гәһрәмәни. Бабәк Хүррәмдни. Бакы, Азәрбајчан ССР ЕА Нәшријаты, 1960; 10. Муравьев С. Н. Птолемеева карта Кавказской Албании и уровень Каспия. — Вестн. древней истории, 1983, № 1. 11. Пагирев Д. Д. Алфавитный указатель к пятигерстной карте Кавказского края. — Тифлис, 1913. 12. Свод статистических данных, извлеченных из посемейных списков населения Кавказа. — Тифлис, 1888. 13. Трубецкой В. В. Бахтиары: Этнические процессы и состав населения в странах передней Азии. — М. — Л.: Изд.-во Вост. лит-ры, 1963. 14. Фома Мецопски. История Тимур-Ланка. — Баку: Изд.-во АН АзССР, 1957.

Алынмышдыр З. VIII. 1982

Тарих институту

С. К. Керимов

ОБ ОИКОНИМАХ ЗАР, ПАПЫ И ГАДЖИГЕРВЕНД

В статье рассматривается этимология ойконимов Зар (Кельбаджарский район), Папы (Лачинский район) и Гаджигервенд (Мир-Баширский район). Показано, что ойконимы Зар и Папы являются отражением ираноязычных этнонимов Зар и Папы. Ойконим Гаджигервенд является искажением правильной формы Аджи Герравенд. Ойконим Гаджигервенд происходит от названия древнего племени герр, а компонент «аджи» — от названия Аджи дюзи (в Мардакертском районе), где поселились герравенцы.

S. K. Kerimov

ABOUT THE OIKONYMS Zar, Papy AND Gadjigervend

The article presents the etymology of oikonyms Zar (Kelbadjar region), [Papy (Lachyn region) and Gadjigervend (Mir-Bashir region). The author shows, that oikonyms Zar and Papy reflect the names of Iranian language group ethnonyms Zar and Papy. The given form of oikonym Gadjigervend is the representation of the correct form of "A'jj Geravend". Geravend is the name of tribe, and component "adji" comes from the name of place "Adji dyuzi" (Mardakert region), where this tribe settled earlier.

Нефт кимјасы вә нефт-кимја синтезі

Р. М. Талышински, В. С. Начыгасымов, Е. М. Һүсейнбова. Мұзеккеб кимјеви реаксијаларын маршрутлары чеми базисинни инверсијасы 59

Кристаллографија

Г. Һ. Һүсейнов, А. С. Эмирзов, И. Р. Эмираланов, Х. С. Мамедов. CuSmS₂-ниң кристал гурулушу 62

Агрокимја

Ә. Н. Құләһмәдов, Н. А. Агаев, А. М. Эзимов. Азәрбајҹан ССР Гарабағ дүзү дагетәни торпагларында синкии јајылмасы 65

Торпаг мелиорасијасы

Н. Һ. Һүсейнов. Ләнкәран Муган шәрәнтиндә дренаж ахымы модулу 68

Ботаника

М. Р. Гурбанов. Абшерони гуру субтропик иглеми шәрәнтиндә формалашмыш хеномелес тохумларының қејфијјетинин рентгенология гијметләндирilmәси 72

Тарих

Р. Бәдирбајли. Уч полјак мәнбәси Узун Ысәсени харичи сијасети һагында 77
Ф. Ш. Шабанов, Т. П. Да да шов. Азәрбајҹан түркологларының эсерләринин харичи мәтбуатда ишари (1960—1982-чи илләр) 82

Топонимика

С. К. Қаримов. Зар, папы вә һачыгәрвәнд ојконимләри һагында 85

МУНДӘРИЧАТ

Ријазијјат

М. Б. Рәнимов. Сонсуз сајда коммутативлы операторлар дәстәсинин тәжзор спектри һагында 3

К. Г. Намазов. Қәсилен әмсаллы параболик тәилик үчүн гарышыг мәсөлә һәллиниң ғәрарлашмасы 6

Ф. Ш. Мұхтаров. Өз-өзү илә ғошма олмајан сонсуз Іакоби матрисинин верилән пајланмаја көрә гурулмасы 10

А. Ч. Чәбрајлов, Р. Ш. Мәммәдов. Областида тә'жин олунмуш чох-дәжишәли фүзисијаларын гарышыг тәрәмәләринин чәкили нормалары арасындақы бәрабәрсизліктер һагында 13

З. Б. Хәјиров. Мајенин екссентрик һалға үзрә һәрәкәтинә әнд һидродинамик мәсәләләрин һәллиниң еффектив үсүлларының ишләнмәси 17

Техники кибернетика

А. И. Мәммәдов, Е. А. Нәширов. Мұхтәлиф режимләрдә мә'дән-газ кәмәринде кечид просессләринин әдәди һесаблама үсүлү 21

Јарымкөниричиләр физикасы

М. И. Абдуллаев, Р. М. Имамов, А. В. Маслов, И. Р. Нузиев, Е. М. Пашаев, Е. Џ. Салаев. Брегг-Лаује әқиалиниңде рентген шүаларының дифраксијасы заманы յарапан фотоэффект 25

М. И. Элиев, Х. Э. Хәлилов. Ca_{1-x}In_xAs (x<0,05) кристалларында инфрагырымызы шүаланманың сәрбәст електронларла удулмасы 30

М. Н. Шахтахтински, Б. Ә. Һүсейнов, М. Ә. Гурбанов, Џ. Н. Ж. Н. Газарян, А. О. Гулијеч. Полиетилен—ЦТС-19 композицијасының пироэлектрик хассаслори 34

Ж. М. Сеидов, А. М. Сулејманов. Синглет-триплет антиферромагнитләрдә ишүғын икимагнитлу удулмасы иәзәријјәсисиңе даир 38

Үзви кимја

Ә. С. Рзаев, Џ. Ч. Гасымова, Р. Г. Әләкбәров. β—алкоксиметоксистилметакрилатын синтези вә бә'зи тәрәмәләринин тәдгиги 43

Гејри-үзви кимја

Ч. И. Зулфугарлы, А. Б. Агаев, Р. Э. Азадәлиев, У. Р. Элијева. CdTe—Cd₂Te₃ системинде бәрк мәһнүлларын алымасы вә бә'зи електрофизики хассасләрин тәдгиги 48

Физики кимја

М. М. Һүсейнов, Е. Б. Зејналов, Б. Џ. Трифел, В. Э. Қаримова. Полимерләрдә антиоксидантларын мигдары анализи үчүн зәңчирвары реаксијаларын төтбиги 51

Кимјеви кинетика

В. А. Абасгулиев, Ә. Һ. Эбилов, В. Н. Писаренко. Қимјеви кинетика мәсәләләринде араметрләрин гејри-хәтти гијметләндирilmәси методу һагында 55

Химическая кинетика

В. А. Абаскулиев, А. Г. Абилов, В. Н. Писаренко. Об одном методе нелинейного оценивания параметров в задачах химической кинетики 55

СОДЕРЖАНИЕ

Математика

М. Б. Рагимов. О спектре тейлора бесконечного числа коммутирующих наборов операторов 3

Г. К. Намазов. Стабилизация решения смешанной задачи для параболического уравнения с разрывными коэффициентами 6

Ф. Ш. Мухтаров. Восстановление бесконечной несамосопряженной матрицы якби по данным рассеяния 10

А. Д. Джабрилов, Р. Ш. Мамедов. К вопросу о неравенствах между весовыми нормами частных производных функций многих переменных определенных в области 13

Механика

Э. Б. Хейиров. Разработка эффективных методов решения гидродинамических задач о движении жидкости по эксцентрическому кольцу 17

Техническая кибернетика

А. И. Мамедов, Э. А. Гашимов. Численный метод расчета переходных процессов в промысловом газопроводе при различных режимах 21

Физика полупроводников

М. И. Абдуллаев, Р. М. Имамов, А. В. Маслов, И. Р. Нуриев, Э. М. Пашаев, акад. АН АзССР Э. Ю. Салаев. Фото эффект при дифракции рентгеновских лучей в брэгг-лауз-гемотрии 25

Акад. АН АзССР М. И. Алиев, Х. А. Халилов. Поглощение ИК-излучения свободными носителями в кристаллах $Ga_{1-x}In_xAs$ ($x < 0,05$) 30

Чл.-корр. АН АзССР М. Г. Шахтахтинский, Б. А. Гусейнов, М. А. Курбанов, Ю. Н. Газарян, А. О. Гулиев. Пироэлектрические свойства композита полиэтилен — ЦТС 34

Теория твердого тела

Чл.-корр. АН АзССР Ю. М. Сейдов, А. М. Сулейманов. К теории двухмагнионного поглощения света в синглет-триплетных антиферромагнетиках 36

Органическая химия

А. С. Рзаев, Я. Д. Гасымова, Р. К. Алекперов. Синтез и исследование некоторых производных β -аллоксиметоксизтилметакрилатов 43

Неорганическая химия

Чл.-корр. АН АзССР Дж. И. Зульфугарлы, А. Б. Агаев, Р. А. Азадалиев, У. Р. Алиева. Получение и исследование некоторых электрофизических свойств твердых растворов системы $CdTe-Gd_2Te_3$ 48

Физическая химия

Чл.-корр. АН АзССР М. М. Гусейнов, Э. Б. Зейналова, Ю. Б. Трифель, В. А. Керимова. О применении модельных цепных реакций для количественного анализа антиоксидантов в полимерах 51

Химия нефти и нефтехимический синтез

Р. М. Талышинский, В. С. Гаджи-казумов, Р. Г. Ризаев, А. А. Ахундов, Э. М. Гусейнова. Инверсия базиса итоговых маршрутов сложных химических реакций 59

Кристаллография

Г. Г. Гусейнов, С. А. Амирев, И. Р. Амиралланов чл.-корр. АН АзССР Х. С. Мамедов. Кристаллическая структура $CuSmS_2$ 62

Агрохимия

Чл.-корр. АН АзССР А. Н. Гюльахмедов, Н. А. Агаев, А. М. Азимов. Распространение цинка в почвах подгорной равнины карабахской степи Азербайджанской ССР 65

Мелиорация почв

Г. Г. Гусейнов. Модуль дренажного стоак в условиях Ленкоранской мугани 68

Ботаника

М. Р. Курбанов. Рентгенографическая оценка качества семян хеномелеса формирующихся в сухих субтропических условиях Ашшерона 72

История

Р. Бадирбейли. Три польских источника о внешней политике Узун-Хасана Ф. Ш. Шабанов, Т. П. Дадашев. Публикация трудов туркологов Азербайджана в зарубежной печати (1960—1982 гг.) 77

Топонимика

С. К. Керимов. Об ойконимах зар, папы и гаджигервенд 82

9. Текст статьи печатается на белой бумаге через два интервала на одной странице листа стандартного размера, с полями с левой стороны (не более 28 строк на одной странице по 58–60 знаков в строке). В тексте нельзя делать рукописные вставки и вклейки.

Статьи, напечатанные на портативной машинке, не принимаются.

10. Текст статьи должен быть изложен кратко, тщательно отредактирован и подписан авторами в печать. В математических статьях желательно избегать доказательств теорем, лемм и т. п. При использовании в тексте сокращенных названий (кроме общепринятых) необходимо давать их расшифровку.

11. Математические и химические формулы и символы в тексте должны быть вписаны четко. Следует избегать громоздких обозначений, применения, например, дробные показатели степени вместо радикалов, а также \exp . Занумерованные формулы обязательно выключаются в красную строку, номер формулы ставится у правого края страницы. Желательно нумеровать лишь те формулы, на которые имеются ссылки. Подстрочные и надстрочные индексы и степени следует отмечать карандашом, дугами сверху и снизу:

R^n , r_n

Греческие буквы нужно обводить (в кружок) красным карандашом. Буквы готического шрифта и рукописные в рукописях не использовать, векторные величины — подчеркивать черным, буквы латинского рукописного шрифта следует отметить на полях (например, H рукоп.).

Во избежание ошибок следует четко обозначать прописные (заглавные) и строчные буквы латинского алфавита, имеющие сходное начертание (Cc ; Kk ; Pp ; Oo ; Ss ; Uu ; Vv ; и т. д.), буквы $I(i)$ и $J(j)$ букву I и римскую единицу I , а также арабскую цифру I и римскую I' (вертикальная черта), I и штрих в индексах, I (латинское эль) и e . Прописные буквы подчеркивают карандашом двумя черточками снизу (C), а строчные — сверху (c).

Следует избегать знаков типа \sim (волна), \odot , \oplus , \otimes ; \square , \exists , \circ , \vee , \wedge

(крышки) над и под буквами, а также знаков:

\hbar , \times , \in , ϕ , ϕ , ϕ , ϵ

Латинские названия вписываются на машинке.

Слова «теорема», «лемма», «следствие», «определение», «замечание» и т. п. следует подчеркивать штриховой чертой, а текст утверждений типа теорем — волнистой чертой (исключая математические символы).

При выборе единиц измерения рекомендуется придерживаться международной системы единиц СИ.

12. При описании методики исследования следует ограничиваться оригинальной ее частью. При элементном анализе приводить только усредненные данные.

13. Необходимо тщательно проверить написание местных географических названий.

14. Цитированная литература проводится общим списком на отдельной странице: ссылки в тексте даются порядковым номером в круглых скобках над строкой (например, ¹). Список литературы оформляется следующим образом:

для книг: инициалы и фамилии авторов, полное название книги, место и год издания;

для журнальных статей: инициалы и фамилии авторов, название журнала, номер тома, номер выпуска, страница и год издания.

Ссылки на неопубликованные работы не допускаются.

15. Все статьи должны иметь резюме на английском языке, кроме того статьи, написанные на русском и азербайджанском языках должны иметь резюме на азербайджанском и на русском соответственно.

Публикация статьи в «Докладах» не препятствует напечатанию расширенного ее варианта в другом периодическом издании.

Сдано в набор 05. 10. 84. Подписано к печати 14. 01. 85. ФГ 00509. Формат бумаги 70×100^{1/16}. Бумага типографская № 1. Гарнитура шрифта литературная. Печать высокая. Усл. печ. лист 7,47. Усл. кр.-отт. 7,47. Уч.-изд. лист 6,12. Тираж 610. Заказ 1405. Цена 70 коп.

Издательство «Элм». 370143 Баку-143, проспект Нариманова, 31, Академгородок, Главное здание Типография «Красный Восток» Государственного комитета Азербайджанской ССР по делам издательства, полиграфии и книжной торговли. Баку, ул. Ази Асланова, 80.